

# الفصل الرابع

## فيزياء اشباه الموصلات

### Semiconductor Physics

#### 1-4 المقدمة :

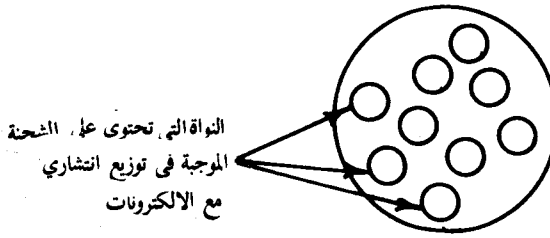
تحظى المواد شبه الموصلة في الوقت الراهن ، بأهمية بالغة وذلك لاستخدامها في تصنيع معظم الاجهزة الالكترونية الحديثة . ان اي دراسة شاملة ومعقدة لهذه المواد لغرض فهم سلوكها الكهربائي ، يجب ان تبدأ بالتركيب الذري للمواد وذلك لغرض الوقوف على أهم النماذج الذرية مروراً بانموذج تومسون ووصولاً الى انموذج النظرية الكمية للذرات .

ان انموذج النظرية الكمية للذرات سوف يقود بالضرورة الى شرح نظرية الحزم للمواد ومن ثم التعرف على مخطط الطاقة الخاص بكل من الموصل والعازل وشبه الموصل . وحيث ان هذا الفصل مكرس لاشباه الموصلات لذا فان بقية الفصل ستكون خاصة بهذه المواد : الذاتية منها والشائبة وكذلك اوجه الاختلاف بينهما من حيث السلوك الكهربائي . سنتطرق في هذا الفصل ، ايضاً ، الى نوعي التيار الذي يسريان في اشباه الموصلات : تيار الحمل الناتج عن حركة كل من الالكترونات والفجوات وتيار الانتشار الناتج عن انتشار الالكترونات والفجوات بسبب في الاختلاف الحاصل في تركيز كل منهما عند النقاط المختلفة في شبه الموصل .

## 2-4 نماذج الذرية الكلاسيكية Classical Atomic Models

لقد ادى اكتشاف الالكترتون من قبل تومسون J. J. Thomson عام 1897 ، الى فهم اكبر من ذي قبل للتركيب الذري وذلك من خلال الاستنتاج .  
أ - بان جميع ذرات المواد تحتوي على هذه الالكترونات وحيث ان الالكترونات تمتلك شحنات سالبة وان الذرات ككل متعادلة كهربائياً لذا فان كل ذرة يجب ان تحتوي على عدد كاف من الشحنات الموجبة لتعادل الشحنات السالبة للالكترونات .  
ب - ان كتلة الالكترون صغيرة بحيث يمكن اهمالها بالنسبة لكتلة اخف ذرة مما يدل على ان معظم كتلة الذرة ناتجة عن كتل الجسيمات التي تحتويها النواة .

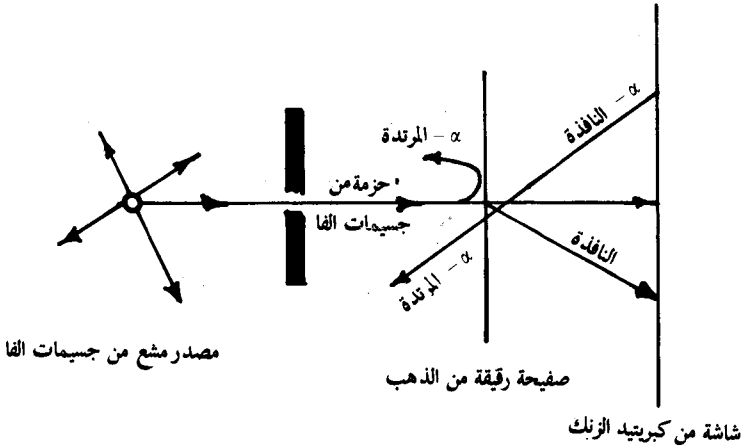
وعلى هذا لاساس فقد اقترحت عدد من النماذج الذرية التي تصف وضع الشحنات السالبة والموجبة داخل الذرة وكان من ابرزها نموذج تومسون للذرة والذي ينص على ان الذرات هي اجسام كروية منتظمة نصف قطرها حوالي  $(10^{-10}m)$  تحمل شحنات موجبة مرصعة بالالكترونات - انظر الشكل (1)



الشكل (1) : نموذج تومسون

وعلى الرغم من اهمية التركيب الذري للمواد فان دراسة تجريبية لأنموذج تومسون لم تتم الا بعد مرور ثلاثة عشر عاما من تقديمه حيث اقام كل من كايفر ومارسدن Geiger and Marsden عام 1911 بناءً على توجيه من العالم ارنيست رادرفورد Rutherford ، بتجربة تم فيها استخدام جسيمات الفا  $\alpha$  particles المنبعثة من العناصر المشعة ( كعنصر الراديوم Ra على سبيل المثال كأداة فاحصة لتركيب الذرات .

ان النتيجة التي حصل عليها مايكرومارسدين تتلخص في ان معظم جسيمات الفا قد استطاعت اختراق الصفيحة الذهبية - انظر الشكل (٢) - بدون انحراف مما يشير الى ان معظم الذرة هوفراغ . الا انه لوحظ ايضا ان هناك عددا من هذه الجسيمات عانت انحرافات كبيرة جدا وبصورة غير متوقعة والحقيقة هي ان بعضا من هذه الجسيمات قد ارتدت بالاتجاه المعاكس بالنسبة لاتجاهها الاصلي . ولما كانت جسيمات الفا ثقيلة نسبياً ( اقل بحوالي 7000 مرة من كتلة الالكترن ) وان الجسيمات المستخدمة في التجربة سريعة جدا لذا فانه من البديهي الاستنتاج بان هناك قوة كبيرة جدا أثرت على هذه الجسيمات وعملت على ارتدادها في الاتجاه المعاكس بالنسبة لاتجاهها الاصلي

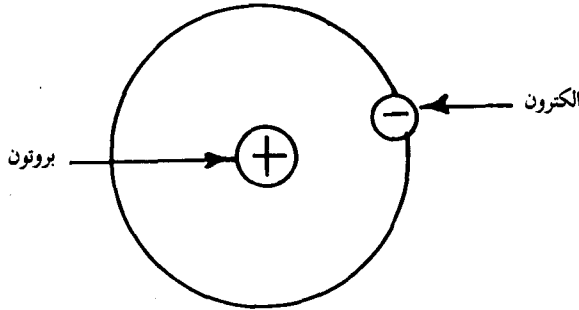


الشكل ( 2 ) تجربة رادرفورد

لتفسير هذه النتائج والتي عرفت باستطارة رادرفورد افترض هذا الاخير وجود مجال كهربائي قوي داخل الذرة وان كل جسيم من الفا انحرف عن اتجاهه كان بتأثير

مجال ذرة واحدة . لتعليل وجود مثل هذا المجال الكهربائي افترض رادرفورد ان جميع شحنة الذرة الموجبة وكتلتها متجمعة في حجم صغير جدا من الذرة سماه بالنواة وان الالكترونات تمثل الحيز الموجود خارج النواة - انظر الشكل (٣) .

ان تقديرات علوية بسيطة لشدة المجال الكهربائي توضح لنا الفارق الكبير بين انموذج ثومسن وانموذج رادرفورد للذرة . فلوافترضنا ان الشحنة الموجبة في ذرة الذهب



الشكل (٣) : - انموذج راذرفورد للذرة

في انموذج ثومسن ، منتشرة بصورة متجانسة في جميع حيز الذرة واهملنا تأثير شحنة الالكترونات السالبة لوجدنا ان اقصى قيمة لشدة المجال الكهربائي في هذه الذرة حوالي  $(10^{13} \text{V/m})$  . من ناحية اخرى لو درسنا شدة المجال الكهربائي على سطح نواة ذرة الذهب لراذرفورد لوجدناه يزيد على  $(10^{21} \text{V/m})$  اي هو اكبر بحوالي  $10^8$  مرة من شدة المجال الكهربائي في انموذج ثومسن . ان هذا المجال الكهربائي الشديد يستطيع ان يولد انحرافاً كبيراً في مسار جسيمات الفا السريعة التي تقترب من الذرة على حين لا يستطيع المجال الكهربائي الضعيف في ذرة ثومسن ان يولد مثل هذه الانحرافات .

### 3-4 انموذج بور Bhor Model

لقد رأينا توا ان انموذج راذرفورد للذرة يفترض ان الذرة تتكون من نواة ثقيلة موجبة متمركزة في حيز صغير جدا في مركز الذرة تحيط بها الكترونات كافية على مسافة كبيرة نسبياً حيث تظهر الذرة ككل متعادلة وان الالكترونات في هذا الانموذج يجب ان تكون متحركة والا فانها لن تستطيع المحافظة على استقرارها بسبب وجود القوة الكولومية التي تجذبها نحو المركز وكمثال جيد على هذا الانموذج الذري دعنا نأخذ ذرة الهيدروجين هذه الذرة تتكون من نواة موجبة الشحنة « البرتون » والكثرون واحد يدور حولها . وعلى فرض ان مدار هذا الالكثرون هو دائري لذا فان القوة المركزية  $(F)$  المتولدة بسبب من القوة الكولومية تكون مساوية - حسب قانون نيوتن الثاني للحركة - لكتلة

$$\text{الالكترونات مضروبة بالتعجيل المركزي} \left( \frac{v^2}{r} \right) . \text{ اي ان}$$

$$F = m \frac{v^2}{r} = \frac{e^2}{4\pi\epsilon_0 r^2} \quad \dots (1)$$

هي القوة التي تجعل الالكترن يدور حول النواة في مدار مستقر .

فضلا عن هذا فان الالكترن يمتلك طاقة كامنة (V) ايضا ، وذلك لوقوعه على مسافة r من النواة تكون مساوية لـ  $(-e^2/4\pi\epsilon_0 r)$  . وحيث ان الطاقة الكلية لاي جسم تساوي الطاقة الحركية  $\left(\frac{1}{2}mv^2\right)$  زائداً طاقته الكامنة لذا فان الطاقة الكلية (W)

للالكترن تكون مساوية لـ

$$W = \frac{1}{2}mv^2 - \frac{e^2}{4\pi\epsilon_0 r} \quad \dots (2)$$

وعند التعويض عن قيمة v من المعادلة (1) في المعادلة (2) نحصل على

$$W = -\frac{e^2}{8\pi\epsilon_0 r} \quad \dots (3)$$

هذه المعادلة توضح ان الطاقة الكلية للالكترن في الذرة هي سالبة وهذه النتيجة ضرورية كي يبقى الالكترن مرتبطاً بالذرة ولو كانت W اكبر من الصفر لامتلك الالكترن طاقة كافية لينفصل كلياً عن مجال تأثير النواة .

على اية حال ، تشير النظرية الكهرومغناطيسية الكلاسيكية الى ان شحنة معجلة تستطيع بعث طاقة على شكل موجات كهرومغناطيسية وان الكترن متحركاً في منحنى يكون في حالة تعجيل ولذلك فانه يفقد الطاقة باستمرار مما يجعله يتجه بمسار حلزوني نحو النواة الامر الذي يؤدي بالتالي الى اختفاء الالكترن ( سقوطه في النواة ) وعدم استقرارية الذرة وكذلك الى ظهور طيف مستمر ( نتيجة للنقصان في نصف قطر الدوران وزيادة في اهتزاز الالكترن مما ينتج عنهما زيادة في تردد الاشعاع المنبعث ) بدلا من خطوط حادة او كما هو مشاهد عمليا .

على الرغم من ان توقعات النظرية الكهرومغناطيسية تتفق مع الكثير من النتائج العملية الا انها مع ذلك لا تتفق مع وجود الذرة في حالة الاستقرار . ان السبب الكامن وراء فشل قوانين الفيزياء الكلاسيكية في تفسير التركيب الذري هو ان هذه القوانين تتعامل مع الاشياء على انها اما موجات او جسيمات من دون أي ازدواجية وبالتالي فان الوصول الى حقيقة التركيب الذري يفرض علينا ان نأخذ بنظر الاعتبار هذه الازدواجية الجسمية والموجية وهذا ما فعله بور Bhor حين وضع انموذجه للتركيب الذري الذي يجمع بين الفيزياء الكلاسيكية والفيزياء الحديثة ومن ثم استطاع هذا النموذج ان ينجز جزءاً من هذه المهمة بنجاح .

قام بور عام ١٩١٣ بوضع فرضيتين اساسيتين هما .

اولا :- ان الالكترتون يدور حول النواة بصورة مستمرة ومن دون ان يشع طاقة ، اذا كان مداره يحوي على عدد كامل من اطول موجة ديبرولي للالكترتون .

هذه الفرضية تمثل فكرة اولية لفهم التركيب الذري وهي فرضية تجمع ما بين الصفات الجسمية والموجية للالكترتون . ذلك لان الطول الموجي للالكترتون يتم حسابه بدلالة السرعة الكلاسيكية للالكترتون اللازمة لمعادلة القوة الكولومية التي تجذبه نحو النواة . او بعبارة اخرى ان :

$$\lambda = \frac{h}{mv} \quad \dots (4)$$

وعند التعويض عن  $v$  من المعادلة (1) نحصل على

$$\lambda = \frac{h}{e} \sqrt{\frac{4\pi \epsilon_0 r}{m}} \quad \dots (5)$$

وحيث ان مدار الالكترتون هو محيط دائري نصف قطره  $r$  ويساوي  $2\pi r$  لذا فان شرط الحصول على مدار مستقر هو

$$n\lambda = 2\pi r \quad n = 1, 2, 3, \dots \quad \dots (6)$$

حيث يدعى العدد  $n$  بالعدد الكمي quantum number للمدار و  $r_n$  نصف قطر المدار الذي يحتوي على  $n$  من الاطول الموجية . وعند التعويض عن  $\lambda$  من المعادلة (5) في المعادلة (6) نحصل على

$$-\frac{nh}{e} \sqrt{\frac{4\pi \epsilon_0 \Gamma_n}{m}} = 2\pi r_n \quad \dots (7)$$

وعليه فان انصاف اقطار المدارات المستقرة للالكترون تكون

$$r_n = \frac{n^2 h^2 \epsilon_0}{\pi m e^2} \quad n = 1, 2, 3, \dots \quad \dots (8)$$

وعند التعويض عن  $n = 1$  نحصل على اصغر مدار  $r_1$  في الذرة وفي ذرة الهيدروجين على سبيل المثال ، يكون مساويا لـ

$$r_1 = 0.53 \times 10^{-10} \text{ m}$$

وهذه القيمة لنصف قطر الذرة تتفق كثيرا مع القيمة المستنبطة من طرق اخرى . اما المدار التالي المتاح للالكترون فله نصف قطر مقداره .

$$r_2 = n^2 r_1 \quad (9)$$

او ان

$$r_2 = 2.12 \times 10^{-10} \text{ m}$$

جميع انصاف الاقطار بين  $r_1$  و  $r_2$  محظورة وبغض النظر عن سرعته فان اي الكترون لا يستطيع ان يبقى في مدار مستقر اذا كانت قيمة نصف القطر تتراوح بين  $r_1$  و  $r_2$  والسبب اي ان الكترون يصلح فقط لمدار يكون محيطه مساويا لطول موجة ذلك الالكترون او مضاعفاته  $(n\lambda)$

الان وعند التعويض عن  $r_n$  من المعادلة (8) في المعادلة (3) نحصل على

$$W_n = - \frac{me^4}{8\epsilon_0^2 h^2} \left( \frac{1}{n^2} \right) \quad n = 1, 2, 3 \quad \dots (10)$$

تشير المعادلة (10) الى ان مدارات الالكترون المختلفة تتضمن طاقات مختلفة وطاقة الالكترون  $W_n$  تحدد بنصف قطر المدار  $r_n$  او بعبارة اخرى بالعدد الكمي الاساسي  $(n)$  . هذه الطاقات تمثل مستويات الطاقة levels energy للذرة - انظر الشكل (4)

ان ادنى مستوى طاقة  $E_1$  يدعى بالمستوى الارضي ground state للذرة على حين تدعى المستويات العليا  $E_2$  و  $E_3$  و  $E_4$  ... بالمستويات المثيجة excited states

لقد استطاع هذا العالم من صياغة معادلة تفاضلية موجية لوصف سلوك الالكترون عند وقوعه تحت تأثير قوة خارجية اي تحت تأثير مجال جهد  $U(x, y, z)$  ان مهمة ميكانيك الكم تلخص في حساب دالة الموجة ( $\psi$ ) لجسيم يقع تحت تأثير قوة خارجية وان حل معادلة شرودينكر لنظام معين يعني ايجاد هذه الدالة  $\psi$ . وعلى الرغم من ان  $\psi$  ليس لها معنى فيزيائي فان مربع قيمتها المطلقة  $|\psi|^2$  عند نقطة ولحظة معينتين تتناسب مع احتمالية مشاهدة الجسيم عند تلك النقطة واللحظة المعينة. فعلى سبيل المثال عند التعويض عن الطاقة الكامنة بـ  $\left(-\frac{e^2}{4\pi\epsilon_0 r}\right)$  لالكترون ذرة

الهيدروجين في معادلة شرودينكر فاننا سنجد ان حل هذه المعادلة يؤدي بنا الى علاقة تمثل طاقة الكترون مرتبط بالذرة تساوي تماما مستويات الطاقة التي يتم الحصول عليها من نظرية بور لذرة الهيدروجين. اي ان

$$E_n = -\frac{me^4}{32\pi^2\epsilon_0^2 h^2} \left(\frac{1}{n^2}\right) \quad (14)$$

حيث ان

$$\hbar = \frac{h}{2\pi}$$

مما يجدر ملاحظته في المعادلة (14) ان العدد الكمي ( $n$ ) قد ظهر فيها بصورة تلقائية كأحد نتائج حل معادلة شرودينكر. من جهة اخرى ونتيجة للدراسة العميقة لنتائج حلول معادلة شرودينكر فقد وجد أن الالكترونات التي تمتلك نفس العدد الكمي ( $n$ ) تتجمع حول النواة في قشرة shell. ذات مستويات طاقة مختلفة مما ادخل مفهوما جديدا وهو وجود القشرة الثانوية subshell بسبب من امتلاك الالكترون لعدد كمي آخر هو العدد الكمي المداري ( $l$ ). بحيث ان  $l$  يأخذ القيم

$$l = 0, 1, 2, 3, \dots, n - 1.$$

وعليه فان لكل قيمة للعدد  $n$  اكبر من واحد هناك مجموعة عديدة لقيم  $l$  وكل قيمة ترتبط مع حالة مدارية معينة لجميعها نفس الطاقة (تعتمد الطاقة على العدد الكمي الرئيسي  $n$ ).

كذلك يرتبط العدد الكمي المداري ( $l$ ) مع الزخم الزاوي للالكترون ( $L$ )



ويحدد قيمته . وحيث ان الزخم الزاوي هو كالزخم الخطي ، كمية متجهة لذا فانه يمتلك مقدارا واتجاها . ان الالكترون يدور حول النواة يكون حلقة صغيرة من تيار يكون بدوره مجالا مغناطيسيا يشبه مجال ثنائي قطب مغناطيسي . وبالتالي فان الكترونا ذريا ذا زخم زاوي سوف يتفاعل مع مجال مغناطيس (B) خارجي عندما يوضع فيه ويحدد العدد الكمي المغناطيسي  $m_l$  مركبة L باتجاه المجال . وتكون القيم المسموحة لـ  $m_l$  التابعة لقيمة معينة لـ l ممتدة بين  $l + 1$  و  $l - 1$  مارة بالقيمة صفر ، هي

$$m_l = -l, (-l + 1), \dots, (l - 1), l$$

ومرة أخرى تستطيع القول ان لكل قيمة للعدد (n) اكبر من واحد هناك مجموعات عديدة لقيم l و  $m_l$  وكل مجموعة ترتبط مع حالة مدارية معينة لجميعها نفس الطاقة .

على الرغم من ان الأعداد الكمية الثلاثة المارة الذكر ، قد ظهرت بصورة تلقائية عند حل معادلة شرودينكر لذرة الهيدروجين ومانتج عنها من ادخال مفاهيم جديدة ساعدت كثيراً على فهم افضل للبناء الذري الا ان النظرية الكمية تبقى قاصرة عن اعطائنا جميع صفات هذه الذرة او تلك من دون ادخال عدد كمي رابع ( $m_s$ ) الذي يشير الى وجود زخم زاوي ذاتي ( بسبب من البرم الالكتروني electron spin ) للالكترون وكذلك ادخال مبدأ الاستبعاد exclusion principle الناتج عنه .

هذا وقد وجد ان  $m_s$  يأخذ القيمتين اما  $\left(+\frac{1}{2}\right)$  او  $\left(-\frac{1}{2}\right)$  ليشير الى اتجاه البرم اما باتجاه مواز للمجال المغناطيسي أو بعكس اتجاه هذا المجال .

#### 4-4-1 مبدأ الاستبعاد لباولي Pauliss exclusion principle

على الرغم من أن عنوان هذا البند هو « نموذج الميكانيك الموجي » الا أن الإشارة اليه لم تتم على نحو صريح وإنما كان كلامنا منصبا بالدرجة الأساس على الأعداد الكمية الأربعة  $n, l, m_l, m_s$  . والسؤال الان هو : ما علاقة هذه بذلك ؟

في سنة ١٩٢٥ وضع باولي مبدأ يعرف الان « بمبدأ الاستبعاد لباولي » يستخدم لتخصيص الأعداد الكمية الى الالكترونات في الذرة وينص هذا المبدأ على أن : لا يمكن ان يوجد الكترونان في الذرة بنفس الحالة الكمية . او بعبارة أخرى : لا يمكن لأكثر من

الكترون واحد في ذرة ان يأخذ نفس الحالة الكمية وعليه فان قيم الاعداد الكمية الاربعة يجب ان تختلف من الكترون الى آخر .

4-4-2 التركيب الالكتروني : Electronic structure :-

لوافترضنا ان قوة التنافير بين الالكترونات في الذرة ، كانت معدومة وأن كل الكترون يتعرض لمجال النواة كما لو كان موجودا وحده فقط في الذرة فان النظرية الخاصة بالذرات ستصبح عندئذ غاية في البساطة . الا ان الحقيقة هي أن تأثير الالكترون على بعضها بعضا هو كبير جدا وبخاصة تلك التي تقع بعيداً عن النواة مما يجعل هذه النظرية غاية في التعقيد .

طبقا لما جاء اعلاه فانه يصبح من الضروري عند دراسة التركيب الذري ان نتصور ان كل الكترون في الذرة يتأثر بمجال قوة ثابت يمثل تأثير النواة ومعدل تأثير الالكترونات الاخرى . لهذا فان الكتروناً معيناً ، ضمن هذا التقريب ، يتأثر بشحنة فعلية مقدارها  $Z_e$  ، ناقصا شحنة الالكترونات القريبة من النواة داخل مدار الالكترون تحت الدرس . ان جميع الالكترونات التي لها نفس العدد الكمي الاساس  $(n)$  تكون تقريبا على نفس المسافة من النواة وعليه فان هذه الالكترونات تتأثر تقريبا بنفس المجال الكهربائي وبذلك تمتلك تقريبا نفس الطاقة . فمن المناسب اذاً ان نتصور هذه الالكترونات تقع في نفس القشرة الذرية atomic shell . وعادة مايرمز للقشرات الذرية المختلفة بحروف لاتينية كبيرة تتمثل بما يأتي :

$$n = 1, 2, 3, 4, 5$$

القشرات الذرية

K L M N O

هذه القشرات تنقسم بدورها أقساماً ثانوية ( قشرات ) subshell تبعاً للقيم المختلفة ل  $l$  وتعرف ب s , p , d , f ... طبقاً للقيم  $l = 0, 1, 2, 3, \dots$  وعلى التوالي .

مما جاء اعلاه وطبقاً لمبدأ الاستبعاد لباولي فان توزيع الالكترونات في الذرة في القشرات وفي القشرات الثانوية يكون كما في الجدول الآتي :

الجدول

القشرة K	L		M		N		
n	1	2	3	4	5	6	7
	0	0 1	0 1	2	0 1	2	3
القشرة الثانوية s	s	p	s p	d	s p	d	f
$m_l$	0	0, ± 1	0, ± 1	0, ± 1, ± 2	0, ± 1, ± 2	0, ± 1, ± 2	0, ± 1, ± 2, ± 3
عدد	2	2 6	2 6	10	2 6	10	14
الالكترونات z	8		18		32		

ان فكرة القشرات والقشرات الثانوية لتوزيع الالكترونات تتسجم مع التوزيع الدوري للعناصر. ان مبدأ الاستبعاد يحدد عدد الالكترونات التي يمكن ان توجد في القشرات الثانوية وان كل قشرة ثانوية تتميز بعدد كمي اساسي n وعدد كمي مداري l حيث ان

$$l = 0, 1, 2, \dots (n - 1)$$

ولكل قيمة l هناك  $2l + 1$  قيمة مختلفة للعدد الكمي المغناطيسي  $m_l$  اذ ان

$$m_l = 0, \pm 1, \pm 2, \dots + l$$

واخيراً لكل قيمة ل  $m_l$ . هناك قيمتان للعدد الكمي المغناطيسي البرمي

$$m_s \left( \frac{1}{2}, -\frac{1}{2} \right)$$

وعليه فكل قشرة ثانوية تحوي في الاكثر  $2(2l + 1)$  من

الالكترونات وكل قشرة تحوي في الاكثر على  $2n^2$  من الالكترونات.

على اية حال تكون الذرة في حالتها المستقرة عندما تحتل جميع الكتروناتها اوطاً لمستويات الطاقة الممكنة وعلى سبيل المثال ذرة عنصر الهيدروجين وهي ابسط الذرات وفيها  $Z = 1$ ، تتميز حالتها الاعتيادية بالاعداد الكمية  $n = 1$  او  $l = 0$  و  $m_l = 0$  اما

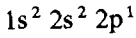
$m_s$  فقد ياخذ القيمة  $+\frac{1}{2}$  او  $-\frac{1}{2}$  والذرة التالية هي ذرة عنصر الهليوم وفيها

$Z = 2$ ، اي الكترونين في القشرة K حيث ان  $n = 1, l = 0$  وكذلك  $m_l = 0$

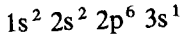
اما  $m_s$  فتساوي  $+\frac{1}{2}$  لاحدهما و  $-\frac{1}{2}$  للالكترون الاخر وبهذا فان هذا المدار

يحتوي على العدد الاقصى للالكترونات وبهذا تكون الذرة مستقرة . اي خاملة وهذا يصح على جميع الازات الخاملة .

اما بالنسبة لليثوم  $Z = 3$  فتوزع الكترونات على وفق الآتي : اثنان في القشرة  $n = 1$  و  $l = 0$  وواحد في القشرة  $L$  حيث  $n = 1$  و  $l = 0$  . اما بالنسبة للبورن  $Z = 5$  فان الكترولين سوف يملآن القشرة  $K$  وثلاثة الكترونات في القشرة  $L$  تتوزع على النحو الاتي : اثنان في القشرة الثانوية ( $l = 0$  و  $n = 2$ ) والثالث يبدأ قشرة ثانوية جديدة ( $l = 1$  و  $n = 2$ ) . هذه القشرة الثانوية الجديدة تتسع لـ 6 الكترونات . انظر الجدول وعليه فان التركيب الالكتروني لذرة البورون هو :



وهكذا تستمر عملية البناء الذري ويكون التركيب الالكتروني لذرة الصوديوم  $Z = 11$  ، على سبيل المثال ، هو :



وهذه صيغة توضح ان كلامنا من الغلافين الثانويين ( $l = 0$  و  $n = 1$ ) و ( $l = 0$  و  $n = 2$ ) يحتويان على الكترولين ، والغلاف الثانوي ( $l = 1$  و  $n = 2$ ) يحتوي على ستة الكترونات وأخيراً الغلاف الثانوي ( $l = 0$  و  $n = 3$ ) يحتوي على الكترون واحد .

#### 4-5 حزم الطاقة للبلورات The Band-Energy of Crystal

عندما تتحول المواد من الحالة الغازية ، حيث الذرات تكون عشوائية الحركة وبالتالي ليس لها موقع محدد ، الى الحالة الصلبة فان المسافات بين الذرات تصبح اقل مما كانت عليه وتزداد تبعاً لذلك قوة التماسك بينهما لتتخذ المادة المكونة من هذه الذرات ، الحالة الصلبة اي الشكل الثابت والحجم الثابت .

من جهة أخرى تشير الدراسات الخاصة بالتركيب الذري للمواد بأن معظم هذه المواد الصلبة تكون بلورية التركيب crystal line structure حيث تصطف مكوناتها الذرية او غيرها ( الجزيئية والايونية ) بصورة منتظمة ومتكررة في نسق ذي ثلاثة ابعاد وأن النسق الكبير يدعى بالبلورة crystal .

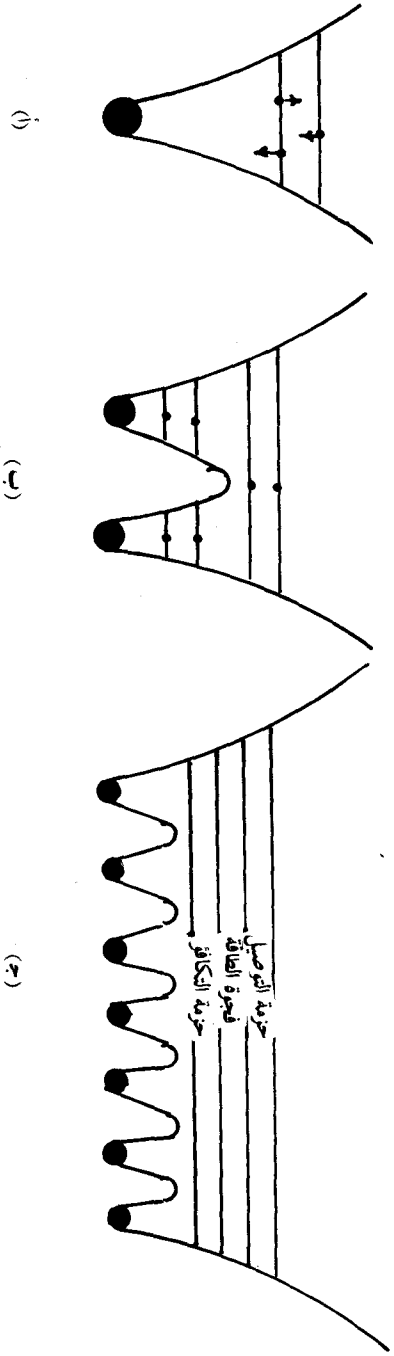
ان السؤال الذي يعيننا هنا اكثر من غيره هو : هل ان التركيب الالكتروني للمواد

الصلبة يبقى كما هو عليه في الذرات الحرة المنفردة ؟ او بعبارة أخرى : هل ان توزيع الالكترونات على القشرات ( مستويات الطاقة ) في المواد الصلبة يبقى كما هو عليه في الذرات الحرة المنفردة لنفس المادة ؟ ان الجواب عن هذا السؤال يمكن استخلاصه من الشرح الآتي :

خذ ذرة الليثيوم  $Li$  حيث  $Z = 3$  . في هذه الذرة - انظر الشكل ( 5 أ ) - تم تمثيل مستويات الطاقة بخطوط مستقيمة بينما يمثل الخط المنحني الطاقة الكامنة للالكترون القريب من النواة المحسوبة على اساس من قانون كولوم ( انظر المعادلة 2 ) كذلك نلاحظ انه تم توزيع الالكترونات الثلاثة بحيث يحتل اثنان منها القشرة  $1s$  والقشرة الثانوية  $2s$  .

افرض الان ان ذرة أخرى من الليثيوم أقربت من هذه الذرة الى الحد الذي يحدث معه تفاعل بين هاتين الذرتين فتتكون جزيئة الليثيوم  $Li_2$  . ان اقتراب الذرتين من بعضهما بهذا الشكل سوف يؤدي الى ان كل ذرة سوف تحاول جذب الالكترونات جميعها ( الالكترونات التابعة لها وتلك التابعة للذرة الاخرى ) اليها ومن ثم فان الطاقة اللازمة لتحرير الالكترونات الخارجية مثلاً ( تدعى بالكترونات التكافؤية valance electrons ) سوف تقل عما كانت عليه في الذرة المنفردة وهذا يعني ان الالكترون سوف يكون مشتركاً بين الذرتين وبالتالي فان كل ذرة من جزيئة الليثيوم سوف تبدو وكأنها تمتلك 6 الكترونات بدلا من 3 موزعة على النحو الآتي : اربعة الكترونات في القشرة  $1s$  والكترونان في القشرة  $2s$  . وعلى الرغم من ان وجود الكترنين في القشرة  $2s$  يبدو عاديا الا أن ظهور اربعة الكترونات في القشرة  $1s$  سوف يكون مخالفا لمبدأ الاستبعاد لباولي وهذا مالا يصح لذا فانه من المعقول ان نفترض ان مستوى الطاقة في القشرة  $1s$  سوف ينشطر الى مستويين ( لم تمتص الذرة أي طاقة خارجية لتمكن الكتروناتها على سبيل المثال من الانتقال الى مستويات طاقة اعلى من مستوى الطاقة  $1s$  ) يحتوي كل منهما على الكترنين ب  $n = 1$  و  $l = 0$  و  $m_l = 0$  و  $m_s = \pm \frac{1}{2}$  . وبنفس الطريقة ينشطر مستوى الطاقة في القشرة  $2s$  الى مستويين - انظر الشكل ( 5 ب ) .

وبأتباع نفس التحليل اعلاه ، تستطيع القول ان اقتراب ثلاث ذرات من بعضهما بنفس الطريقة السابقة سوف يؤدي الى شطر المستوى  $1s$  الى ثلاثة مستويات للطاقة يكون الفرق بينهما صغيراً جداً وكذلك هو الحال بالنسبة لمستوى الطاقة  $2s$  . واذا ما تجمعت



الشكل (هـ) : مستويات الطاقة في الذرة المتفردة ومجموعة الذرات

N من الذرات ، كما هو الحال في المواد الصلبة ، فاننا سنحصل على N من المستويات في القشرة 1s و N من المستويات في القشرة 2s وكذلك في القشرة 2p تفصل بينهم مناطق ممنوعة للطاقة - انظر الشكل ( 5 ج ) .

مما تقدم يتضح لنا ان تجمع N من الذرات سوف يؤدي الى شطر المستويات الذرية الى N من مستويات الطاقة . وحيث ان الفرق في الطاقة بين هذه المستويات يكون صغيراً جداً ( يساوي  $5 \times 10^{-23} \text{ eV} = \frac{5}{10^{23}}$  على فرض ان  $10^{23} = N$  ذرة وان مجموع

الطاقة الكلية لهذه المستويات يساوي 5 اليكترون فولت ( قيمة نموذجية ) ) لذا فان هذه المستويات تبدو وكأنها مستمرة ويطلق عليها لذلك بحزمة الطاقة energy band . تكون حزمة الطاقة في ذرة الليثيوم الخاصة بالمستوى 1s ، مملوءة بالاليكترونات وتسمى بحزمة التكافؤ valance band اما الحزمة الخاصة بالمستوى 2s في ذرة الليثيوم فتكون نصف مشغولة ( لانها بالاساس تحتوي على اليكترون واحد من مجموع اليكترونين ) وتسمى بحزمة التوصيل conduction band . اما المنطقة التي تفصل بين الحزمتين فتدعى بفجوة الطاقة energy gap .

لعله من الجدير بالذكر ان مقدار الانشطار ( ليس عدد المستويات لأنه ثابت وانما الفرق بالطاقة بين المستويات ) يعتمد على اولا : مدى التفاعل الحاصل بين الذرات اي مقدار البعد بينهما فكلما كانت المسافة اكبر كلما كان الانشطار اكبر . وثانيا : على بعد المستوى الذري عن النواة فكلما كان أقرب الى النواة كلما كان نصف قطر المدار أصغر وكلما كانت الاليكترونات متأثرة بفعل نواة ذراتها اكبر مما يقلل تأثير النويات الاخرى وكذلك الاليكترونات الاخرى عليها وبالتالي كلما كان مقدار الانشطار أقل والعكس صحيح بالنسبة للاليكترونات الواقعة في المدارات الاكثر بعداً عن النواة .

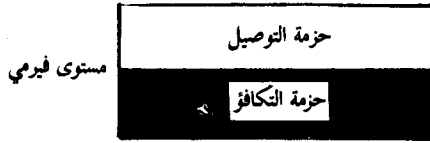
## 6 - 4 الموصلات والعوازل واشباه الموصلات

### Conductors Insulators and Semiconductors

ان الصورة التي رسمناها اعلاه لمستويات الطاقة للاليكترونات في البلورة يعرف بنموذج حزمة - الطاقة energy - band model وهذا النموذج يعد ذا فائدة كبيرة في تحديد الخواص الكهربائية لأي مادة صلبة حيث انه يوضح كيفية التي يتحرك فيها الاليكترون في البلورة وعليه فان الفروق بين الموصلات واشباه الموصلات والعوازل يمكن التعرف عليها من خلال الاختلاف بين نماذج حزم الطاقة العائدة لحل منها .

يبين الشكل ( 6 أ ) مخططاً نموذجياً لحزم الطاقة في المواد الموصلة . ويلاحظ في هذا المخطط ان مستويات الطاقة قد رسمت بشكل مستمر في حزمة التكافؤ بحيث ظهرت هذه الحزمة متداخلة مع حزمة التوصيل وبالتالي لم يعد هناك وجود لفجوة الطاقة . ان اختفاء فجوة الطاقة في البلورات الموصلة يعني ان أي الكترون تكافؤي سوف يكون حراً في التجوال خلال البلورة وكذلك التحرك استجابة للمجال الكهربائي عند وجوده فيه وهذا هو السبب المباشر في عده موصلاً .

تتوزع الالكترونات في الحزم وكما هو معروف ، حسب قاعدة الاستبعاد لباولي وعند درجة حرارة الصفر المطلق لا تستطيع الالكترونات التحرك خلال البلورة ذلك لانها جميعاً مرتبطة بشدة الى ذراتها وبالتالي فإنها تملأ حزمة التكافؤ من اوطأ مستوى طاقة فيها الى اعلى مستوى طاقة فيها والذي يدعى بمستوى فيرمي Fermi level - انظر الشكل ( 6 أ ) او بعبارة أخرى ان حزمة التوصيل عند درجة حرارة الصفر المطلق ، تكون فارغة وهذا يعني أنه لا توجد طاقة كافية عند اي الكترون لكي ينتقل في مدار حزمة التوصيل .



الشكل ( 6 أ ) :- حزم الطاقة في الموصل

من جهة أخرى عند ارتفاع درجة الحرارة فوق الصفر المطلق فان الطاقة الحرارية التي سوف يكتسبها الالكترونات ستمكن بعضاً من هذه الالكترونات من الافلات من ذراتها والانتقال الى حزمة التوصيل حيث تستطيع هناك التحرك في مدارات ذات انصاف اقطار اكبر من السابق ويكون ارتباط هذه الالكترونات بالذرات ضعيفاً جداً عندما تكون في مدارات حزمة التوصيل وبالتالي تستطيع التنقل من ذرة الى أخرى بسهولة مكونة ما يسمى بغاز الالكترون electron gas . عند تسليط فرق جهد عبر الموصل فان مجالاً كهربائياً سوف يتولد داخل الموصل يعمل على تعجيل الالكترونات الحرة في حزمة التوصيل بسبب من القوة التي يتعرض لها والتي تساوي



$$F = - eE \quad \dots (15)$$

في فضاء حريبعجل الالكترن وتزيد سرعته ( طاقته ) باستمرار وفي المادة البلورية يعاق تقدم الالكترن بالتصادم المستمر مع الذرات المهتزة حول مواقعها في البلورة وسريعا ماتبلغ سرعة الالكترن قيمة متوسطة ثابتة . وهذه السرعة  $v_d$  تدعى سرعة الانسحاق drift velocity وهي ترتبط خطيا مع شدة المجال الكهربائي بواسطة حركية الالكترن في المادة المعطاة ونرمز للحركية بالرمز  $\mu$  (  $m\mu$  ) . بحيث ان

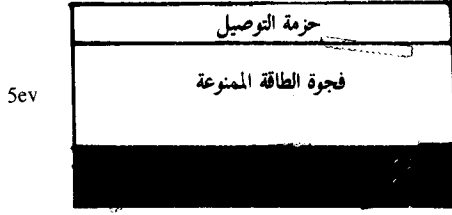
$$v_d = - \mu_e E \quad (16)$$

حيث  $\mu_e$  هي حركية الكترن وهي موجبة بالتعريف وتقاس بوحدات المتر المربع لكل فولت - ثانية والقيم النموذجية هي 0.0012 للالمنيوم و 0.0032 للنحاس و 0.0056 للفضة .

ومن الجدير بالذكر انه عند جهد ثابت ورفع درجة حرارة الموصل فان عدد الاصطدامات بين الالكترن والذرات المهتزة حول مواقعها في البلورة ، سوف تزداد ومن ثم تقل سرعة الانسحاق وبالتالي تزداد مقاومة الموصل ويقال عندئذ ان الموصل يمتلك معامل مقاومة موجبا أي تزداد مقاومته مع ازدياد درجة الحرارة .

2-6-4. العوازل : insulator :-

يبين الشكل ( 5 ب ) مخططا نموذجيا لحزم الطاقة في المواد العازلة ويلاحظ فيه ان حزمة التكافؤ تكون مفصولة عن حزمة التوصيل بفجوة الطاقة energy gap التي تدعي بالفجوة المنوعة gap forbidden . تكون فجوة الطاقة هذه عريضة وتصل قيمتها الى حوالي ( 5eV ) وبالتالي فان الالكترونات في حزمة التكافؤ لايمكنها الانتقال الى حزمة التوصيل الا عند استلامها الطاقة الكافية التي تساوي طاقة الفجوة المنوعة . في درجات الحرارة العادية لاتمتلك الالكترونات في حزمة التكافؤ الطاقة التي تمكنها من الانتقال الى حزمة التوصيل وبالتالي فانه يمكن القول ان البلورة العازلة تتميز بامتلاكها فجوة طاقة عريضة وتكون حزمة التكافؤ فيها مملوءة بالالكترونات بينما تكون حزمة التوصيل فارغة .

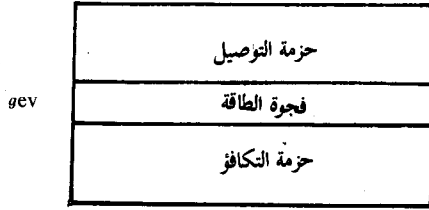


الشكل (٦ب) : - حزم الطاقة في العازل

مما جاء اعلاه يتضح لنا عدم وجود شحنات حرة في المواد العازلة بل هي مقيدة في اماكنها بقوى ذرية وجزيئية وعند تسليط فرق جهد على هذه المواد فان المجال الكهربائي المتولد سوف يعمل فقط على ازاحة هذه الالكترونات قليلا عن مواضعها الاصلية اي يعمل على استقطابها pdarized . هذه الازاحة ضد قوة مقيدة تشبه رفع ثقل او مط لولب حلزوني وتمثل طاقة جهد ويكون مصدر الطاقة هو المجال الخارجي وحركة الشحنات المزاحة ربما تنتج تياراً عارضا يدعى بتيار الازاحة displacement current والحقيقة ان هذا الموضوع يحتاج الى الكثير من الشرح المعمق ويخرج عن نطاق هذا الكتاب .

#### 4-6-3 اشباه الموصلات Semiconductors :-

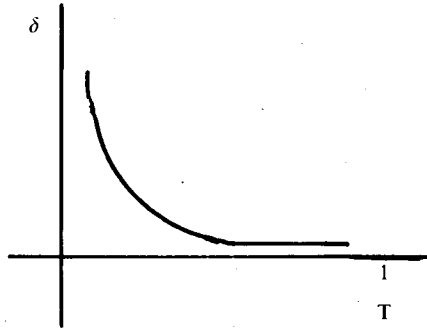
لا يختلف مخطط الطاقة لاشباه الموصلات - انظر الشكل 6 ج - عن نظيره في العوازل الا في سعة فجوة الطاقة حيث تكون قيمتها في اشباه الموصلات في حدود 1.1 eV او اقل . وتتميز هذه المواد بكونها عازلة insulator عند درجة حرارة الصفر المطلق ( حيث تكون حزمة التوصيل فارغة اي لا توجد طاقة كافية عند أي الكترون لكي ينتقل الى حزمة التوصيل ) وموصلة conductors عند الدرجات الحرارية العالية . من جهة أخرى عند درجة حرارة الغرفة (  $27^{\circ}\text{C} = 300^{\circ}\text{K}$  ) يكتسب عدد من الالكترونات الطاقة الكافية لكي ينتقل الى حزمة التوصيل الا ان التيار الناتج يكون صغيراً بحيث لا يمكن الاستفادة منه في معظم التطبيقات وعند هذه الدرجة لا تكون المادة شبه الموصلة عازلا جيدا كما لا تكون موصلا جيدا ولهذا تدعى شبه موصل semiconductor



الشكل (٦ ج) : - حزم الطاقة في شبه الموصل

#### 7 - 4 اشباه الموصلات النقية Intrinsic Semiconductor

رأينا فيما مضى أن حزمة التكافؤ في الموصلات تتداخل مع حزمة التوصيل وعليه فإن عدد الإلكترونات الحرة يكون محدوداً في حزمة التوصيل وان رفع درجة الحرارة لن يؤدي الا الى زيادة اهتزاز الذرات في مواقعها مما يعمل على زيادة مقاومة الموصل بسبب من زيادة عدد الاصطدامات التي تعملها الإلكترونات مع هذه الذرات اما في اشباه الموصلات فان زيادة درجة الحرارة سوف يؤدي الى زيادة طاقة الإلكترونات التكافؤية ومن ثم فان عدد الإلكترونات التي تصل الى حزمة التوصيل سوف يزداد مع ارتفاع درجة الحرارة وبالتالي فان التوصيلية  $\sigma$  لهذه المواد سوف تزداد مع ارتفاع درجة الحرارة - انظر الشكل (6) مما يعني امتلاكها لمعامل مقاومة سالب .



الشكل (٧) : - تغير التوصيلية مع درجة الحرارة

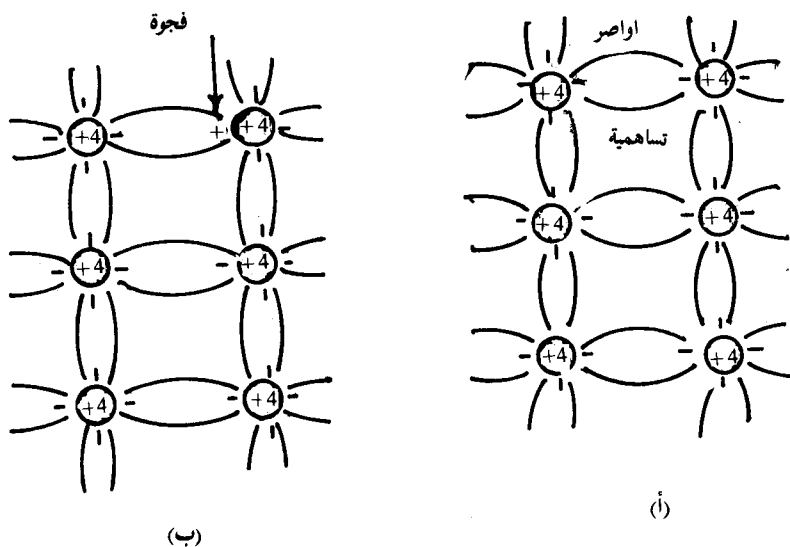
على أية حال فان كثافة الالكترونات في حزمة التوصيل يمكن حسابها بوساطة دالة Fermi-Dirac statistic function تخضع لاحصاء فيرمي - ديراك وتسمى بدالة التوزيع للطاقة energy distribution fuoction التي تعبر عن الاحتمالية  $f(E)$  لاي الكترون لاحتمال مستوى من الطاقة  $(E)$  عند درجة حرارة  $T$  وتعطى بوساطة دالة فيرمي

$$f(E) = \frac{1}{1 + \exp\left(\frac{E - E_f}{KT}\right)} \quad \dots (17)$$

في هذه المعادلة اذا كان  $E_f = E$  فان  $f(E) = \frac{1}{2}$  ومن ثم فان تعريف منسوب فيرمي للطاقة بانه المنسوب الذي تكون احتمالية اشغاله من قبل الكترون مساوية لـ 50% اما بالنسبة لمستويات الطاقة التي تزيد عن  $E_f$  بحيث تقترب نتيجة الفرق  $(E - E_f)$  من اللانهاية عندئذ يقترب احتمال اشغال ذلك المستوى من الطاقة من الصفر وبمعنى اخر ان مستويات الطاقة العالية جدا تكون خالية من الالكترونات بينما يصل الاحتمال الى 100% في مستويات الطاقة الواطئة جداً .

تمتلك عناصر المجموعة الرابعة group IV من الجدول الدوري ، اربعة الكترونات تكافؤية وتدعى البلورات التي تكون من ضمنها مواد البلورات التساهمية وتنشأ قوى التماسك في البلورات التساهمية من وجود الكترونات مشتركة بين الذرات المتجاورة فكل ذرة مشتركة باصرة تساهمية مع جاريتها تساهم بالكترون واحد في الاصرة ويكون الالكترونات مشتركين بين الذرتين بدلا من ان يكون كل منهما ملكية خاصة لاحد الذرتين كما في حالة الاواصر الايونية ويبين الشكل ( 8 أ ) تركيب احد هذه البلورات في درجة الصفر المطلق وقد رسمت ذراتها في بعدين وبصورة رمزية حسب انموذج بور Bohr المسط للذرة ( وذلك برسم الكترونات التكافؤ فقط وما يعادلها من الشحنة الموجبة )

الان اذا ما تم تسليط جهد كهربائي على هذه البلورة او تعرضت لأشعاع بطاقة كافية او تم اكسابها طاقة حرارية فان الطاقة المكتسبة هذه سوف تعمل على كسر الروابط التساهمية ونقل الالكترون الى حزمة التوصيل ليشترك في عملية التوصيل الكهربائي . ان الطاقة اللازمة والكافية لفك الروابط التساهمية يجب ان تكون مساوية لفجوة الطاقة



الشكل (A) : - بلورة تساهمية قبل وبعد تعرضها لجهد خارجي

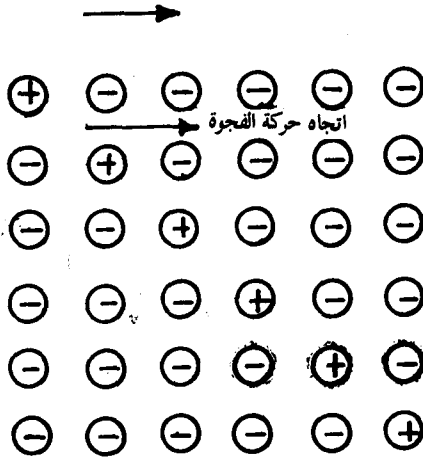
$E_g$  او اكبر . تكون  $E_g$  مساوية لـ 0.72 اليكترون فولت بالنسبة لبلورة الجرمانيوم (Ge) و 1.1 اليكترون فولت بالنسبة لبلورة السيلكون (Si) . هذا ويعد هذان العنصران من اهم عناصر المجموعة الرابعة المستعملة في الصناعات الالكترونية ولعنصر السيلكون (14) الكترونا في تركيبه الذري تتوزع على الصورة 2 و 8 و 4 الكترونات بينما يمتلك عنصر الجرمانيوم (32) الكترونا تكون موزعة على الصورة 2 و 8 و 18 و 4 الكترونات

على اية حال ، ان انتقال الالكترن من حزمة التكافؤ الى حزمة التوصيل سوف يخلف وراءه مكانا خاليا في الاصرة التساهمية - انظر الشكل (8) - او ما يدعى بالفجوة hole . الذرة الان اصبحت ايونا ion وتظهر الفجوة كشحنة موجبة ثابتة (+ e) مع كتلة فعالة  $m_h$  ولا تكون مساوية لكتلة الالكترن . هذا الفرق في الكتلتين يظهر على شكل حركة بطيئة لحاملات الشحنة الموجبة هذه استجابة للمجالات الكهربائية المسئلة مقارنة مع حركة الالكترونات تحت نفس الظروف .

تعرف الفجوة بانها مكان مستعد لاستقبال الكترن وبهذا فانها سرعان ماتملاً بالالكترن المجاور الذي يعمل بفعل وجود مجال كهربائي ، على كسر الاواصر التي تربطه بالذرة مولداً بذلك فجوة ثانية يتم ملاءها ايضا بالكترن آخرو هكذا تستمر العملية مؤدية

بذلك الى حركة الشحنات - انظر الشكل (9) - ومولدة بذلك تياراً يدعى بتيار الفجوات hole current

ان عملية توليد هذه الازواج من الالكترتون - فجوة electron-hole pairs سوف تستمر وعند التوازن الحراري thermal equilibrium يكون عدد الفجوات المتخلفة مساوياً لعدد الالكترتونات المنتقلة وتعد الطاقة الحرارية أكثر المصادر توليداً لهذه الازواج وتدعى عملية التوصيل الناتجة عن حركة حاملات الشحنة هذه ( الفجوات والالكترتونات ) بعملية التوصيل الذاتي intrinsic conduction



الشكل (9) : - حركة الفجوة في شبه الموصل

عند تسليط مجال كهربائي خارجي فان الطاقة المكتسبة من قبل هذه الحاملات سوف تضاف الى طاقتها الحرارية ، وبذلك تعمل على تعجيلها واكسابها سرعة تصل بعد فترة معينة ، كما ذكرنا ، الى قيمة ثابتة تدعى بسرعة الانسياب velocity drift بحيث ان

$$\begin{aligned} v_h &= \mu_h E \\ v_e &= \mu_e E \end{aligned} \quad (18)$$

حيث تشير h الى الفجوات hole و e الى الالكترونات وتكون  $v_e$  معاكسة لاتجاه  $v_h$  واكبر منها الا ان التيار الناتج عنهما يكون في نفس الاتجاه .

معروف لدينا ان

$$\Delta I = \frac{\Delta Q}{\Delta t} \quad \dots (19)$$

كذلك هو معروف ان

$$\Delta Q = \rho \Delta V \quad \dots (20)$$

حيث تمثل  $\rho$  الكثافة الحجمية للشحنة و  $\Delta V$  عنصراً حيمياً . عند التعويض عن  $\Delta Q$  اعلاه في المعادلة نحصل على

$$\Delta I = \rho \Delta s \frac{\Delta x}{\Delta t} \quad \dots (21)$$

او ان

$$J = \frac{\Delta I}{\Delta s} = \rho v \quad \dots (22)$$

حيث تمثل J كثافة التيار السطحية .  
بالنسبة لانصاف الموصلات لدينا

$$J_e = \rho_e v_e = ne v_e \quad \dots (23)$$

وكذلك

$$J_h = \rho_h v_h = pe v_h \quad \dots (24)$$

حيث تمثل n و p كثافة الالكترونات والفجوات المتولدة وعلى التوالي

$$J = J_e + J_h = ne v_e + pe v_h \quad \dots (25)$$

وعند التعويض عن قيمة  $v_e$  و  $v_h$  من المعادلة (18) في المعادلة (25) نحصل على

$$J = + ne \mu_e E + pe \mu_h E \quad \dots (26)$$

في انصاف الموصلات النقية تكون كثافة الالكترونات n في حزمة التوصيل مساوية لكثافة الثقوب p التي خلقتها تلك الالكترونات في حزمة التكافؤ، اي ان  $n_i = p = n$  حيث يشير الحرف (i) الى شبه الموصل النقي intrinsic . وعليه فأنت

$$J = n_i (\mu_e + \mu_h) e E \quad \dots (27)$$

العلاقة بين E و J يمكن ايضا تحديدها بوساطة التوصيلية  $\sigma$  من خلال

$$J = \sigma E \quad \dots (28)$$

وعليه فان

$$\sigma = (\mu_e + \mu_h) n_i e \quad \dots (29)$$

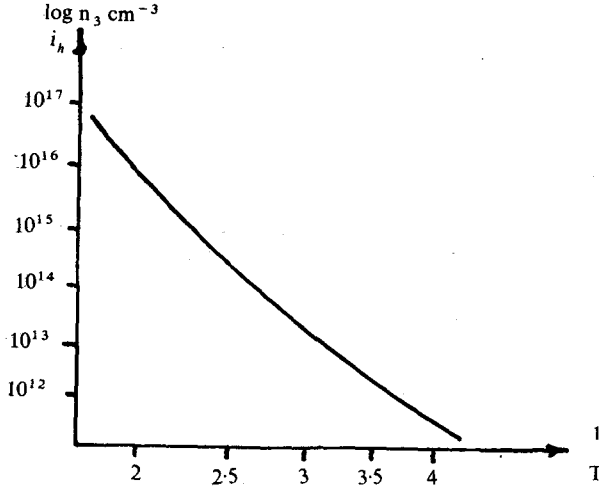
بالنسبة للجermanيوم النقي او الذاتي ، فان حركتي الالكترون والفجوة هما 0.36 و 0.17 بالترتيب بينما للسيلكون فالحركتين هما بالترتيب 0.12 و 0.025 . وهذه القيم معطاة بالمترا المربع لكل فولت - ثانية وتتراوح بين 10 الى 100 مرة أكبر من تلك للالمنيوم والنحاس والفضة والموصلات المعدنية الاخرى عند نفس الدرجة الحرارية  $300^\circ k$  . من جهة اخرى ، في المعادن هنالك في المتوسط الكترون حرمقابل كل ذرة وبما ان كثافة الذرات في المعادن هي  $10^{28}$  بالمترا المكعب الواحد لذا فانه يوجد فسي المتوسط  $10^{28}$  الكترون حرفي المترا المكعب الواحد . في اشباه الموصلات مثل الجermanيوم والسيلكون هناك الكترون حرمقابل  $10^8$  ذرة وعليه فاننا نتوقع ان تكون التوصيلية للسيلكون  $10^8$  مرة اقل من النحاس الا ان كون الحركية في السيلكون ، انظر اعلاه ، هي اكبر مائة مرة مما هي في النحاس لذا فاننا نتوقع ان التوصيلية في اشباه الموصلات تكون حوالي مليون مرة اقل من المعادن عند درجات الحرارة الاعتيادية وهذا ما هو حاصل فعلا

ومن الجدير بالذكر ان  $n_i$  تتغير مع درجة الحرارة بصورة اسية حيث ان

$$n_i^2 \propto T^3 e^{-E_g/KT} \quad \dots (30)$$



وعليه فان  $n_i$  تزداد بشكل كبير وسريع مع الازدياد في درجة الحرارة وبين الشكل (10) تغير  $n$  مع  $\frac{1}{T}$



الشكل (10) : - تغير كثافة الالكترونات الحرة في اشباه الموصلات مع درجة الحرارة

هذا وقد وجد ان التوصلية تزداد في الجرمانيوم بنسبة 6 بالمائة تقريبا كلما ازدادت درجة الحرارة درجة واحدة اما في السيلكون فتبلغ الزيادة 8 بالمائة تقريبا وعليه فان الحرارة الزائدة قد تعرقل عمل اشباه الموصلات في بعض الدوائر الالكترونية .

#### 8-4 اشباه الموصلات الشائبة Extrinsic Semiconductor

ذكرنا فيما سبق ان عدد الالكترونات الواصلة الى حزمة التوصيل وكذلك الفجوات المتخلفة في حزمة التكافؤ في المواد شبة الموصلة ، يكون صغيرا جدا في درجات الحرارة الاعتيادية بحيث ان التيار الناتج عنها لا يصلح لكثير من التطبيقات العملية . كذلك وجدنا ان رفع درجة حرارة اشباه الموصلات ، يؤدي الى زيادة الموصلية لهذه المواد اي زيادة عدد الالكترونات المنتقلة الى حزمة التوصيل وبالتالي زيادة التيار الناتج

على الرغم مما جاء اعلاه الا ان زيادة الموصلية للمواد النصف موصلة عن طريق

رفع درجة حرارتها لا يعد مرغوبا فيه من الناحية العملية وذلك لما تتطلبه هذه الطريقة من اجهزة تسخين وما يلزم ذلك من زيادة في التكاليف وكذلك زيادة في استهلاك القدرة والاهم من ذلك صعوبة التحكم او السيطرة على الخواص الكهربائية لاشباه الموصلات من خلال هذه الطريقة .

على اية حال ، يتم في الوقت الراهن السيطرة على الصفات الكهربائية لشبه الموصل عن طريق اضافة نسب قليل ومحدود من مواد شائبة impurities الى بلورة شبه الموصل وتدعى هذه العملية بالتطعيم doping وتعرف كمية الشوائب المضافة بمنسوب التطعيم doping level

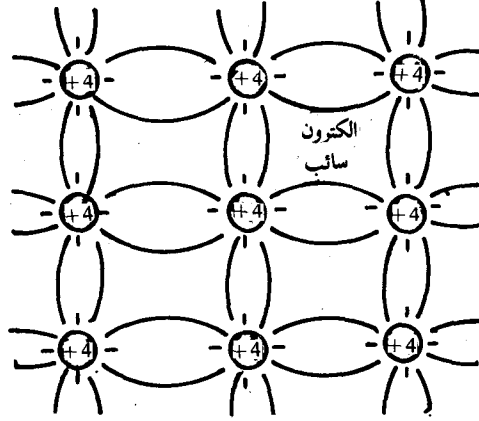
ان اضافة ذرات شائبة الى اشباه الموصلات النقية ، بنسب قليلة تعمل على زيادة الموصلية لهذه المواد فمثلا اذا اضيفت الشوائب بنسبة ذرة واحدة من الشوائب الى  $10^8$  ذرة جرمانيوم فان ذلك يكفي لزيادة الموصلية بمقدار من 10 الى 15 مرة . كذلك فان اضافة الذرات الشائبة الى اشباه الموصلات النقية تعطينا امكانية التحكم في كثافة الالكترونات الحرة الموجودة في شبه الموصل او كثافة الفجوات فيه وبصورة مستقلة وتضاف الشوائب عادة بنسبة ذرة عنصر شائب واحد الى مليون ذرة سيلكون او جرمانيوم

يوجد نوعان من الشوائب ! تلك التي تعمل على زيادة الموصلية بزيادة عدد الالكترونات وتكون من عناصر المجموعة الخامسة من الجدول الدوري ( خماسية التكافؤ) وتلك التي تزيد الموصلية بزيادة عدد الثقوب وتكون من ضمن عناصر المجموعة الثالثة ( ثلاثية التكافؤ) ولهذا فان شبه الموصل المطعم يصنف الى نوعين رئيسيين وذلك حسب نوع الشوائب المضافة اليه .

#### 1- 8- 4 اشباه الموصلات السالبة N - type semiconductor

رأينا فيما سبق ان حاملات التيار في اشباه الموصلات ، هي الالكترونات والفجوات اما في هذا النوع من اشباه الموصلات فان حاملات الاغلبية للتيار majority carriers هي الالكترونات الناتجة من ادخال مادة شائبة خماسية التكافؤ كذرة الزرنيخ arsenic مثلا يوجد في هذه الذرة خمسة الكترونات في مدارها الخارجي على حين تحوي ذرة السيلكون اربعة الكترونات خارجية وعندما تحل ذرة زرنيخ محل ذرة سيلكون في بلورة السيلكون فان اربعة الكترونات خارجية من ذرة الزرنيخ تساهم باربعة اواصر تساهمية

مع ذرات السيلكون المجاورة ويبقى الالكترون الخامس لذرة الالكترن معلقا بالذرة  
الام دون ان يدخل ضمن الاواصر التي تربط الذرات - انظر الشكل (11)



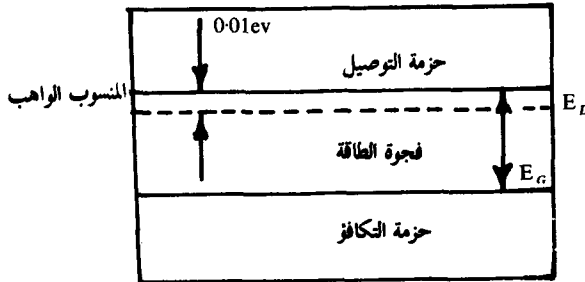
الشكل (11) : - شبه موصل نوع N

ان هذا الالكترن الخامس يكون شبه سائب وتكفي طاقة صغيرة لاتتعدى عن 0.04 اليكترون فولت للجرمانيوم و 0.01 اليكترون فولت للسيلكون لنقله الى حزمة التوصيل. وبهذا فان وجود الذرات الشائبة يزيد من عدد الالكترونات الطليقة فسي حزمة التوصيل مع قليل من الطاقة ليس غير وقد يتضاعف هذا العدد ، من الالكترونات الطليقة الى الف مرة عما هو عليه في حالة السيلكون النقي .

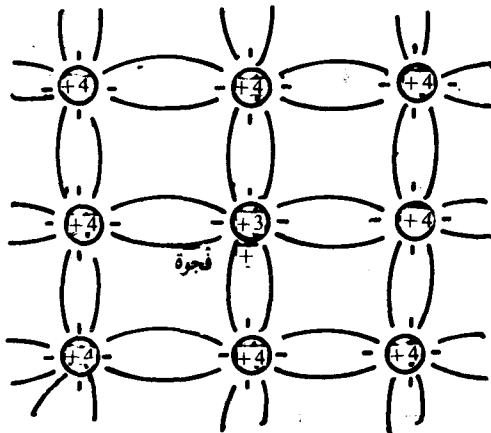
ومن الجدير بالذكر ان ظهور الالكترونات الفائضة في حزمة التوصيل نتيجة لوجود الشوائب لايقابله ظهور الثقوب في حزمة التكافؤ. فهذه الالكترونات لاتنتقل من حزمة التكافؤ كما يحدث ذلك في المادة النقية بل انها تنتقل من مستويات طاقة واقعة تحت حافة حزمة التوصيل ( ضمن فجوة الطاقة ) وعلى عمق قليل جدا من الطاقة ( 0.01 eV او 0.04eV ) انظر الشكل (12) . ويسمى هذا المستوى الجديد للطاقة بالمستوى الواهب donor level وهو يمثل مستوى الطاقة للذرات الشائبة ولهذا تسمى الذرات الداخلة بالذرات الواهبة donors . وعليه فان غالبية التيار يكون نتيجة شحنات الالكترونات ( السالبة ) ومن هنا جاءت تسمية هذا النوع من البلورات بالسالبة N - type . اما كثافة الثقوب فتحددها الالكترونات التي تترك حزمة التكافؤ الى حزمة التوصيل ويكون تأثيرها على التوصيل مهملا ولهذا فانها تدعى بالحاملات الاقلية minority carriers

2-8-4 اشباه الموصلات الموجبة P - type semiconductor :

الآن له أضفنا بعض ذرات مادة شائبة ثلاثية التكافؤ كالسيوم او الالمنيوم او البورون الى بلورة السيلكون فان ظاهرة مختلفة سوف تحدث. تحوي ذرات الكالسيوم على ثلاثة الكترونات في مدارها الخارجي متوزعة على هيئة  $4s^2 4p$  لذلك فان وجود هذه الذرات في بلورة السيلكون  $3s^2 3p^2$  يولد مكانات شاغرة في تركيبها الالكتروني تدعى بالفجوات holes - انظر الشكل (12) - ويحتاج الالكترون الى طاقة قليلة جدا لكي يدخل في فجوة معينة ولكنه بهذه العملية يترك خلفه فجوة جديدة. فعند تسليط مجال كهربائي على بلورة السيلكون الشائبة هذه فان حركة الفجوات ستتظم فيها وتنساق نحو القطب السالب مولدة بذلك تيارا يدعى بتيار الفجوات current hole هذا النوع من المادة يدعى بشبه الموصل من النوع الموجب P - type semiconductor وتسمى الذرات الشائبة الداخلة بالذرات المتقبلة acceptors لتقبلها الالكترونات من ذرات البلورة الاصلية.

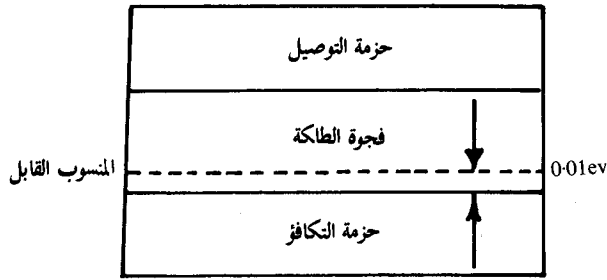


الشكل (12) : مخطط الطاقة لشبه موصل من نوع N



الشكل (13) : - شبه موصل من نوع P

وكما هو الحال في الشوائب المانحة فان الشوائب القابلة تكون مستويات طاقة جديدة ضمن فجوة الطاقة وعلى مسافة قريبة جدا من حزمة التكافؤ يطلق عليها بالمنسوب القابل acceptor level - انظر الشكل ( 14 ) - تبلغ قيمته حوالي 0.01 ev بالنسبة للجرمانيوم و 0.16 ev بالنسبة للسيلكون . وان وجود هذا المنسوب يسهل من عملية انتقال الالكترونات من حزمة التكافؤ اليه وان انتقال الالكترون يؤدي الى تخلف فجوة في حزمة التكافؤ وهذه الفجوات تساعد على سريان التيار .



الشكل ( 14 ) : - مخطط الطاقة لشبه موصل نوع P

### 3- 8- 4 كثافة الشحنات في اشباه الموصلات الشائبة :

مما تقدم يتبين لنا ان توصيلية الشوائب تكون غالبية على التوصيلية الذاتية اذا كان تركيز الشوائب الواهية  $N_a$  او المتقبلة  $N_d$  اكبر من تركيز حاملات الشحنة الذاتية  $n_i = p_i$  وفي شبه الموصل الشائب يقل تركيز الحاملات الاقلية بنفس عدد المرات التي يزداد بها تركيز الحاملات الاكثرية فاذا كان  $n_i = n_n = p_n = 10^{13} \text{ cm}^{-3}$  في الجرمانيوم ثم تضاعف تركيز الالكترونات ، بعد اضافة الذرات المانحة ، ب 1000 مرة بحيث اصبح  $n_n = 10^{16} \text{ cm}^{-3}$  فسيقل تركيز الفجوات ب 1000 مرة ويصبح  $p_n = 10^{10} \text{ cm}^{-3}$  اي اقل بمليون مرة من تركيز الالكترونات والسبب في ذلك ان اعادة الاتحاد تتناسب طرديا مع تركيز الالكترونات وبذلك سيضاعف عدد الالكترونات التي تتحد ثانية مع الفجوات ب 1000 مرة فتصبح الفجوات 1000 مرة اقل مما كانت عليه . وبالنسبة الى نصف موصل سالب فان العلاقة

$$n_n p_n = n_i^2 \quad \dots (31)$$

$$10^{16} \times 10^{10} = (10^{13})^2$$

وما قيل عن شبه الموصل السالب يصح قوله على شبه الموصل الموجب حيث ان  $n_p \gg p$  ويمكن اعتبار ان  $P_p \approx Na$  اي ان

$$n_p P_p = p_i^2 = n_i^2 \quad (32)$$

$$10^{10} \times 10^{16} = (10^{13})^2$$

بقي لنا ان نذكر انه عندما ترتفع درجة حرارة شبه الموصل الشائب كثيرا عن درجة حرارة الغرفة فان الالكترونات او الفجوات الاصلية سوف تهيمن على الالكترونات والفجوات الشائبة وتصبح كثافة الالكترونات في حزمة التوصيل مساوية مرة اخرى لكثافة الفجوات في حزمة التكافؤ وهكذا فان الحرارة العالية غير مرغوب فيها اذ هي تبعد العناصر شبه الموصلة من اداء عملها بالصورة الاعتيادية .

#### 9-4 سريان التيار في اشباه الموصلات الشائبة :

يسري التيار في المواد بصورة عامة اذا كان هناك :

أ - انحدار في الجهد  $\left( \frac{dv}{dx} \right)$

ب - انحدار في كثافة الحاملات للشحنات السالبة او الموجبة  $\left( \frac{dn}{dx} \right)$  او  $\left( \frac{dp}{dx} \right)$

ج - تغير في الازاحة الكهربائية مع الزمن  $\left( \frac{dD}{dt} \right)$

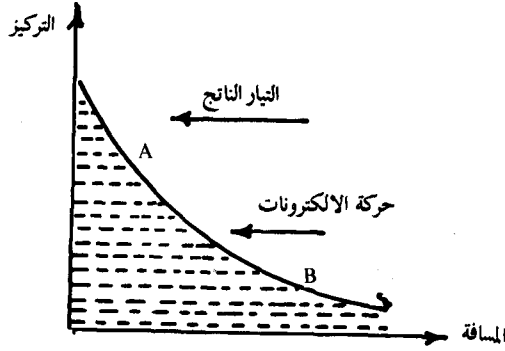
يسمى التيار الناتج عن التغير في الازاحة الكهربائية بتيار الازاحة displacement current وهو يظهر في العوازل فقط اما التيار الناتج عن وجود انحدار في الجهد فيسمى بتيار الحمل او التوصيل وهو يظهر في الموصلات واشباه الموصلات وقد تكلمنا عنه فيما مضى واطلقنا على التيار الناتج من حركية كل الالكترونات في حزمة التوصيل او الفجوات في حزمة التكافؤ ، في شبه الموصل الذاتي عند تسليط المجال الكهربائي ، بتيار الانسياق drift current تمشيا مع السرعة النهائية التي تصلها حاملات الشحنة اي سرعة الانسياق dritt velocity

من جهة اخرى هناك تيار اخر يظهر فقط في اشباه الموصلات عند غياب المجال الكهربائي وعندما يكون توزيع الشحنات داخل المادة شبه الموصلة غير منتظم يسمى بتيار

## الانتشار ( $I_D$ ) diffusion current

فعلى سبيل المثال اذا كان تركيز الالكترونات عند النقطة (A) - انظر الشكل (15) - في داخل المادة شبه الموصلة اكبر مما هو عليه في النقطة (B) فان وجود هذا الانحدار في التركيز (concentration gradient) سوف يعمل على دفع الالكترونات للانتشار من النقطة (A) باتجاه النقطة (B) مؤديا بذلك الى احداث تيار الانتشار.

هذا وقد وجد ان كثافة تيار الانتشار الناتج عن انتشار الالكترونات  $J_{Dn}$  تتناسب طرديا مع انحدار التركيز لهذه الالكترونات في المادة شبه الموصلة السالبة حيث ان



الشكل (15) : - تغير تركيز الالكترونات مع المسافة في شبه الموصل

$$J_{Dn} = e D_n \frac{dn}{dx} \quad \dots (32)$$

وتسمى  $D_n$  بنابت التناسب وتكون مساوية لـ  $\frac{KT}{e} \mu_e$

كذلك فان كثافة تيار الفجوات الناتجة عن انتشار الفجوات  $J_{Dp}$  تتناسب طرديا مع انحدار التركيز لهذه الفجوات في المادة شبه الموصلة الموجبة حيث ان

$$J_{Dp} = - e D_p \frac{dp}{dx} \quad \dots (33)$$

حيث يمثل  $D_p$  ثابت التناسب ويكون مساويا لـ  $\frac{KT}{e \mu_p}$  وتأتي الإشارة السالبة اعلاه بسبب ان اتجاه سريان الفجوات هو في الاتجاه المعاكس لتيار انتشار الفجوات بينما يكون تيار انتشار الالكترونات في نفس اتجاه سريان الالكترونات .

مما تقدم يتبين لنا انه في حالة تسليط مجال كهربائي على شبه موصل يحمل انحدارا في تركيز الشحنات بداخله فان نوعين من التيار سوف يسريان فيه هما : تيار الانسياب وتيار الانتشار وعليه فان كثافة التيار الكلي ( $J_n$ ) الناجمة عن الالكترونات على سبيل المثال ، هي .

$$J_n = J_e + J_{Dn} = ne \mu_e E + e D_n \frac{dn}{dx} \quad \dots (34)$$

وكذلك الحال بالنسبة لكثافة التيار الكلي ( $J_p$ ) الناجمة عن الثقوب

$$J_p = J_h + J_{Dp} = pe \mu_h E - e D_p \frac{dp}{dx} \quad \dots (35)$$



## اسئلة ومسائل

- (1) عدد أهم العناصر شبه الموصلية
- (2) ما المقصود بشبه الموصل الذاتي والشائب
- (3) ما المقصود بتيار الحمل وكيف يختلف عن تيار الانتشار
- (4) لماذا اخفق انموذج ثومسن في اعطاء فكرة صحيحة عن الذرة ؟
- (5) ما الذي يعنيه ان معظم اشعة الفا استطاعت اختراق الصفيحة الذهبية في تجربة رادورفورد . وما معنى ان قسما منها قد ارتد بالاتجاه المعاكس بالنسبة لاتجاهها الاصيلي .
- (6) ما الظروف التي تصبح عندها الحاملات الاقلية اكبر عددا من الحاملات الاكثرية ؟
- (7) وضح ما دور الحاملات الاقلية في شبه الموصل من نوع N . وضح كذلك كيف يتم توليد الحاملات الاقلية في النوع P .
- (8) اشرح الاسس لنظرية الحزم المعتمدة للتفريق بين الموصلات والعوازل .
- (9) اشتق علاقة لكثافة (أ) الالكترونات في حزمة التوصيل (ب) الفجوات في حزمة التكافؤ في شبه الموصل .
- (10) برهن على ان مستوى فيرمي يقع في منتصف فجوة الطاقة في اشباه الموصلات النقية
- (11) ما شبه الموصل الشائب ؟ وضح الفرق بين نوع P ونوع N .
- (12) عرف الحركة للشحنات وبين علام تعتمد ؟
- (13) وضح لماذا يمتلك شبه الموصل الشائب معامل مقاومة موجياً بينما يمتلك شبه الموصل الذاتي معامل مقاومة سالبا مع زيادة درجة الحرارة ؟
- (14) هل تغير الذرات الشائبة من مقاومة المواد شبه الموصلية ؟ كيف ؟ ولماذا ؟
- (15) ما شرط الحصول على تيار الانجراف
- (16) اذكر الشرط الضروري لتوليد تيار الانتشار
- (17) ما العوامل التي تحدد عدد الشحنات الحرة في المواد
- (18) ارسم الشكل التخطيطي لمخطط طاقة الحزم للسيلكون في درجة حرارة الصفر المطلق عند درجة حرارة الغرفة
- (19) اذا كانت الايونات الموجبة لا تستطيع الحركة فكيف تفسر وجود تيار الفجوات ؟
- (20) ما العملية المعاكسة لعملية توليد ازواج الكترون - فجوة ؟ وضح ذلك
- (21) ايهما اكبر حركة الالكترونات ام الفجوات ولماذا ؟ وضح ذلك

- (22) وضح بالتفصيل كيفية تكون حاجز الجهد في وصلة الـ PN
- (23) نصف موصل نقي من الجرمانيوم يمتلك مقاومة  $0.45 \text{ اوم} - \text{متر}$ . احسب كثافة حاملات الشحنات ( الالكترونات والفجوات ) اذا كانت الحركية لهذه الحاملات هي  $0.39 \text{ m}^2/\text{V}$  و  $0.19 \text{ m}^2/\text{V}$  وعلى التوالي
- (24) نصف موصل من نوع N من الجرمانيوم يمتلك توصيلية  $200 \text{ v} / \text{m}$ . افرض ان حركية الالكترونات هي  $0.39 \text{ m}^2 / \text{V}$ . احسب كثافة الذرات الشائبة
- (25) اذا كانت كثافة الالكترونات الحرة في الجرمانيوم النقي عند  $300 \text{ k}^\circ$  هي  $2.4 \times 10^{19} / \text{m}^3$  ما مقاومة قضيب من الجرمانيوم ابعاده  $1$  و  $2$  ملمتر و  $1$  سم .
- (26) اذا كانت كثافة الالكترونات الحرة في السيلكون النقي هي  $1.7 \times 10^{16} / \text{m}^3$ . احسب مقاومة قطعة من السيلكون طوله  $1$  و  $2$  مليمتر و  $1$  سم .
- (27) استخدم النتائج في السؤالين اعلاه لحساب النسبة بين مقاومة السيلكون الى مقاومة الجرمانيوم عند درجة الحرارة  $300$  :
- (28) احسب النسبة بين عدد الذرات في الجرمانيوم الى ازواج الالكترون - فجوة عند درجة حرارة الغرفة . كذلك احسب المقاومة الذاتية ( عدد ازواج الالكترون - فجوة هي  $2.4 \times 10^{19} \text{ m}^{-3}$  عند  $300 \text{ k}^\circ$  ) .

# الفصل الخامس

## الثنائي البلوري

### Crystal Diode

#### 1-5 المقدمة :

رأينا فيما سبق ، ان بالامكان الحصول على مادة شبه موصلة من نوع موجب P-type او من نوع سالب N-type عن طريق ادخال مادة شائبة ثلاثية التكافؤ او خماسية التكافؤ الى مادة شبه موصلة نقية وعلى التوالي . وعلى الرغم من ان كلا النوعين ، من اشباه الموصلات ، يحتوي على حاملات الشحنة الاكثرية ( التي يعتمد عددها على تركيز الذرات الشائبة الداخلة ) وكذلك على حاملات الشحنة الاقلية ( التي تنتج حرارياً وبالتالي يعتمد عددها على درجة حرارة المادة ) الا ان هذه المواد ليست بذات اهمية عملية عند استعمالها ، في الدوائر ، بصورة منفردة .

من جهة اخرى يمثل ثنائي الوصلة PN واحداً من اهم الاجهزة الالكترونية ويمكن لهذا الثنائي ان يقوم بعمل الصمام الثنائي المفرغ ويمتاز عليه في كثير من النواحي التي سنأتي على ذكرها لاحقاً .

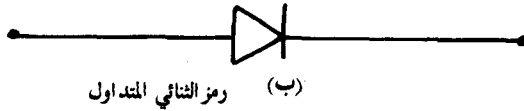
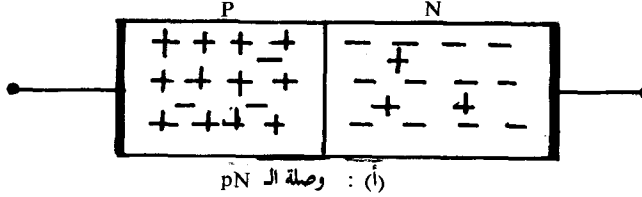
بناءً عليه سنقوم هنا بالتعرف على كيفية الحصول على وصلة الـ PN ومن ثم دراسة العمليات الفيزيائية التي تحدث فيها وكذلك سلوكها الكهربائي وصولاً الى اقرار النموذج الكهربائي المكافيء لهذا الثنائي ، كذلك سنحاول التعرف على بعض من الثنائيات الاخرى ومنها : ثنائي زينر والثنائي النفقي .

• هذه التسمية لوصلة الـ PN سيكون محل الاستعمال في هذا الفصل وما يليه .

ان دراسة هذه الثنائيات ليس ضروريا فقط للتعرف على تطبيقاتها الكثيرة التي سنأتي عليها في فصل لاحق ، وانما ايضا لان فهم عمل هذه الثنائيات ، وعلى وجه الخصوص ثنائي الوصلة pN ، هو ضروري لفهم عمل الترانزستور الذي يشكل اساس الهندسة الالكترونية الحديثة

## 5-2 ثنائي الوصلة PN : pN Junction Diode

يتم الحصول على ثنائي الوصلة pN عند جمع النوعيه ، السالب والموجب من شبه الموصل الى بعضهما . ولا يقصد بالجمع هنا ، تقريب احد النوعين الى النوع الاخر بحيث يتلامسا وانما يقصد به ان كلا النوعين من المادة شبه الموصلة السالبة والموجبة ، يتم تصنيعهما على بلورة واحدة من مادة نصف موصلة ، بحيث يصبح احد نصفها سالبا والنصف الاخر موجبا وذلك عن طريق ادخال المادة الشائبة المناسبة الى نصفى البلورة . يبين الشكل (أ1) ثنائي الوصلة pN او اختصاراً بالثنائي diode ويرمز له عادة بالشكل (ب1)



الشكل (1)

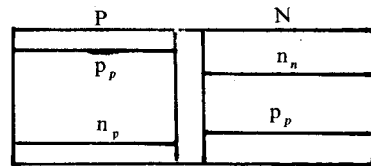
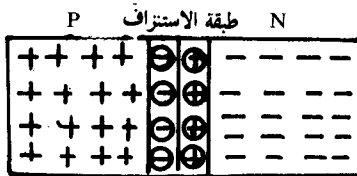
### 5-2-1 منطقة الاستنزاف : depletion layer

عند جمع نصفى وصلة ال PN بالطريقة المذكورة اعلاه وبسبب ان تركيز حاملات الشحنة في اي من النوعين ( الالكترونات في النوع السالب والفجوات في النوع الموجب )

هو اكبر بكثير مما هو في النوع الاخر مما يشير الى عدم وجود انتظام في توزيع اي من هذه الحاملات عبر الوصلة او بعبارة أخرى وجود تحدر في تركيز الالكترونات  $\left( \frac{dp}{dx} \right)$  في المنطقة السالبة وكذلك تحدر في تركيز الثقوب  $\left( \frac{dp}{dx} \right)$  في المنطقة الموجبة أنظر الشكل (2) . يلاحظ في هذا الشكل وصلة PN يحدث عبرها تغيراً فجائياً من النوع P الى النوع N وبالعكس وتسمى هذه الوصلة أحيانا بالوصلة الفجائية abrupt Junction . ان وجود مثل هذا التحدر سيؤدي بالتالي الى انتقال ( او انتشار) بعض الالكترونات الى المنطقة الموجبة عبر الحد في شبه الموصل وكذلك بعض الثقوب في الاتجاه المضاد .

ان عبور الالكترونات الى المنطقة P سوف يجعل منه حاملا اقلية ويوجد الاعداد الكبيرة من الفجوات حوله يكون زمن بقائه قصيراً ، فحال دخوله المنطقة P يسقط في فجوة وعندما يتم هذا فان الفجوة تختفي ويصبح الالكترون الحر الكترونا تكافؤيا . كذلك هو الحال بالنسبة للفجوات العابرة الى المنطقة N حيث تقوم باقتناص الكترون حر من بين الاعداد الكبيرة المحيطة بها .

ان انتشار الحاملات وانتقالها من جهة الى اخرى لايعني انتقال الذرات الأم التابعة لها ، ذلك لان هذه الاخيرة تكون مرتبطة مع مثيلاتها من الذرات الاخرى بأواصر تساهمية يصعب كسرها ، وانما يؤدي الى تكون شحنتين مختلفتي الاشارة على جانبي الحد الفاصل ، في وصلة الـ pN ، بسبب من تخلف الايونات الموجبة في المنطقة N والايونات السالبة في المنطقة P انظر الشكل (3) .



الشكل (3) : وصلة الـ pN مع طبقة الاستنزاف

الشكل (2) : - وصلة فجائية

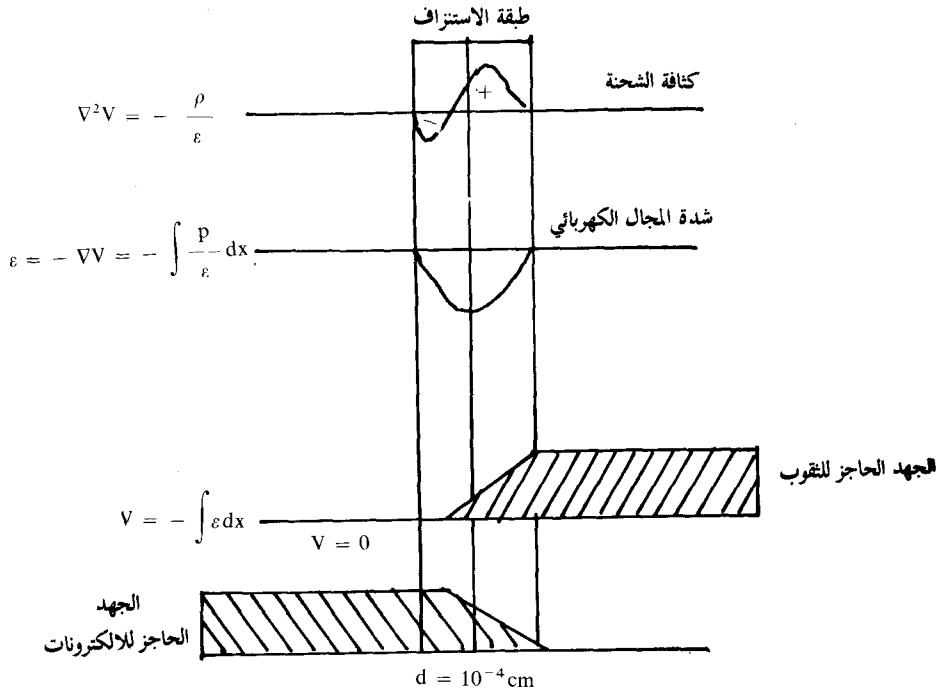
ان كل زوج متكون من الايون الموجب والسالب في الشكل ( 3 ) يدعى ثنائي القطب dipole ، وان وجود مثل هذا الثنائي القطب يعني ان الكترونا واحدا من الكترونات حزمة التوصيل وفجوة واحدة قد توقفا عن التجوال وبتزايد اعداد هذه الثنائيات القطبية تخلى المنطقة المتاخمة للحد الفاصل بين وصلتي الـ pN ، من الشحنات المتحركة وتدعى هذه المنطقة الخالية من الشحنات بطبقة الاستنزاف depletion leuer - انظر الشكل ( ٣ ) .

ومن الجدير بالذكر ان معظم مقاومة وصلة الـ pN تتركز في منطقة الاستنزاف حيث تكون مقاومتها كبيرة بالمقارنة مع بقية اجزاء شبه الموصلين p و N .

The potential barrier : 5 - 2 - 2 الجهد الحاجز :

من المعروف ان وجود شحنتين مختلفتين ومفصولتين عن بعضهما بمسافة سوف يعمل على خلق مجال كهربائي يؤدي بدوره الى احداث جهد كهربائي  $(V_B)$  عبر وصلة الـ PN يعمل على اعاقا انتشار الحاملات في كلا الاتجاهين ويسمى بالجهد الحاجز potential barrier . يوضح الشكل ( ٤ ب ) تغير شدة المجال الكهربائي حول حدود الوصلة بينما يبين الشكل ( ٤ ج ) الجهد الذي يحجز أو يعيق انتقال ثقب أكثر ، اما الشكل ( ٤ د ) فيشير الى الجهد الحاجز للالكترونات وعليه فان الشكلين الاخيرين يبدو ان كمرتفعين او تلين احدهما يعيق مرور او تسلق الالكترونات والاخر يعيق تسلق الفجوات ولذلك يدعى كل منهما احيانا بمرتفع الجهد potential hill وتكون قيمته في غضون بضعة اعشار الفولت .

ومن الجدير بالذكر ان ازدياد تركيز الشوائب يؤدي الى ازدياد تركيز الحاملات الاكثرية ومن ثم تزداد اعدادها التي تنتشر عبر الحد الفاصل وبالتالي تتمو كثافة الشحنة المتخلفة ويزداد لذلك قيمة الجهد الحاجز اي يزداد ارتفاعه ويصاحب ذلك تناقص في سمك منطقة الاستنزاف ويرمز لهذا السمك عادة بالرمز d ، وبالنسبة الى الجرمانيوم مثلا ، وعند القيم المتوسطة لتركيز الشوائب ، تتراوح قيمة  $V_B$  ما بين 0.2 الى 0.3 فولت و d ما بين  $10^{-5}$  الى  $10^{-4}$  سم . اما عند قيم التركيز الاعلى التي تستخدم في بعض الحالات ، فيكون  $V_B$  مساويا لـ 0.7 فولت و d مساويا لـ  $10^{-6}$  سم .



الشكل (٤) :- كثافة الشحنة وشدة المجال الكهربائي والجهد الحاجز في منطقة الاستنزاف في وصلة ال PN

### 5-3 وصلة ال PN في حالة الاستقرار

ذكرنا انفا ان وجود التحدري في تركيز الالكترونات والفجوات عبر الوصلة PN سيعمل على انتشار هذه الحاملات الاكثريه عبر الوصلة . ان انتقال الحاملات الاكثريه نتيجة للانتشار سوف يؤدي الى احداث تيار الانتشار وفقا لمعادلة الانتشار الاتية :

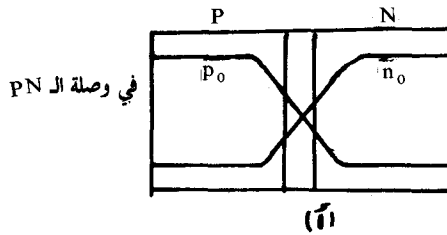
$$J_e = qD_e \frac{dn}{dx} \quad \dots (1)$$

حيث يمثل  $J_e$  كثافة تيار الانتشار الناتج عن الالكترونات التي تنتشر من الجانب N الى الجانب P ويمثل  $D_e$  ثابت الانتشار للالكترونات ويقاس بالمترا المربع لكل ثانيه هناك معادلة مشابهة بالنسبة لكثافة انتشار التيار الناتج عن الثقوب

$$J_h = -qD_h \frac{dp}{dx} \quad \dots (2)$$

حيث يعني وجود الإشارة السالبة ، في المعادلة اعلاه الى ان حركة الفجوات تكون بعكس حركة الالكترونات وعليه فان محصلة كثافة تيار الانتشار في وصلة ال PN تكون مساوية لـ

$$J_d = J_e + J_h = q \left( D_e \frac{dn}{dx} + D_h \frac{dp}{dx} \right) \quad \dots (3)$$

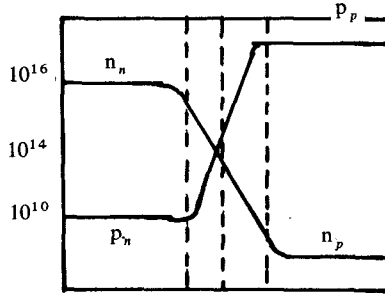


الشكل (أه)

على الرغم من اننا ذكرنا ان التغير من النوع P الى النوع N يكون فجائيا ، انظر الشكل ( 2 ) ، الا ان عملية انتشار الحاملات الاكثرية عبر هذه الوصلة سوف يؤثر على قيمة الانحدار الكثافي لهذه الحاملات عبر الوصلة ويصبح الانحدار الكثافي منحنيًا ومتدرجًا - انظر الشكل ( 5 ) - بدلا من كونه فجائيا ويوضح الشكل ( 5 ب ) توزيع تركيز الحاملات في وصلة ال PN في الجرمانيوم . ونظراً لاختلاف تركيز الحاملات الاكثرية والاقلية بملايين المرات فقد رسم المحور الرأسي الذي يمثل تركيز الالكترونات والفجوات بمقياس لوغاريتمي . وعادة ما يختلف تركيز الشوائب في المنطقتين P و N ، ويقابل الشكل هذه الحالة بالذات ويلاحظ ان تركيز الحاملات الاكثرية والاقلية في شبه الموصل السالب هما :  $n_n = 10^{16} \text{ cm}^{-3}$  و  $n_p = 10^{10} \text{ cm}^{-3}$  وفي شبه الموصل الموجب هما :  $p_p = 10^{18} \text{ cm}^{-3}$  و  $p_n = 10^8 \text{ cm}^{-3}$  .

من جهة أخرى فأن وجود الجهد الحاجز والناجم بسبب من عملية الانتشار ، سوف يعمل على تحريك الحاملات الاقلية في كل من المنطقتين N و P موديا بذلك الى احداث تيار يسمى تيار التوصيل . وحيث ان الحاملات الاقلية ، تتكون هي الاخرى ، من نوعين : الالكترونات والفجوات ، لذا فان تيار التوصيل يتكون هو الاخر من مركبتين هما :





الشكل (5 ب) : - تركيز الحاملات في الجرمانيوم

كثافة تيار التوصيل للإلكترونات

$$J_e = \sigma_e E = qn \mu_e E \quad \dots (4)$$

وكثافة تيار التوصيل للفجوات

$$J'_h = \sigma_h E = qp \mu_h E \quad \dots (5)$$

حيث يمثل  $n$  و  $p$  عدد كل من الإلكترونات والفجوات الاقلية وعلى التوالي بينما تمثل  $\mu_e$  و  $\mu_h$  حركية كل من الإلكترونات والفجوات .

وعند جمع المعادلتين (4) و (5) فان كثافة تيار التوصيل الكلي تكون مساوية لـ

$$J_c = (\sigma_e n + \sigma_p p) qE \quad \dots (6)$$

مما تقدم يتبين لنا ان محصلة التيار ، الساري في وصلة الـ PN يسبب من حركة الإلكترونات ، تكون مساوية لتيار الانتشار + تيار التوصيل اوبصيغة رياضية :

$$J_e + J'_e = qD_e \frac{dn}{dx} + qn \mu_e E \quad \dots (7)$$

وكذلك بالنسبة لمحصلة التيار الناتج عن حركة الفجوات

$$J_h + J'_h = qp\mu_h E - qD_h \frac{dp}{dx} \quad (8)$$

على اية حال ، تكون محصلة التيار الكلي ( J ) في وصلة الـ PN ، في حالة انعدام الجهد الخارجي ، مساوية لمجموع تيار الانتشار وتيار التوصيل ، أو ان

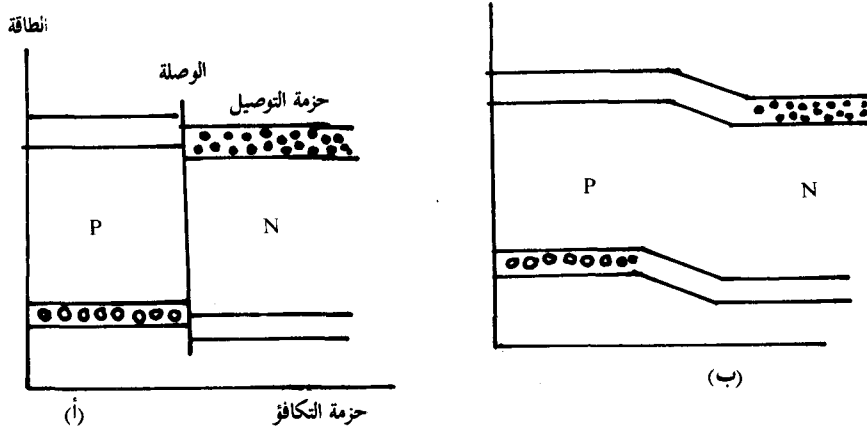
$$J = J_d + J_c \quad \dots (9)$$

في حالة التوازن الحركي لوصلة الـ PN يتساوى هذان التياران مقدراً وتعاكسان اتجاهها وبالتالي يكون التيار الكلي ( J ) المار خلال وصلة الـ PN مساوياً للصفر . وهذا هو المفروض في حالة انعدام الجهد الخارجي او بكلمة اخرى أن الجهد الحاجز سيأخذ دائماً تلك القيمة او الوضع الذي يكفل التعادل بين تيارى الانتشار والتوصيل . لنفرض الان ان تيار الانتشار قد ازداد بسبب ارتفاع درجة الحرارة ان هذه الزيادة في تيار الانتشار معناها عبور عدد اكبر من الالكترونات الى جهة . وكذلك عبور عدد اكبر من الفجوات الى منطقة N مؤدية بذلك الى زيادة عدد الايونات المتخلقة وبالتالي الى زيادة قيمة الجهد الحاجز . ان نمو ارتفاع الجهد الحاجز سوف يؤدي الى زيادة مقابلة في تيار التوصيل اي الى انتقال الحاملات الاقلية في الاتجاه العكسي وطالما ان  $J_c < J_d$  يتواصل نمو ارتفاع الجهد الحاجز ، وفي نهاية المطاف ، ونتيجة لزيادة  $J_c$  يحدث الاتزان ويتوقف نمو  $V_B$  ( $J_c = J_d$ ) .

#### 4-5 مخطط الطاقة لوصلة الـ PN

على الرغم من اننا رأينا توا ان الوصلة الفجائية هي شيء مثالي ، وانه بسبب من حصول عملية الانتشار في وصلة الـ PN ، فان جهة P لا تنتهي تماماً عندما تبدأ جهة N ، الا اننا ولغرض التبسيط سنبدأ بمخطط الطاقة للوصلة قبل حصول عملية الانتشار - انظر الشكل ( ٦ أ ) .

يلاحظ في هذا الشكل حزم الطاقة قبل انتشار الالكترونات عبر الوصلة وقد احتوت الجهة P على العديد من الفجوات الواقعة في حزمة التكافؤ بينما اختصت الجهة N بالعديد من الالكترونات السائبة التي تقع عادة في حزمة التوصيل ، كذلك يلاحظ ان حزمة التكافؤ قد رسمت اعلى قليلا من حزمة التوصيل . ان السبب في ذلك يعود الى ان



الشكل (٦) : مخطط الطاقة (أ) قبل الانتشار  
(ب) بعد الانتشار

الالكترونات في ذرة خماسية التكافؤ يكون ارتباطها بالنواة اقوى من ارتباط الالكترونات بنويات ذراتها ثلاثية التكافؤ ومن ثم فان الطاقة الكامنة للالكترونات في الذرة الخماسية التكافؤ تكون أصغر وان الطاقة اللازمة لتحريرها تكون اكبر. ولهذا فان المدارات في ذرة ثلاثية التكافؤ (جهة P) تكون اكبر بقليل من مدارات ذرة خماسية التكافؤ (جهة N) وهذا يشرح سبب كون حزم P اعلى بقليل من حزم N.

ان انتشار الالكترونات والفجوات عبر وصلة ال PN لا ينتج عنه طبقة الاستنزاف حسب وكما ذكرنا - بل يغير ايضا مستويات الطاقة في منطقة الوصلة. يبين الشكل (٦ ب) مخطط الطاقة بعد ان يتم التوازن ويلاحظ فيه ان حزم P قد تحركت الى الاعلى نسبة الى حزم N وذلك بسبب من ان عبور الكترون ما للوصلة فانه سوف يملأ فجوة احدى الذرات الثلاثية التكافؤ وبالتالي فان هذا الالكترون الاضافي يرفع مدار حزمة التوصيل بعيداً عن الذرة الثلاثية او بعبارة اخرى ان أي الكترون اخرياتي الى المنطقة سوف يحتاج الى طاقة اكبر من السابق ليدخل الى مدار نطاق التوصيل. وهذا يطابق القول بان حزم P تحركت الى الاعلى نسبة الى حزم N بعد ان تكون طبقة الاستنزاف قد تكونت.

## 5-5 حساب الجهد الحاجز

ذكرنا ، انفا ، ان الجهد الحاجز يأخذ دائما تلك القيمة او الوضع الذي يكفل حصول التعادل بين تيارى الانتشار او التوصيل ، ويمكن التعبير عن ذلك رياضيا بجعل اي من المعادلتين (7) او (8) مساوية للصفر ، اي ان

$$q D_e \frac{dn}{dx} = - q n \mu_e E \quad \dots (10)$$

او ان

$$\frac{dn}{n} = - \frac{\mu_e}{D_e} E dx \quad \dots (11)$$

لدينا من معادلة انشتاين في الانتشار

$$\frac{D_e}{\mu_e} = \frac{D_h}{\mu_h} = \frac{KT}{q} \quad \dots (12)$$

وعند التعويض عن قيمة  $\frac{D_e}{\mu_e}$  من المعادلة (12) في المعادلة (11) نحصل على

$$\frac{dn}{n} = - \frac{q}{KT} E dx \quad \dots (13)$$

ويأخذ التكامل عبر الوصلة (الملتقى PN) اي على فرض ان عرض منطقة الاستنزاف  $x_2 - x_1$  - انظر الشكل (5) - وكذلك من  $n_p$  الى  $n_n$  . حيث يمثل  $n_n$  عدد الالكترونات على حافة منطقة الاستنزاف في الجانب N من الوصلة و  $n_p$  عدد الالكترونات على حافة منطقة الاستنزاف في الجانب P من الوصلة . اي ان

$$\int_{n_p}^{n_n} \frac{dn}{n} = \frac{q}{KT} \int_{x_1}^{x_2} (- E) dx \quad \dots (14)$$

لدينا ان  $v = - \int E dx$  وعليه فان المعادلة (14) تصبح بعد اجراء التكامل بالصيغة

$$n_n = n_p e^{V_B/(KT/q)} \quad \dots (15)$$

هذه المعادلة تمثل العلاقة بين كثافة الالكترونات عند حافة طبقة الاستنزاف في المنطقة N وكثافتها عند حافة الطبقة في المنطقة P من وصلة الثنائي . من جهة اخرى يمثل الاسس  $V_B/(KT/q)$  نسبة قيمة حاجز الجهد الى معدل الطاقة للشحنات او بعبارة اخرى هو مقياس لمعدل قدرة هذه الشحنات لعبور هذا الحاجز الجهدى .

وباتباع نفس الخطوات اعلاه يمكن الوصول الى نفس معادلة مشابهة للمعادلة (15) بالنسبة لكثافة الفجوات اي ان

$$P_p = P_n e^{V_B/(KT/q)} \quad \dots (16)$$

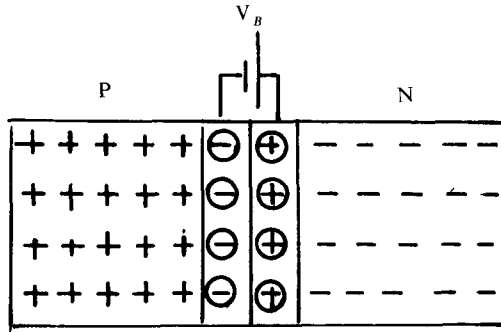
المعادلتين (15) و (16) تعرفان بمعادلتى بولتزمان Boltzman equations على أية حال عند وضع  $n_n = N_D$  و  $n_p = n_i^2 / N_A$  وتعويضهما في المعادلة نحصل على

$$V_B = \frac{KT}{q} \ln \left( \frac{N_A N_D}{n_i^2} \right) \quad \dots (17)$$

ان أهمية المعادلة (17) تكمن في حقيقة ان  $V_B$  قد تم حسابه بدلالة كثافة الذرات الثنائية التي سببت وجوده .

## 6-5 وصلة الـ pN تحت تأثير جهد انحياز خارجي :

عرفنا فيما سبق ، ان نشوء طبقة الاستنزاف عبر وصلة الـ PN يرافقه ظهور جهد حاجز  $V_B$  عند هذه الوصلة يعيق انتشار الحاملات الاكثرية ويعمل بذلك للوصول الى حالة الاتزان الحركي ليجعل من محصلة التيار المار في وصلة الـ PN ، مساوية للصفر . يبين الشكل (7) وصلة الـ PN مع الجهد الحاجز  $V_B$  والذي يكون مساويا لـ (0.7) فولت تقريبا عند درجة حرارة الغرفة ( $25^\circ\text{C}$ ) بالنسبة لشبه الموصل من السيلكون و 0.3 فولت بالنسبة لشبه الموصل من الجرمانيوم .

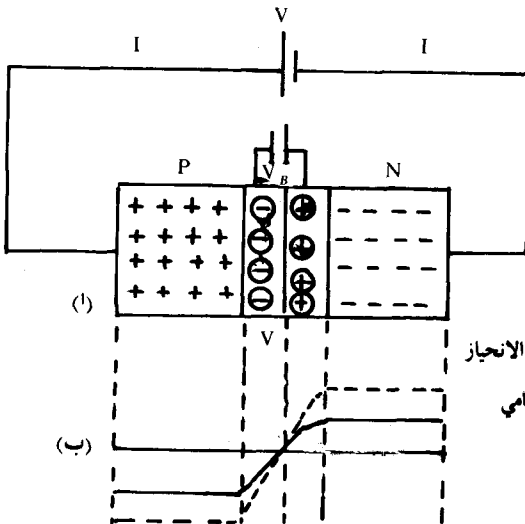


الشكل (٧) : وصلة الـ PN مع الجهد العكس  $V_B$

الآن إذا ما سلطنا جهداً خارجياً فإن هذا الجهد سوف يكون اما مشابهاً لـ  $V_B$  ويسمى عندئذ بالانحياز العكسي او مخالفاً لـ  $V_B$  ويدعى بالانحياز الامامي وستقوم هنا بدراسة تأثير هذين النوعين من الانحياز على وصلة الانحياز وسنبداً بـ .

#### 1-5-4 الانحياز الامامي لوصلة الـ PN : Forward bias

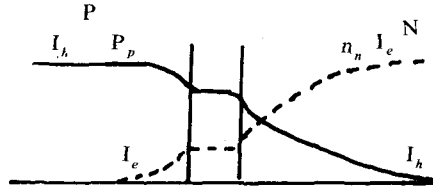
يتم الحصول على الانحياز الامامي لوصلة الـ PN بربط القطب الموجب لمصدر جهد خارجي الى شبه الموصل الموجب P والقطب السالب منه الى شبه الموصل السالب N - انظر الشكل ( 8 أ ) .



الشكل (٨) (أ) وصلة الـ PN مع وجود جهد الانحياز  
(ب) حالاز الجهد مع وجود جهد الانحياز الامامي

ان المجال الكهربائي ، الناتج عن الجهد الخارجي المسلط على الملتقى PN ، سوف يؤثر في الاتجاه المضاد لمجال حاجز الجهد وبالتالي يقل الجهد عبر الملتقى PN ، اي ينخفض ارتفاع الحاجز الجهدى - انظر الشكل ( 8 ب ) - وينمو لذلك تيار الانتشار اذ تستطيع اعداد اكبر من الحاملات الاكثرية ان تجتاز الحاجز الجهدى المنخفض اما تيار التوصيل فلن يتغير تقريبا لانه يعتمد على عدد الحاملات الاقلية التي تعبر الملتقى PN من المنطقتين P و N بفضل سرعاتها الحرارية وبالتالي فان التيار الكلي المار خلال الملتقى لا يكون مساويا للصفر .

على اية حال ، عندما تتحرك الفجوات من المنطقة P الى المنطقة N ، بسبب من التنافر بينها وبين القطب الموجب ، فانها تلتحم مع الالكترونات لتصبح هذه الاخيرة الكترولونات تكافؤية وكلما توغلت في المنطقة N كلما زاد فرص التحامها مع الالكترونات ويقل عددها تبعا لذلك ، تدريجيا . ويحدث الشيء نفسه بالنسبة للالكترونات العابرة الى المنطقة P . انظر الشكل ( 9 ) .



الشكل ( 9 ) : مركبات التيار في مرحلة الـ PN

ومن الجدير بالذكر ان تركيز الشوائب يكون مختلفا عادة في شبه الموصل الواحد ومن ثم يختلف تركيز الحاملات في المنطقتين P و N اختلافا كبيرا وبالتالي يكون الحقن بالحاملات من المنطقة ذات التركيز الاعلى/ هو الغالب . فاذا كان  $P_p > n_n$  فان الحقن بالفجوات من المنطقة P الى المنطقة N يفوق الحقن بالالكترونات في الاتجاه المضاد بكثير ، كما هو الحال في الشكل ( 9 ) ، فان الالكترونات سوف يتم سحبها من عمق المنطقة N لتسقط في الفجوات وبالتالي فان اعداد الالكترونات العابرة ستكون صغيرة وتضمحل بسرعة عند مرورها في منطقة الغنية بالفجوات .

على اية حال ، يقوم القطب السالب لمصدر الجهد الخارجي بتعويض الالكترونات الملتحمة مع الفجوات وبذلك يسري تيار في اسلاك التوصيل I . من جهة اخرى تتحول الالكترونات الساقطة في الفجوات من كونها الكترونات سائبة الى الكترونات تكافؤية وبالتالي فانها تفقد جزءاً من طاقتها .

على الرغم من ان جزءاً من هذه الطاقة المفقودة قد يتحول الى حرارة الا ان الجزء الاكبر منها سوف ينتقل الى الالكترونات التكافؤية للذرات الاخرى . وحيث ان التيار المار في الدائرة هو واحد ، لذا فانه يصبح من المعقول ان نفترض ان الالكترون التكافؤي العائد الى الذرة الاقرب الى القطب الموجب لمصدر الجهد الخارجي ، هو الذي يستلم هذه الطاقة المفقودة وبالتالي فان هذا الالكترون يصبح قادراً على الانفلات من ذرته ليتجه نحو القطب الموجب . وهكذا تتكرر العملية اعلاه طالما استمر تسليط الجهد الامامي . على اية حال ، يمكن اعادة كتابة معادلة بولتزمان (المعادلة (15) و (16) ) بالطريقة الآتية :

$$P_n = P_p e^{-qV_B/(KT)} \quad \dots (18)$$

و

$$n_p = n_n e^{-qV_B/(KT)} \quad \dots (19)$$

عند تسليط جهد انحياز  $V +$  على وصلة الـ  $pN$  فان الجهد الحاجز يصبح عندئذ مساوياً لـ  $(V_n - V)$  وتصبح كثافة الفجوات مساوية لـ

$$P_n + \Delta P_n = P_p e^{-(V_B - V)/(KT/q)} = (P_0 e^{-V_B/(KT/q)}) e^{V/(KT/q)} \quad \dots (20)$$

هذه الزيادة في عدد الفجوات  $(\Delta P_n)$  تكون بسبب ان فجوات اكثر أصبحت تمتلك الطاقة الكافية التي تمكنها من اجتياز حاجز الجهد الجديد والمختزل الى قيمة أقل . وبطبيعة الحال هذا يعود الى تسليط جهد الانحياز  $V$  . كذلك يزداد عدد الالكترونات في الجهة المقابلة من طبقة الاستنزاف بحيث ان :

$$n_p + \Delta n_p = n_n e^{-(V_B - V)/(KT/q)} = (P_p e^{-V_B/(KT/q)}) e^{V/(KT/q)} \quad \dots (21)$$



عند طرح المعادلة (18) من المعادلة (20) نحصل على مقدار الزيادة في كثافة الفجوات

$$\Delta P_n = P_p e^{-V_B/(KT/q)} (e^{V/(KT/q)} - 1) \quad \dots (22)$$

وبنفس الطريقة عند طرح المعادلة (19) من المعادلة (21) ، نحصل على مقدار الزيادة في كثافة الالكترونات

$$\Delta n_p = n_n e^{-V_B/(KT/q)} (e^{V/(KT/q)} - 1) \quad \dots (23)$$

الآن على فرض ان A تمثل مساحة الوصلة و  $v_h$  معدل سرعة الفجوات فان حاصل الضرب  $\Delta P_{qv_h}$  سوف يمثل مركبة التيار الناتج عن الفجوات المحقونة الى المنطقة N . أي أن

$$\begin{aligned} i_h &= \Delta P_p q v_h e^{-V_B/(KT/q)} (e^{V/(KT/q)} - 1) \\ &= B_h (e^{V/(KT/q)} - 1) \end{aligned} \quad \dots (24)$$

وبنفس الطريقة سوف نجد ان مركبة التيار الناتج عن الالكترونات المحقونة الى المنطقة P ، تكون مساوية لـ

$$i_e = B_n (e^{V/(KT/q)} - 1) \quad \dots (25)$$

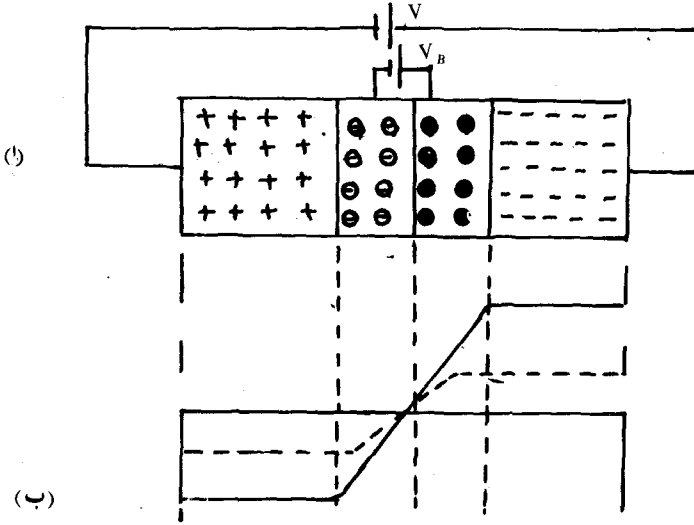
وبالتالي فان التيار الكلي يكون مساويا لـ

$$i = i_h + i_e \doteq (B_h + B_e) (e^{V/(KT/q)} - 1) \quad \dots (26)$$

## 2-6-5 الانحياز العكسي لوصلة ال-pN

لتفرض الان ان الجهد الخارجي قد تم ربطه بحيث يؤثر في نفس اتجاه الجهد الحاجز ، اي تم ربط القطب الموجب لمصدر الجهد الخارجي الى شبه الموصل السالب N والقطب السالب منه الى شبه الموصل الموجب P - انظر الشكل ( 10 أ ) . في هذه الحالة يؤثر المجال الكهربائي الناتج عن تسليط الجهد الخارجي عبر الملتقى pN في نفس

اتجاه مجال الجهد الحاجز وبالتالي فان الحاملات الاكثرية (الفجوات والالكترونات) سوف تتحرك باتجاه نهائي البلورة ( بعيدا عن الملتقى PN ) لتخلف وراءها الايونات السالبة والموجة الاضافية ولهذا السبب يزداد عرض طبقة الاستنزاف كلما ازداد الانحياز العكسي - انظر الشكل (10 أ).



الشكل (10) : وولمة ال PN مع جهد الانحياز العكسي

على الرغم من ان الجملة الاخيرة اعلاه صحيحة الا انها ليست دقيقة ذلك لانه يتوجب علينا ان نسأل : عند قيمة معينة لجهد انحياز عكسي ، الى اي حد يمكن ان يزداد عرض طبقة الاستنزاف ؟ وهل يمكن زيادة هذا الجهد العكسي الى ما لانهاية ؟ ان الاجابة عن الجزء الاول من هذا السؤال تتلخص على النحو الاتي : ان الالكترونات الهاربة سوف تخلف وراءها ايونات موجبة وتخلف الفجوات المغادرة ايونات سالبة وعليه فان الايونات الجديدة سوف تزيد من فرق الجهد على طبقة الاستنزاف وكلما زاد عرض طبقة الاستنزاف كبر فرق الجهد عبرها وتوقف نمو طبقة الاستنزاف عندما يساوي فرق جهدها الجهد الخارجي العكسي المسلط عليها . اما بالنسبة للجزء الثاني من السؤال ، فان الاجابة عنه تكون بالنفي . ذلك لان الاستمرار في زيادة الفولتية العكسية سوف يؤدي ، كما ذكرنا ، الى زيادة الجهد الحاجز مما يعمل على زيادة اعاقه مرور حاملات التيار الاكثرية من جهتي الوصلة ولكنه يعمل في نفس الوقت على دفع حاملات التيار الاقلية

من أزواج الإلكترونات والفجوات المنتجة حرارياً في داخل منطقة الاستنزاف إلى نهايتي البلورة ، الإلكترونات إلى اليمين والفجوات إلى اليسار. انظر الشكل (10 أ) - وبما أن الطاقة الحرارية تنتج أزواجاً إلكترون - فجوة ، قرب الوصلة ، باستمرار فهناك تيار صغير يسري باستمرار في الدائرة الخارجية .

يكون عدد حاملات التيار الاقلية هذه محدوداً عند درجة حرارة معينة ، لذا فإن زيادة الجهد السالب لن يؤدي إلى زيادة التيار العكسي لهذا السبب يدعى أحياناً بتيار التشبع saturation current ويرمز له بـ  $I_s$  ، ولكنه يعمل بطبيعة الحال على

تعبيل هذه الحاملات  $\left( a = \frac{e}{m} \frac{V}{d} \right)$  ومن ثم زيادة سرعتها بدرجة كبيرة .

وعلى وفق ذلك عليه فإن زيادة جهد الانحياز العكسي عن حد معين ( جهد الانكسار break down voltage ) سوف يعمل على اكتساب هذه الحاملات طاقة كبيرة يجعلها قادرة على تحرير الإلكترونات التكافؤ للذرات الأخرى عند اصطدامها بها . إن هذه الإلكترونات الأخيرة قد تمتلك قدراً من الطاقة يجعلها قادرة على تحرير الإلكترونات أخرى من الذرات الأخرى وبهذه الطريقة سوف نحصل على عدد من الإلكترونات الحرة يتضاعف عددها بسرعة كبيرة جداً مؤدياً إلى ما يسمى بالانهيار الكهربائي electrical breakdown يعمل على الإخلال بالاستقرار الحراري لوصلة الـ PN . أو بعبارة أخرى إن كمية الحرارة التي يحصل عليها ثنائي الوصلة نتيجة التسخين والتيار العكسي تصبح أكبر من كمية الحرارة المسحوبة من الملتقى ولذلك ترتفع درجة حرارة الملتقى وتقل مقاومته ويزداد التيار فيحدث تسخين زائد للثنائي ويتحطم حرارياً ولهذا السبب فإن معظم الثنائيات لا يسمح لها أن تصل إلى الانكسار أو بعبارة أخرى أن الجهد العكسي المسلط على الثنائي يجب أن يبقى أقل من جهد الانكسار .

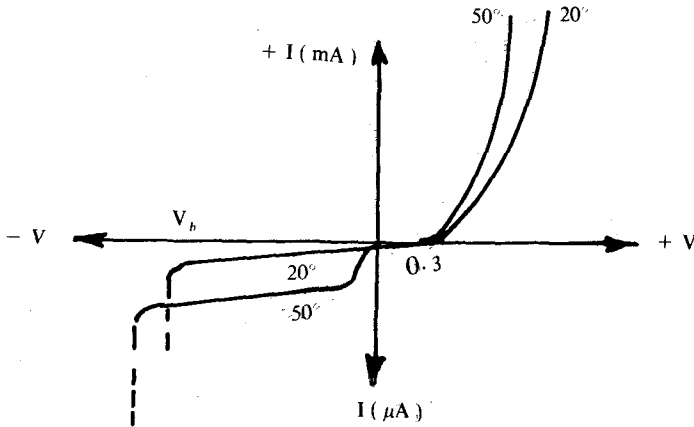
على أية حال ، عند التعويض في المعادلة (26) عن  $(V)$  بـ  $(V_B + V)$  فإن الحد  $e^{-qV/kt}$  سوف يصبح صغيراً إلى الحد الذي يمكن إهماله . أي أن

$$i = I_s = - (B_h + B_e) \quad \dots (27)$$

وبالتالي فإن معادلة الفولتية - التيار للثنائي البلوري تصبح على الشكل الآتي :

$$i = I_s (e^{-qV_p/KT} - 1) \quad \dots (28)$$

حيث يمثل  $I_s$  ، وكما ذكرنا ، تيار التشبع العكسي الناتج عن حركة أزواج الإلكترون - فجوة المنتجة حراريا - لذا فان رفع درجة حرارة الوصلة سيؤدي الى زيادة عدد أزواج حاملات التيار الاقلية المتولدة ، اي يزداد تركيز هذه الحاملات وتنمو التوصيلية وبالتالي فان خصائص الثنائيات شبه الموصلية تعتمد على درجة الحرارة كثيرا ويتضح ذلك جيدا من منحنى  $(I - V)$  للثنائي البلوري ، الشكل (11) ، المرسوم طبقا للمعادلة اعلاه والمأخوذ عند درجتى حرارة مختلفتين لثنائي بلوري من الجرمانيوم .



الشكل (11) : - منحنى  $(I - V)$  للثنائي

يلاحظ في الشكل (11) نمو التيارين الامامي والعكسي عند رفع درجة الحرارة الى ان نسبة زيادة التيار العكسي تكون اكبر . ففي الجرمانيوم يتضاعف التيار العكسي مرتين تقريبا في كل مرة ترتفع فيها درجة الحرارة بمقدار 10 م ، فعلى سبيل المثال اذا ارتفعت درجة الحرارة من 20 م الى 70 م فان  $I_s$  يتضاعف  $e^5$  اي 32 مرة ، اما في السيليكون فان الطاقة الحرارية تنتج الحاملات الاقلية باعداد أقل مما تنتج في ثنائيات الجرمانيوم او بعبارة اخرى . ان  $I_s$  في السيليكون يقل بكثير عنه في ثنائي الجرمانيوم . هذه الميزة العظيمة للسيليكون هي أحد الاسباب التي جعلته يسود في مجال شبه الموصل .

من جهة اخرى يلاحظ في الشكل (11) ، ان التيار الامامي لا ينمو عند رفع درجة الحرارة بنفس القوة التي ينمو بها التيار العكسي والسبب في ذلك هو ان التيار الامامي يعتمد أساسا على تركيز الشوائب ( الواهة والقابلة ) ولا علاقة له بدرجة الحرارة ، الا ان رفع درجة الحرارة يزيد وكما ذكرنا ، من تيار التشبع  $I_s$  وبالتالي فان ارتفاع الجهد الحاجز يجب ان يقل ليسمح عندئذ للحاملات الاكثرية بالانتشار للوصول الى حالة الاتزان الحركي على فرض ان الجهد الخارجي المسلط يساوي صفراً ، وبالتالي فانه يمكن القول ان انخفاض الجهد الحاجز مع ارتفاع درجة الحرارة هو السبب المباشر وراء زيادة التيار الامامي .

ومن الجدير بالملاحظة في الشكل (11) ان التيار الامامي لا يبدأ بالسريان الا عند جهد معين يدعى بجهد العتبة threshold voltage او جهد القطع ويكون مساويا لـ 0.2 الى 0.3 فولت في الجرمانيوم وفي حدود 0.5 الى 0.7 فولت في السيلكون . ان هذا الفرق بين جهدي القطع ( 0.4 فولت ) يعود سببه الى تيار التشبع العكسي . ففي الجرمانيوم يكون هذا التيار اكبر مما هو عليه في السيلكون بحوالي الف مرة . فبينما تقدر قيمته في الجرمانيوم بالميكروأمبير  $(1 \mu A = 10^{-6} A)$  نجد ان قيمته في السيلكون تكون بالنانوامبير  $(1 nA = 10^{-9} A)$  .

كذلك يلاحظ في الشكل (11) ، ان فولتية الانكسار تبدأ عند قيمة أعلى عند ارتفاع درجة الحرارة . لماذا ؟ .

مثال :

اذا كان تيار الاشباع  $I_s$  يتغير من  $10^{-14}$  الى  $10^{-9}$  عند تغير درجة الحرارة من  $20^\circ$  الى  $125^\circ$  م . فأحسب  $V_B$  في كلا الحالتين على فرض ان التيار الامامي يبقى ثابتا عند القيمة  $(I_{mA})$  .  
لدينا من المعادلة ان

$$I = I_s (e^{-qV_B/KT} - 1)$$

او ان

$$\frac{I}{I_s} = e^{-qV_B/KT} - 1$$

او ان

$$\ln \left( \frac{I}{I_s} \right) = - \frac{q V_B}{KT}$$

وحيث ان  $T = 20 + 273 = 293^\circ K$  لذا فان :

$$\frac{KT}{q} = 25 \text{ mV}$$

وبالتالي فان

$$V_B = 25 \log \left( \frac{I}{I_s} \right) = 25 \ln \left( \frac{10^{-3}}{10^{-14}} \right) = 633 \text{ mv} \dots$$

عند  $T = 273 + 125 = 388^\circ K$  تصبح قيمة  $\frac{KT}{q}$  مساوية لـ 34 ملي فولت وبالتالي فان

$$V_B = 34 \ln \left( \frac{10^{-3}}{10^{-9}} \right) = 460 \text{ mv}$$

وعليه فان  $V_B$  يقل مع زيادة درجة الحرارة على الرغم من ثبات التيار الامامي ( ثبوت جهد الانحياز الامامي ) .

## 5-7 لدائرة المكافئة للثنائي البلوري :

بعد ان تعرفنا على استجابة الثنائي البلوري وسلوكه عند وقوعه تحت تأثير جهد مستمر سنقوم هنا باستبدال هذا الثنائي « بـ نموذج model » يتصرف كهربائيا بنفس الطريقة التي يتصرف معها الثنائي وبالتالي فان هذا الانموذج او الدائرة المكافئة للثنائي يصبح اداة مفيدة يستخدم لتحليل وتصميم دوائر الثنائيات .

من البديهي ان الحصول على النموذج المناسب للثنائي البلوري يفترض ان يكون من خلال منحى الخواص  $(I - V)$  للثنائي ، ويتم الحصول عليه على النحو الآتي : يتم تقرب المنحى بين الفولتية صفرو 0.35 فولت - مثلا - بخط مستقيم ، انظر الخط المنقطع OA في الشكل ( 12 ) . وحيث ان العلاقة بين الفولتية والتيار تكون خطية ايضا

في المقاومة ، لذا فانه يصبح بالامكان اعتبار الثنائي ( على الاقل في المدى 0 - 0.35 فولت ) مقاومة تكون قيمتها ، تبعا للشكل ( ١٢ ) ، مساوية لـ  $\frac{0.28}{0.006} = 47$  أوم .

وعلى هذا الاساس فان الخط المتقطع OA يعرف بالمقاومة الامامية المستمرة للثنائي ويرمز لها بـ  $r_F$  .  
d.c forward resistance

على اية حال ، تمثل  $r_F$  مقاومة الثنائي عند نقطة واحدة هي ( 0.28V , 0.006A ) ومن ثم فان قيمة هذه المقاومة سوف تختلف من نقطة على المنحنى ، الى اخرى . وعلى الرغم

من اهمية هذه المقاومة  $r_F$  الا ان المقاومة من نوع  $\frac{\Delta v}{\Delta i}$  ستكون اكثر اهمية لانها تمثل مقاومة الاشارة الصغيرة التي تربط بين التيار المتناوب والفولتية المتناوبة . فاذا كان  $i_a$  يمثل القيمة الانية لتيار الانود و  $v_a$  تمثل القيمة الانية لفولتية الانود فان :

$$r_f = \frac{\Delta v_a}{\Delta i_a} \quad \dots (29)$$

او بصورة ادق

$$r_f = \frac{d v_a}{d i_a} \quad \dots (30)$$

حيث تعرف  $r_f$  بمقاومة الثنائي الامامية الحركية dynamic forward resistance فاذا كانت  $v_a$  تتغير حول القيمة 0.28 فولت فان المقاومة الحركية سوف تكون مساوية

$$\left( r_f = \frac{0.1}{0.01} = 10\Omega \right) \quad \text{اي ان في الشكل ( ١٢ ) ، اي ان لانحدار الخط CD}$$

على الرغم من ان التقريب اعلاه يعد جيدا وكذلك قيمة  $r_f$  المحسوبة طبقاً لذلك ، الا انه بالامكان حساب  $r_f$  من استخدام معادلة الثنائي :

$$i = I_s ( e^{qV/kT} - 1 ) \quad \dots (28)$$

وذلك باخذ التفاضل لهذه المعادلة بالنسبة لـ  $V$  او بصيغة رياضية

$$\frac{dI}{dV} \approx \left( \frac{q}{KT} \right) i = \frac{1}{r_f} \quad \dots (32)$$

لذا فان

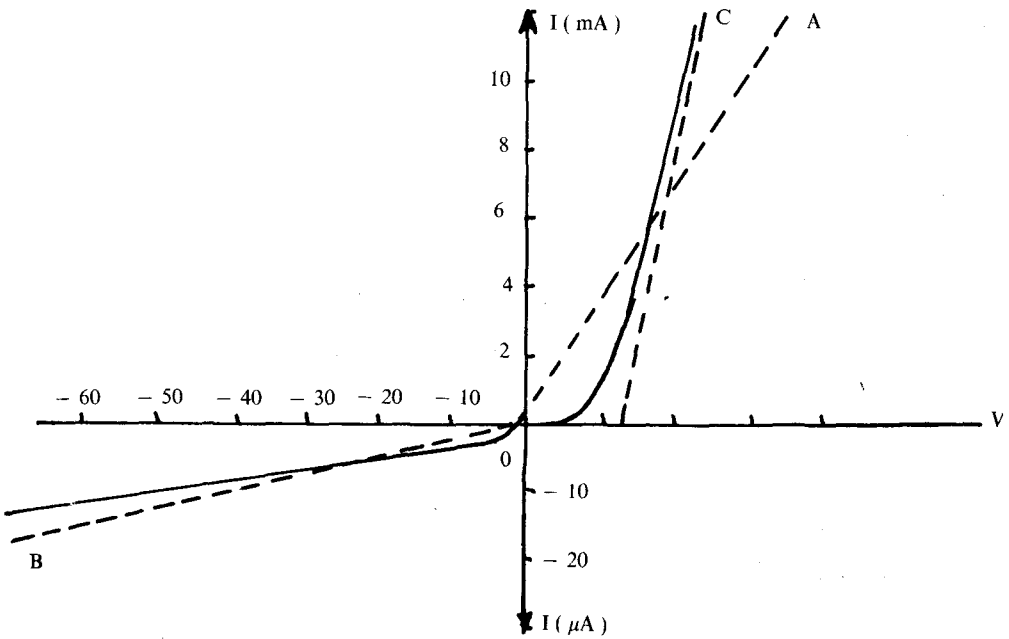
$$r_f = \frac{KT}{qi} = \frac{0.026}{\tau} \quad \dots (33)$$

اوان

$$r_f = \frac{26}{i \text{ (mA)}} \quad \dots (34)$$

وعليه فان  $r_f$  سوف تكون في حالة كون  $i = 6 \text{ mA}$  - انظر الشكل (12) ، مساوية لـ

$$4.33 = \frac{26}{6} \text{ اوم}$$



الشكل (١٢) :- حساب  $r_f$  العملية من منحنى الخواص



ان الاختلاف بين قيمتي  $r_f$  في كلا الحالتين يعود بطبيعة الحال الى القيمة الاولى (10) اوم تمثل القيمة العملية لمقاومة الثنائي المحسوبة بتقريب جيد اما القيمة الثانية (4.33) اوم فتمثل القيمة النظرية المحسوبة طبقا للمعادلة (28) . هذا وعلى الرغم من ان القيمة الثانية هي التي يفترض فيها ان تكون القيمة الفعلية الا ان القياسات العملية تشير الى ان القيمة الاولى هي القيمة الفعلية لمقاومة الثنائي ، وعليه فان مقاومة الثنائي تكون من المقاومة النظرية  $r_f$  ومقاومة اخرى  $(R_s)$  مربوطة معها على التوالي - انظر

الشكل (13) - بحيث تكون قيمة  $R_s$  مساوية لـ  $5.67 \Omega = 10 - 4.33$



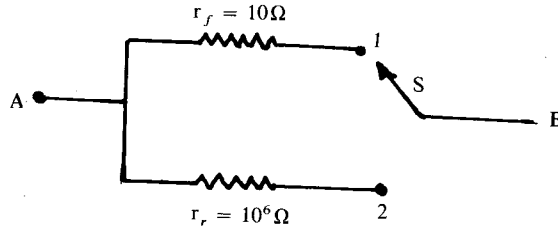
الشكل (١٣)

على ضوء مما تقدم يمكن اعتبار الشكل (13) الدائرة المكافئة للثنائي البلوري في حالة كونه منحازا اماميا . يمكن ايجاد الدائرة المكافئة له في حالة انحيازه عكسياً ، بنفس الطريقة اعلاه حيث يتم تقرب منحنى الانحياز العكسي في الشكل (12) - بالخط OB ثم ايجاد المقاومة العكسية  $r_r$  للثنائي من حساب انحدار هذا الخط OB . اي ان

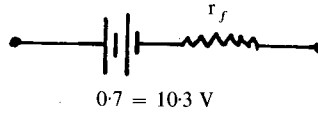
$$\left( r_r = \frac{V_a}{I_a} = \frac{-10}{10^{-6}} = 1M\Omega \right)$$

البلوري في كلا الاتجاهين سوف تكون كما في الشكل (14)

وعلى الرغم من ان الدائرة في الشكل (14) تعد تقريبا جيدا للدائرة المكافئة للثنائي البلوري الا انه يجب ان لا ننسى ان التيار لا يبدأ بالسريان . انظر الشكل (11) - في حالة الانحياز الامامي الا عندما تكون فولتية المصدر الخارجي مساوية 0.7 فولت في حالة السيلكون او 0.3 فولت في حالة الجرمانيوم وبالتالي فان الدائرة المكافئة التي تكشف عن السلوك الكهربائي للثنائي البلوري . تكون كما في الشكل (15)



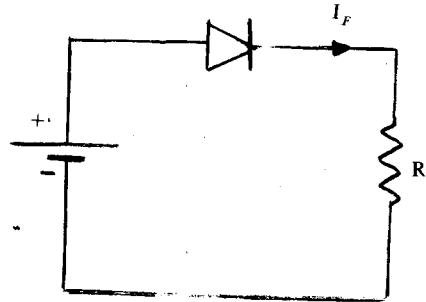
الشكل (١٤) الدائرة المكافئة للثنائي في حالة انجياز الامامي  
( $r_f$ ) والانجياز الخلفي ( $r_r$ )



الشكل (١٥) الدائرة المكافئة للثنائي المنحاز اماميا

### 5-8 تحليل دائرة الثنائي : خط الحمل Load-Line

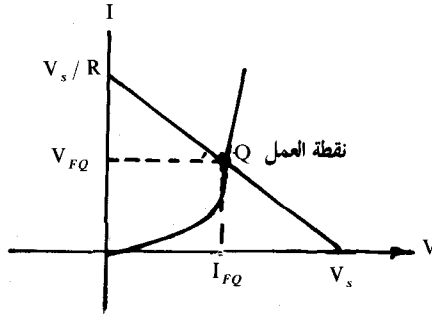
يبين الشكل (16) دائرة بسيطة واساسية من دوائر الثنائي وتتكون من مصدر الفولتية الخارجي  $V_s$  والمقاومة  $R$  المربوطة على التوالي مع الثنائي والمطلوب الان هو تحديد قيمة التيار المار في المقاومة  $R$  او بعبارة اخرى التعرف على طبيعة ومقدار الفولتية الخارجة .



الشكل (١٦) : دائرة الثنائي المنحاز اماميا

على الرغم من ان هناك طرقا عديدة لمعرفة ذلك الا اننا ستقتصر اهتمامنا هنا على طريقة خط للحمل Load line نظرا لما لهذه الطريقة من اهمية خاصة في التعريف بعدد من النقاط المهمة ذات العلاقة بالثنائي وكذلك لانها تستعمل ايضا كأداة تحليل بالنسبة لاجهزة متعددة اخرى ، كالترانزستور مثلا .

من الواضح في هذه الدائرة ، ان الثنائي منحاز امامياً حيث تم ربط الانود من الثنائي الى القطب الموجب لمصدر الجهد وعليه فانه من المتوقع ان التيار الساري في الدائرة ( $I_F$ ) سيكون من نوع تيار امامي - انظر الشكل (17) وبالتالي فار المطلوب يصبح ايجاد قيمة هذا التيار  $I_F$  وكذلك مقدار الهبوط في الجهد عبر الثنائي  $V_F$  .



الشكل (17) خط الحمل للثنائي البلوري

على اية حال ، لدينا في الدائرة - الشكل (16) - ان

$$V_S = V_F + V_L \quad \dots (35)$$

وعلى فرض ان التيار المار في الدائرة هو  $I_F$  لذا فان

$$V_S = V_F + I_F R \quad \dots (36)$$

أو- ان

$$V_F = V_S - I_F R \quad \dots (37)$$

تمثل المعادلة (37) معادلة خط مستقيم وترتبط بين  $V_F$  و  $I_F$  انظر الشكل (17) لقيم معينة من  $V_s$  و  $R$  ويسمى هذا الخط بخط الحمل Load line ويتم رسمه على النحو الاتي : يتم تعيين النقطة الاولى من هذا الخط ، على المحور الصادي حيث ان  $V_F$  صفراً ومن المعادلة (35) ، فان

$$I_{F(\max)} = \frac{V_s}{R} \quad \dots (38)$$

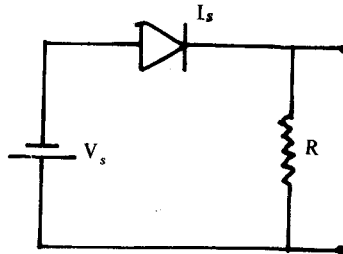
وهكذا تتحدد النقطة الاولى بـ  $\left(0, \frac{V_s}{R}\right)$

يتم تحديد النقطة الثانية على المحور السيني حيث ان  $I_F$  صفراً وبذلك فان

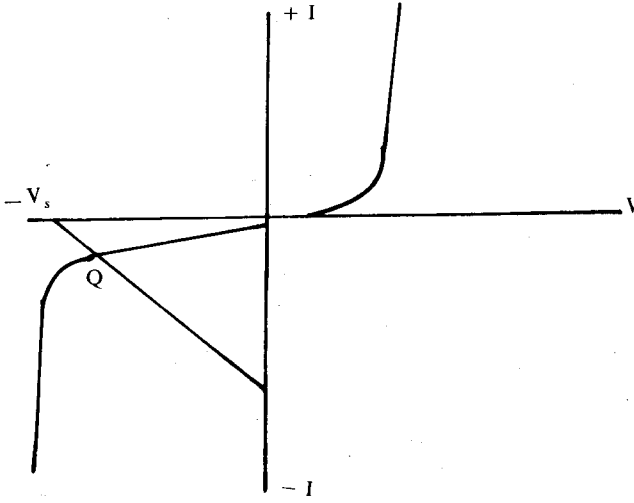
$$V_{F(\max)} = V_s \quad \dots (39)$$

وان النقطة الثانية تكون  $(V_s, 0)$

اخيراً يتم رسم خط مستقيم بين هاتين النقطتين - انظر الشكل (17) - ويدعى هذا الخط عندئذ بخط الحمل لدائرة الثنائي وتسمى نقطة تقاطع خط الحمل مع المنحنى  $(I - V)$  للثنائي بنقطة تشغيل الثنائي operating point ويرمز لها بـ  $Q$  وهي تمثل قيمة التيار  $I_{FQ}$  في دائرة الثنائي ومقدار الهبوط في الجهد  $V_{FQ}$  عبر هذا الثنائي .



الشكل (١٨) دائرة الثنائي المنحاز عكسياً



الشكل (١٩) : منحني الخواص مع خط الحمل الثنائي المتناهي المنحاز عكسياً (الدائرة ١٨)

ومن الجدير بالذكر انه يمكن استخدام نفس الطريقة اعلاه لتحديد نقطة عمل الثنائي البلوري المنحاز عكسياً في الدائرة المبينة في الشكل (١٨) . اما الشكل (١٩) فيمثل خط الحمل لهذه الدائرة ويلاحظ عليه نقطة العمل Q الخاصة بهذا الثنائي

#### 9 - 4 ثنائي زينر Zener Diode

رأينا فيما سبق ان زيادة الجهد العكسي على الثنائي البلوري عن حد معين ( جهد الانكسار) يؤدي بالتالي الى حدوث الانهيار الكهربائي نتيجة لحصول الحاملات الاقلية على الطاقة الكامنة التي تمكنها من اطلاق الكترونات تكافؤية اخرى . ان هذه الالكترونات المتحررة حديثا يمكنها ان تكتسب ايضا ، سرع عالية وبذلك تطلق الكترونات تكافؤية اخرى . وبهذه الطريقة نحصل على الانهيار الكهربائي ويحصل الانهيار عادة عند جهد اكبر من 5 فولت

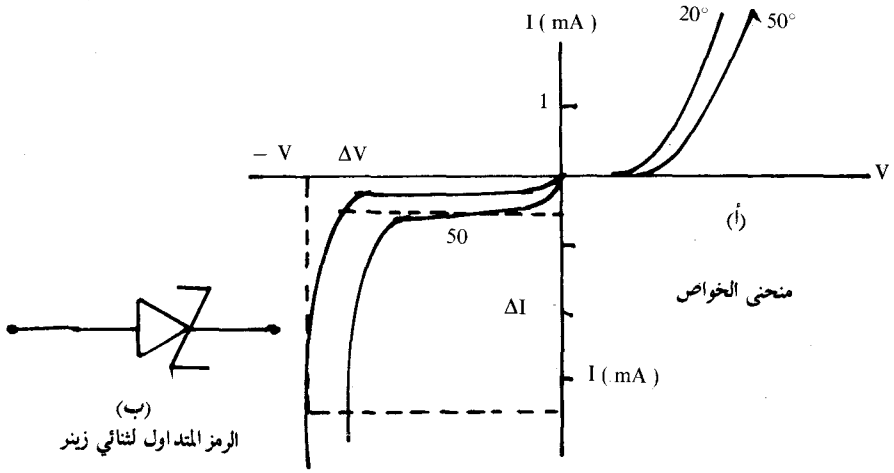
فضلا عن الانهيار اعلاه يوجد انهيار من نوع اخر يدعى بانهيار زينر - Zener breake down . يحدث انهيار زينر في الثنائيات التي تحتوي على تركيز عال من الشوائب

بحيث تصبح طبقة الاستنزاف ( depletion layer ) رقيقة جدا الامر الذي يجعل من شدة المجال الكهربائي بسبب من الجهد العكسي عبر هذه المنطقة ، في حدود 300000 فولت / سم ) . ان وجود مثل هذا المجال ويمثل هذه الشدة يجعله قادرا على سحب الالكترونات التكافؤ من مداراتها وتحريرها خالقا بذلك ما يدعى بانهياريون - لاحظ الشكل (٢٠أ) .

من الناحية العملية تطلق تسمية ثنائي زينر على الثنائيات التي تعمل بمنطقة الانهيار بغض النظر عن كون الانهيار من نوع زينر او من النوع الاخر وذلك تكريما واعترافاً بالشخص الذي كان اول من شرح هذه الظاهرة ويرمز له عادة بالشكل ( 20 أ ) . يسمى الجهد الذي يقابل نصف اعلى تيار ان يتحملة الثنائي بجهد زينر  $V_z$  وتتراوح قيمة  $V_z$  من 2 الى 200 فولت تبعا لشدة تركيز الشوائب في المواد شبه الموصلة التي صنع منها الثنائي ويقبل جهد زينر بزيادة تركيز الشوائب وبعد  $V_z$  من الارقام المهمة التي يجب معرفتها كذلك يجب معرفة مقدار القدرة التي يستطيع الثنائي تحملها ، والتي تتراوح قيمتها ما بين 200 ملي وات الى 50 وات ، وعليه يمكن حساب اعلى تيار يمكن ان يتحمل الثنائي من .

$$I_{\max} = \frac{P_{\max}}{V_z} \quad \dots (40)$$

على اية حال ، يلاحظ ان منحنى الخواص ( I - V ) لثنائي زينر لا يختلف كثيرا عن منحنى الخواص للثنائي البلوري في منطقة الانحياز الامامي وكذلك هو الحال بالنسبة للانحياز العكسي الا ان انهيار زينر يحدث عادة عند جهد انكسار اقل . كذلك ان انهيار زينر يظهر عند جهد اقل عند ارتفاع درجة الحرارة - انظر الشكل (٢٠أ) . ويمكن تفسير ذلك على النحو الاتي : ان زيادة درجة الحرارة يؤدي الى زيادة طاقة الالكترونات التكافؤية وهذا بدوره يؤدي الى اضعاف او اصر ربط الالكترونات بذراتها الام و ينتج عن ذلك ان جهدا اقل يكفي لفك ارتباط الالكترون بذرته الام . من جهة اخرى فان زيادة جهد الانهيار التضاعفي مع زيادة درجة الحرارة يكون بسبب ان منطقة الاستنزاف تكون عريضة وان هذا الاتساع في هذه الطبقة سوف يسمح للالكترونات بعمل الكثير من التصادمات مع الذرات التي يزداد اهتزازها مع مواقعها الشبكية بسبب من زيادة درجة الحرارة ، وبذلك فان قصر المسافة المقطوعة قبل التصادم وكثرة التصادمات سوف لا تسمح بانتقال الطاقة الى الالكترونات الاخرى وبذلك لا تحدث المضاعفة الضرورية لحدوث الانهيار التضاعفي وبالتالي فان الالكترون يحتاج الى جهد اعلى ( طاقة اكبر ) لحدوث الانهيار في درجة الحرارة الاعلى .



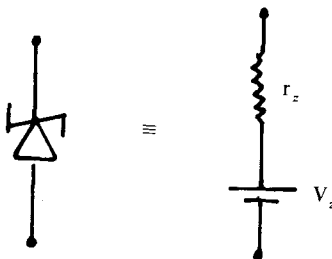
الشكل (٢٠) : - ثنائي زينر مع منحنى الخواص

من الجدير بالملاحظة ان الانكسار في ثنائي زينر يكون له انحناء حاد جدا تعقبه زيادة عمودية تقريبا بالتيار، او بعبارة اخرى ان اي زيادة في الجهد ( $\Delta V$ ) - في منطقة الانهيار - سوف يقابلها زيادة كبيرة في التيار ( $\Delta I$ ) الشكل (20 أ). اي ان الممانعة التي يبديها ثنائي زينر تكون صغيرة ويمكن حسابها من

$$r_z = \frac{\Delta V}{\Delta I}$$

وتكون عادة في حدود 20 الى 50 اوم

بقي ان نذكر اخيرا ، وعلى ضوء مما تقدم ، ان الدائرة المكافئة لثنائي زينر عندما يعمل في منطقة الانهيار تتكون من مصدر جهد  $V_z$  مربوط على التوالي مع المقاومة انظر الشكل (21).



الشكل (٢١) : - الدائرة المكافئة لثنائي زينر

١٣م فيزياء الالكترونات

## 10 - 5 الثنائي النفقي The Tunnel Diode

يعدّ الثنائي النفقي من اجهزة اشباه الموصلات الحديثة نوعاً ما وقد اخترعه عام 1958 الدكتور لوايزالحي Leo Esaki ولهذا يدعى في بعض الاحيان بثنائي

ايزاكي Esaki diode .

خلافاً لما عليه الحال في الثنائي البلوري او ثنائي زينر فان عملية سريان التيار في هذا الثنائي تكون خاضعة كلية الميكانيك الكم او بالاحرى الى ظاهرة التنفيق tunneling effect التي تحدث بالصورة الاتية : -

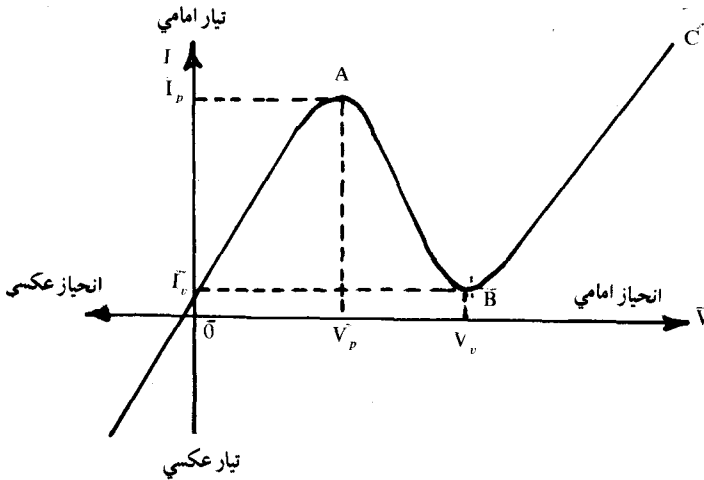
رأينا فيما سبق ان زيادة تركيز الشوائب في وصلة الثنائي يؤدي الى تقليل سمك منطقة الاستنزاف وكذلك الى زيادة المجال الكهربائي ( على الرغم من الانخفاض الحاصل في قيمة حاجز الجهد ) . والحقيقة ان سمك طبقة الاستنزاف يتناسب عكسياً مع الجذر التربيعي لتركيز الشوائب في ثنائي الوصلة . واذا ما زاد تركيز الشوائب عن  $10^{18}$  ذرة شائبة في  $\text{سم}^3$  كما هو في الثنائي البلوري وكذلك عن  $10^{18}$  ذرة لكل  $\text{سم}^3$  كما في ثنائي زينر ، الى الحد  $10^{19}$  ذرة لكل  $\text{سم}^3$  فان سمك طبقة الاستنزاف قد يصل الى اقل من 0.01 ميكرون ( مقارنة مع 5 ميكرون في الثنائي البلوري ) ويصل المجال الكهربائي عبر هذه الطبقة الى اكثر من 900 kv/cm ( مقارنة مع 300kv/cm في ثنائي زينر ) . تحت هذه الظروف وبسبب من الطبيعة الموجبة للالكترونون ( يعامل الالكترونون على ضوء النظرية الكمية على اساس انه جسيم وموجه ، وعلى اساس من معادلة شرودينجر Schrodinger equation فقد يحتمل ان ( يحفر ) الالكترونون وينفذ من تحت حاجز الجهد . اي يحفر نفقاً tunnel ويمر من تحت الحاجز من منطقة N الى المنطقة P . هذا التنفيق tunneling يحدث على الرغم من عدم امتلاك الالكترونات الطاقة الكافية لعبور تل الجهد والذي يستحيل حدوثه حسب النظرية الكلاسيكية مما يشير الى ان عملية الاختراق هذه هي عملية خاضعة تماماً لميكانيك الكم وتعتمد على حقيقة ان الموجة في ميكانيك الكم لها القدرة على اختراق حاجز الجهد من خلال استخدام الطاقة المرافقة في عملية الاختراق هذه وان تيار التنفيق يكون محسوساً اذا كانت طبقة الاستنزاف رقيقة جداً .

يمثل الشكل (22) منحنيًا (I - V) للثنائي النفقي ويمكن ملاحظة ما يأتي عليه : -



أ- حدوث انهيار زينر ( المنطقة OZ ) مع فولتية انحياز عكسية قد لا تتجاوز اكثر من 0.1V او حتى من دون وجود هذه الفولتية العكسية وذلك بسبب من وجود المجال الكهربائي العالي عبر طبقة الاستنزاف .

ب- امتداد تأثير زينر - المنطقة OA مع الانحياز الامامي الا ان 0.1V او 0.2V مع هذا الانحياز قد تكون كافية بسبب تأثير زينر حيث يبدأ التيار بعد هذا الانحياز الامامي بالنقصان - بعد الفولتية  $V_p$  او المنطقة AB وهنا تظهر أهمية هذا الثنائي فيبينما يزداد فرق الجهد المسلط من  $V_p$  الى  $V_v$  - انظر الشكل (٢٢) - يقل التيار من  $I_p$  الى  $I_v$  وهذا يعني انحدارا سالباً وبذلك تكون المقاومة الحركية سالبة . ومن هنا يمكن استخدام هذا الثنائي في المنطقة التي يعمل فيها كمقاومة سالبة ( $-R$ ) لمعادلة قيمة مقاومة موجبة موجودة في موقع حساس من دائرة الكترونية لتكون حصيلة المقاومتين صفراً وبذلك يصبح هذا الجزء من الدائرة غير مستهلك للقدرة اي ان استهلاك القدرة فيه يكون صفراً .



الشكل (٢٢) : - منحنى الخواص للثنائي النفقي

فضلا عن ذلك وسبب من انتقال الشحنات في هذا الثنائي ، بطريقة موجية مما يعني انتقالها بسرعه عالية جدا. فانه يستعمل كمفتاح سريع جدا في الدوائر المنطقية وكذلك كمذبذب لتوليد الموجات ذات الترددات العالية جدا كالموجات الدقيقة

ج- يبدأ التيار بعد  $V_p$  بالارتفاع مع زيادة الفولتية - المنطقة BC - حيث يدخل  
النثائي في منطقة الانحياز الامامي المنتظمة حاله حال النثائيات الاخرى .

بقي ان نذكر اخيرا انه على الرغم من بساطة تصنيع النثائي النفقي وقله الضوضاء  
المرافقة له وكذلك استهلاكه القليل للقدرة والسرعة العالية في الفتح والغلق الا انه  
يبقى يعاني من بعض المساويء منها :

- أ - محدوية مدى الفولتية التي يعمل معها كمقاومة سالبة  
ب - انخفاض في الكفاءة حيث تمثل الكفاءة هنا النسبة بين  $I_p$  الى  $I_v$

## اسئلة ومسائل

- (1) لماذا لاتعد المادة شبه الموصلة من نوع N او نوع P ذات فائدة عملية ؟
- (2) اشرح بالتفصيل كيفية نشوء طبقة الاستنزاف في وصلة الـ pn
- (3) ما سبب تركيز مقاومة وصلة الـ pn في منطقة الاستنزاف ؟
- (4) ما المقصود بالوصلة الفجائية ؟ وضح ما تقول
- (5) اشرح بالتفصيل ما المقصود بحاجز الجهد ؟ بين كيف يتم حدوثه
- (6) ما المقصود بتيار الانتشار ؟ وكيف يتم حدوثه ؟
- (7) في الشكل (٦ أ) اشرح سبب ظهور حزمة P اعلى قليلاً من حزمة n ؟
- (8) اشتق المعادلة (١) ثم بين معناها
- (9) وضح ما دور الفجوات في شبه الموصل .
- (10) ما مقدار التيار المار في وصلة الـ pn في حالة التوازن الحراري ؟ وضح ذلك
- (11) هل يعتمد عدد حاملات الشحنات الاقلية على درجة الحرارة ؟ وكيف ؟
- (12) برهن على صحة معادلة انشتاين - المعادلة (11) - ثم بين معناها .
- (13) اشتق المعادلة (17) ثم بين معنى كل رمز فيها
- (14) اشرح كيف ينشأ تيار التوصيل في كل من شبه الموصل النقي والشائب . ايهما اكبر ؟
- (15) ما علاقة تيار التوصيل بتيار الانتشار في شبه الموصل الثابت في حالة
- (16) أ- التوازن الحراري ب- عند تسليط جهد انحياز امامي ج- جهد انحياز عكسي ما تأثير كل من الانحياز الامامي والعكسي على ارتفاع حاجز الجهد ؟ وضح ذلك مع الرسم .
- (17) لماذا لا يتغير تيار التوصيل عند تسليط جهد انحياز امامي على وصلة الـ pn
- (18) اشرح الكيفية التي يسري فيها التيار في دائرة ثنائي شبه موصل عند تسليط جهد انحياز امامي
- (19) ما التيار العكسي ؟ هل يؤدي زيادة الجهد السالب على وصلة الـ pn الى زيادته ؟ وضح بالتفصيل
- (20) ارسم منحني ( 1 - ٧ ) موضحاً عليه كل النقاط المهمة
- (21) اشرح بالتفصيل تأثير درجة الحرارة على عمل وصلة الـ pn
- (22) اشتق المعادلة (34) ثم بين معناها .

- (23) في الشكل (13) لماذا اختيرت  $r_p$  بدلا من  $r_p$  ؟ ولماذا اضيفت  $R_p$  ؟
- (24) في الشكل (15) لماذا اضيف مصدر الجهد المستمر؟ وضح ذلك
- (25) ما المقصود بخط الحمل وكيف يتم تعيينه ؟ اذكر فائده
- (26) ما المقصود بنقطة التشغيل ؟ وكيف يتم تعيينها
- (27) اشرح بالتفصيل كيف يحدث انهيار زينررقارن بينه وبين الانهيار الكهربائي
- (28) ما تأثير ارتفاع درجة الحرارة على قيمة  $V_z$  ؟ اشرح بالتفصيل
- (29) ما تأثير زيادة التطعيم على قيمة  $V_z$  ؟ اشرح بالتفصيل
- (30) اشرح بالتفصيل كيف يسري التيار في الثنائي النفقي
- (31) لماذا يستخدم الثنائي النفقي في توليد الذبذبات ذات الترددات العالية جدا ؟
- (32) اشرح الكيفية التي يسري فيها التيار في الثنائي النفقي مع زيادة الفولتية .
- (33) اذا كان ثابت التناسب (A) في المعادلة هي  $5 \times 10^{21}$  فما قيمة  $n_i$  لكل من السيلكون والجرمانيوم عند درجة حرارة  $300^\circ K$

(34) تم اضافة شوائب من ذرات انثيمون بنسبة ذرة واحدة انثيمون الى مليون ذرة جرمانيوم . احسب كثافة الالكترونات الحرة الموجودة في شبه الموصل بعد الاضافة كذلك احسب كثافة الفجوات عند الاستقرار قبل وبعد اضافة هذه الشوائب .

(35) احسب قيمة التوصيلية  $\sigma_{Ge}$  لقطعة شبه موصل من Ge . عندما تكون نسبة الذرات الواهبة ذرة واحدة الى  $10^7$  ذرة جرمانيوم

(36) يتم اضافة شوائب من ذرات البورون بنسبة ذرة بورون لكل  $10^6$  ذرة جرمانيوم احسب كثافة الالكترونات الحرة الموجودة في شبه الموصل بعد الاضافة ثم احسب كثافة الفراغات كذلك احسب التوصيلية .

(37) اذا كان  $I_s = 10^{-14} A$  عند  $25^\circ C$  ,  $10^{-9} A$  عند درجة حرارة  $125^\circ C$  . احسب قيمة الجهد عبر الثنائي عند درجة الحرارة  $25^\circ C$  و  $125^\circ C$  علما بان قيمة التيار المار في كلا الحالتين هو  $1mA$

(38) اذا كانت مقاومة النحاس عند درجة حرارة  $20^\circ C$  هي  $1.7 \times 10^{-8} \Omega - m$  جد معدل سرعة الانجراف في سلك النحاس اذا كانت مساحة مقطعه العرضي هي  $10^{-6} m^2$  ويحمل تيارا قدره (4A) (الوزن الذري للنحاس 63.3 وكثافته هي  $8.9 gm/cm^3$ )

(39) احسب المقاومة الذاتية لكل من السيلكون والجرمانيوم عند درجة حرارة الغرفة ماذا يحدث لهذه المقاومة لو اضيف الى كل منهما شوائب من الانثيمون بنسبة

- ذرة شبه موصل  $10^6 : 1$
- (40) اذا كان التيار المار في دائرة ثنائي بلوري من الجرمانيوم عند درجة حرارة الغرفة وفولتية 1V هو  $100 \mu A$  . احسب قيمة التيار عند الفولتيات  $-0.2$  و  $+0.2$  عند نفس درجة الحرارة وعند درجة حرارة  $40^\circ$  .
- (41) اذا كان تيار التشبع العكسي في دائرة ثنائي بلوري هو  $(2 \mu A)$  عند الفولتية  $(-1V)$  فما الفولتية الامامية اللازمة لاحداث تيار قدرة 100 mA علما بان مقاومة الثنائي هي  $15 \Omega$
- (42) في وصلة الـ pN من الجرمانيوم تنخفض كثافة الفراغات من  $10^{21} m^{-3}$  الى  $0.9 \times 10^{21} m^{-3}$  عبر مسافة قدرها  $2 \mu m$  . احسب تيار الانتشار العائد الى الفجوات في الوصلة عند درجة حرارة الغرفة .
- (43) اذا كانت المقاومة  $R = \rho \frac{l}{A}$  . اشتق علامة للمقاومية بدلالة كثافة الحاملات والحركية والشحنة .

# الفصل السادس

## استعمالات الثنائيات البلورية

### Diode Applications

#### 1-6 المقدمة :-

رأينا ( كما مر ) ، ان الثنائي البلوري لا يختلف من حيث طبيعة عمله عن الصمام الثنائي المفرغ حيث يقوم كل منهما بالسماح للتيار بالمرور في اتجاه واحد ( عندما يكون المصعد موجبا بالنسبة الى المهبط ) وبالتالي فان منحنى الخواص (  $I - V$  ) متماثل لكل منهما ومن ثم فان استعمالهما يكون واحدا الا ان الثنائيات البلورية تفضل على الصمامات الثنائية المفرغة بالمميزات الهامة الاتية :-

- 1- الاستهلاك القليل للقدرة وعلى وجه الخصوص عدم الحاجة الى الطاقة اللازمة لتسخين الفتائل
  - 2- صغر الحجم وخفة الوزن
  - 3- طول عمر هذه الاجهزة ( يبلغ حوالي عشرات الالاف من الساعات ) مقارنة مع عمر الصمامات .
  - 4- متانه ميكانيكية عالية ( تتحمل الاهتزازات والصدمات والمؤثرات الميكانيكية الاخرى )
- وعلى الرغم من ذلك فان هناك عيوباً في الثنائيات البلورية موجودة في الوقت الحاضر ومنها :
- 1- الاختلاف الواسع بين ثوابت الثنائيات ذات الطراز الواحد
  - 2- الاعتماد الشديد لخصائص هذه الاجهزة على درجة الحرارة
  - 3- لاتصلح الكثير منها للعمل في الترددات العالية
  - 4- لاتستطيع العمل مع القدرات العالية

5- يسوء بشدة عمل هذه الاجهزة بتأثير الاشعاع المؤين .

وتجري في الوقت الحاضر ، ابحاث كثيرة لتحسين اجهزة اشباه الموصلات وللحصول على مواد جديدة لتصنع منها هذه الاجهزة . وتصنع الان اجهزة من اشباه الموصلات تتحمل مرور تيارات تبلغ عشرات الالاف من الامبيرات ويسمح بتشغيل هذه الاجهزة في درجات حرارة لغاية  $125^{\circ}$  م

مما جاء اعلاه يتبين لنا ان تطوير اجهزه اشباه الموصلات سيؤدي بالتالي مع مرور الوقت ، الى ازدياد انتشارها في مختلف انواع المعدات ومن ثم فان التعرف على استخدام هذه الاجهزة وتطبيقاتها يصبح من الامور الضرورية بمكان وسنحاول في هذا الفصل التطرق لبعض التطبيقات لهذه الاجهزة كالتقويم والتحديد والانزمام .... وغيرها .

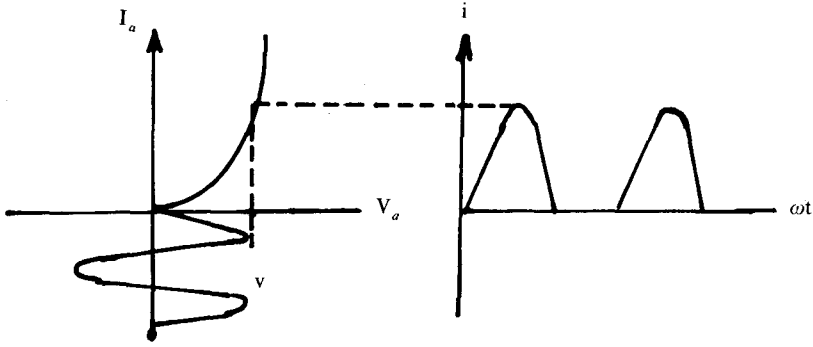
## 2- 6 التقويم : Rectification

تحتاج معظم الاجهزة الالكترونية في اداء عملها الى مصادر التيار المستمر لتغذيتها بما تحتاجه من قدرة كهربائية ، ولحسن الحظ فان التيار المطلوب لا يكون في اغلب الاحيان ، كبيرا وهذا ما يفسر ان البطاريات الجافة من اكثر هذه المصادر استعمالا في الاجهزة المتقلة كالراديو ومصباح النيون وحاسبات الجيب الالكترونية ... وغيرها .

من جهة اخرى ، وبالنظر لمحدودية عمر هذه البطاريات واستهلاكها السريع وللحاجة القائمة على الدوام ، الى مصادر التيار المستمر فانه يتم الحصول عادة على هذه المصادر من خطوط القدرة المتناوبة المألوفة وذلك عن طريق تحويل التيار المتناوب (a.c) الى تيار مستمر (d.c) باستخدام الثنائي البلوري . فتسمى عملية التحويل هذه بالتقويم rectification ويطلق على الثنائي بالمقوم rectifier

ان خاصية التقويم للموجات التي يمتلكها الثنائي البلوري ، تأتي من حقيقة ان هذا الثنائي يبدي مقاومة صغيرة لمرور التيار في احد الاتجاهات ( الاتجاه الامامي اي عندما يكون جهد المصعد موجبا بالنسبة الى المهبط ) ومقاومة كبيرة جدا في الاتجاه الاخر ( الاتجاه المعاكس اي عندما يكون جهد المصعد سالبا بالنسبة الى المهبط ) او بعبارة اخرى انه يسمح للتيار بالمرور في اتجاه واحد وذلك عندما يكون جهد المصعد موجبا بالنسبة للمهبط .

ان الكشف عن هذا السلوك (التقويم) للثنائي يمكن ان يتضح من خلال استخدام منحنى الخواص ( $I - V$ ) للثنائي البلوري - حيث يلاحظ ان سريان التيار لا يحدث الا عندما يكون  $V_a$  موجبا ، وبالتالي فان تسليط موجة جيبية (تحتوي على جزء موجب واخر سالب) سوف يؤدي الى سريان التيار خلال النصف الموجب من الموجة فقط وحدوث قطع للجزء السالب من هذه الموجة - انظر الشكل (1)



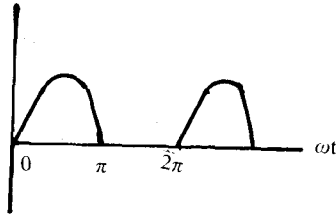
الشكل (1) :- التقويم النصف بالطريقة البيانية

على الرغم من ان الموجة الخارجة متغيرة هي الاخرى (تبدأ من الصفر صعودا الى  $I_m$  ورجوعا الى الصفر) الا انها تحتوي على قيمة متوسطة - سيتم حسابها لاحقا - على خلاف الموجة الجيبية الداخلة حيث ان القيمة المتوسطة لها تساوي صفرا . من هنا فانه يصبح واضحا امكانية تحويل جزء من التيار الـ (a.c) باستخدام الثنائي البلوري ، الى تيار مستمر (d.c) . على ايه حال ، سنقوم هنا بشرح الانواع الثلاثة لدوائر التقويم وهي :

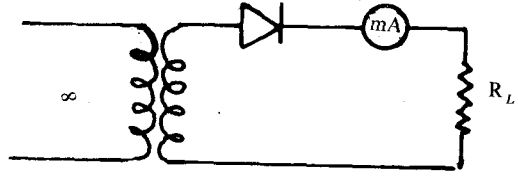
#### أ- دائرة تقويم نصف الموجة ' half - wave rectifier

يبين الشكل (2) دائرة المقوم النصفى للموجات ، ويلاحظ في هذه الدائرة استخدام ثنائي بلوري منفرد كما يلاحظ تسليط الموجة الجيبية خلال محولة القدرة ( $T$ ) التي ربطت على التوالي مع الثنائي البلوري وكذلك مقاومة الحمل  $R_L$  . في هذه الدائرة ومن استخدام قانون كريشوف للجهد ، نجد ان





(ب) : - موجة نصف مقومة



(أ) دائرة مقوم نصف موجة

(الشكل ٢)

$$v_i = V_m \sin \omega t = v_a + v_L \dots \quad (1)$$

حيث تمثل  $v_i$  و  $v_a$  و  $v_L$  القيمة الانية لكل من جهد الموجة الداخلة وجهد الهبوط حول الثنائي وجهد الحمل او جهد الخرج عبر مقاومة الحمل  $R_L$  وعلى التوالي .  
المعادلة (1) يمكن اعادتها بدلالة التيار.. اي ان

$$v_i = i_a r_a + i_a R_L = i_a (r_a + R_L) \quad \dots (2)$$

حيث يمثل  $i_a$  القيمة الانية للتيار المار في دائرة المقوم ، اما  $r_a$  فتمثل مقاومة الثنائي الامامية بالنسبة للتيار المتناوب ، من المعادلتين (1) و (2) نستطيع ان نجد ان :

$$i_a = \frac{V_m}{(r_a + R_L)} \sin \omega t \quad \dots (3)$$

او ان

$$i_a = I_m \sin \omega t \quad \dots (4)$$

التي تمثل اعلى قيمة يصلها التيار من

على اعتبار ان

النظر الى الشكل ( ب ) نجد ان التيار المار في الدائرة هو :

$$i_a = I_m \sin \omega t \quad 0 \leq \omega t \leq \pi \quad \dots (5a)$$

$$i_a = 0 \quad \pi \leq \omega t \leq 2\pi \quad \dots (5b)$$

نستخلص من المعادلة (5) انه اذا وضع جهاز قياس التيار المستمر (الاميتر) . في دائرة الحمل في الشكل (أ2) فان ما يقرأه الجهاز سوف يمثل معدل القيمة المستمرة للتيار  $i_a$  . اي ان

$$\begin{aligned} I_{a.c} &= \frac{1}{2\pi} \int_0^{\pi} i_a d(\omega t) = \int_0^{\pi} I_m \sin \omega t d(\omega t) \\ &= \frac{I_m}{\pi} \quad \dots (6) \end{aligned}$$

لذا فان قدرة الاخراج في الحمل تصبح

$$P_{d.c} = I_{d.c}^2 R_L = \left( \frac{1}{\pi} \right)^2 \frac{V_m^2 R_L}{(r_a + R_L)^2} \quad \dots (7)$$

وبما ان معدل قدرة الادخال لمصدر التيار المتناوب خلال دورة واحدة هي :

$$P_i = \frac{1}{2\pi} \int_0^{2\pi} i^2 R d(\omega t) \quad \dots (8)$$

او ان

$$P_i = \left( \frac{1}{2\pi} \int_0^{2\pi} i^2 d(\omega t) \right) R \quad \dots (9)$$

حيث يشير المقداران بين القوسين من المعادلة (9) - الى مربع القيمة الفعالة للتيار

r.m.s

$$r_{m.s} = \sqrt{\frac{1}{2\pi} \int_0^{2\pi} i^2 d(\omega t)} \quad \dots (10)$$

وعند التعويض عن قيمة  $i = I_m \sin \omega t$  واجراء التكامل نجد ان

$$I_{r.m.s} = \frac{I_m}{2} \quad \dots (11)$$

لذا فان القدرة المتولدة من جهد الادخال مساوي :

$$P_i = I_{r.m.s}^2 (r_a + R_L) = \frac{I_m^2}{2} (r_a + R_L) \quad \dots (12)$$

تعرف كفاءة التقويم ( $\eta$ ) وفق العلاقة الاتية :

$$\eta = \frac{P_{d.c}}{P_i} \times 100 \quad \dots (13)$$

عليه فان كفاءة دائرة التقويم النصفى للشائى البلورى تصبح

$$\eta = \left( \frac{I_{d.c}}{I_{r.m.s}} \right)^2 \left( \frac{100}{1 + r_a/R_L} \right) \quad \dots (14)$$

وعند التعويض عن قيمة  $I_{d.c}$  بـ  $\frac{I_m}{\pi}$  وعن  $I_{r.m.s}$  بـ  $\frac{I_m}{2}$  في المعادلة (١٤) نحصل على

$$\eta = \left( \frac{I_m/\pi}{I_m/2} \right)^2 \times \frac{100}{1 + \frac{r_a}{R_L}} \approx 40\% \quad \dots (15)$$

وعليه فان اعلى كفاءة تحويل يمكن الحصول عليها من دائرة مقوم نصف موجه هي  $40\%$ . ان هذا الانخفاض في الكفاءة يمكن رده كما ذكرنا ، الى عدم مرور التيار في دائرة الشائى خلال النصف السالب ، ومن ثم عدم ظهور هذا الجزء عبر مقاومة الحمل  $R_L$  ، الذي يشير الى حقيقة ان قيمة  $R_L$  تكون صغيرة جدا مقارنة مع مقاومة الشائى العكسية وحسب قانون مجزء الجهد ، نستنتج ان هذا النصف السالب من الموجه سوف يظهر باجمعه عبر الشائى .

على اية حال ، عندما تصل  $v_i$  الى اعلى قيمة سالبة لها ( $-V_m$ ) فان الثنائي البلوري سوف يتعرض الى فرق جهد عكسي قيمته الذروة لفرق جهد الادخال وعليه فانه يطلق على فرق الجهد هذا اسم جهد الذروة العكسية Peak inverse voltage ، لذا يجب اختيار الثنائي بحيث يكون جهد انهياره اعلى من جهد الذروة العكسية كذلك هناك خطر اخر وهو انه خلال النصف السالب يمكن لقلب core المحولة ان يتمغنط ويؤدي بالتالي الى تلف المحولة .

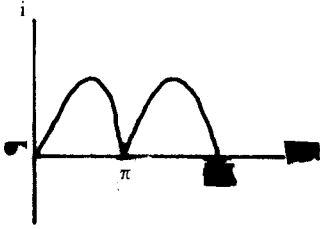
### ب - دائرة مقوم موجة كاملة Full-wave rectifier

ذكرنا توا ان اقصى كفاءة تحويل يمكن الحصول عليها من دائرة مقوم نصف موجه ، هي 40% وان هذا الانخفاض في قيمة الكفاءة قد سببه عدم ظهور الجزء السالب من الموجه الداخلة عبر  $R_L$  مما يشكل خسارة قدرها 60% من القدرة الداخلة وبالتالي فانه يصبح من الضروري استغلال هذا النصف السالب للحصول على كفاءة تقويم اعلى ومن ثم على قدرة اخراج مستمرة اكبر .

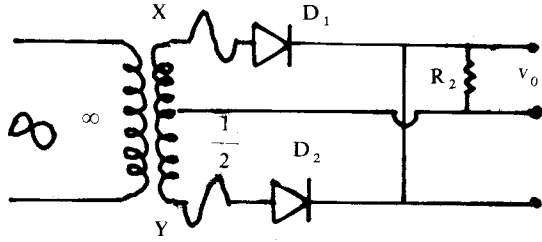
يبين الشكل (أ٣) دائرة مقوم موجة كاملة ويلاحظ في هذا الشكل انه تم استخدام محولة قدرة ذات نقطة وسطية center-tapped power transformer وبالتالي فان الموجة الداخلة قد ظهرت مجزأة الى جزئين متساويين : الجزء الاول ظهر عند نقطة X والثاني ظهر عند النقطة Y . هذا وعلى الرغم من ان الجزئين متساويان في المقدار الا انه يلاحظ وجود فرق في الطور بينهما قدره  $180^\circ$  ، الامر الذي يسمح باستغلال النصف السالب من الموجه الداخلة وعلى النحو الاتي : - خلال النصف الاول من الموجة الداخلة تكون الموجة A موجبة وبذلك فان الثنائي  $D_1$  يسمح بمرور التيار من جهة اخرى وخلال النصف السالب من الموجة الداخلة تكون الموجة B موجبة مما يجعل الثنائي  $D_2$  يقوم بامرار التيار هذه المرة ، وعليه فان التيار الناتج سوف يظهر كما في الشكل (ب٣)

وباتباع نفس الطريقة التي تم فيها حساب كفاءة دائرة مقوم نصف موجه ، يمكن البرهنة على ان معدل القيمة المستمرة لتيار الحمل هي :

$$I_{d.c} = \frac{2I_m}{\pi} \quad \dots (16)$$



(ب) موجة كاملة التقويم .



(أ) دائرة مقوم موجة كاملة .

الشكل ( ٣ )

وبهذا تكون القدرة الخارجة مساوية للكمية .

$$P_{d-c} = \left( \frac{2}{\pi} \right)^2 \frac{V_m^2 R_L}{(r_a + R_L)^2} \quad \dots (17)$$

وحيث ان جهد الادخال لم يتغير عن السابق لذا فان قدرة الادخال ستكون هي نفسها :

$$P_i = I_{r.m.s}^2 (r_a + R_L)$$

وعليه فان كفاءة ، دائرة التقويم لموجة كاملة ، ستكون مساوية لـ

$$\eta = \left( \frac{P_{d-c}}{P_i} \right) = \left( \frac{2I_m/\pi}{I_m/2} \right)^2 \times \left( \frac{100}{1 + r_a/R_L} \right) \quad \dots (18)$$

$$= 80 \%$$

وهكذا ترتفع كفاءة التقويم من 40% الى 80% وتقل الخسارة في القدرة من 60% الى 20% ، الا انه مما يجب التنبيه عليه ، انه في حالة استعمال محوله رافعة ، وكون حجم الفولتية المسلط على اي من الثنائين  $D_1$  و  $D_2$  مساوية لجهد الموجة الداخلة او اكبر ، فان الجهد الذي سوف يظهر عبر اي من الثنائين في حالة الانحياز العكسي ، سيكون مساوياً لـ

$$V = V_m + V_m = 2V_m \quad \dots (19)$$

او اكبر مما يشير الى ان جهد الذروة العكسية في دائرة مقوم موجة كاملة ، يكون ضعفه  
او اكثر مما هو عليه في دائرة مقوم نصف موجه ومن ثم فانه يجب اختيار الثنائي هنا بحذر  
اكبر .

ج - قنطرة التقويم bridge rectifier :

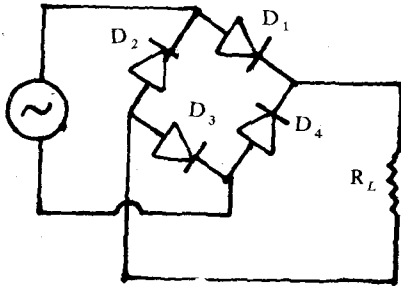
على الرغم من الكفاءة العالية التي تتمتع بها دائرة مقوم موجة كاملة مقارنة مع دائرة  
مقوم نصف موجه ، الا ان هناك بعض المساويء التي ترافق هذه الدائرة ومنها : -

أ - عدم توفر المحولة ذات التوصيل المركزي في كل الاوقات ، فضلا عن ان تعين  
نقطة النصف على الملف الثانوي ، لهذه المحولة ، ليست بالعملية السهلة . كذلك فان  
استعمال المحولة يعني زيادة حجم الدائرة وزيادة تكاليفها .

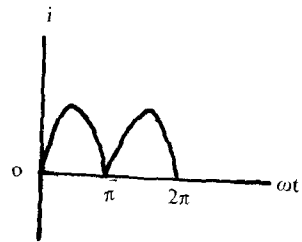
ب - الثنائيات البلورية المستعملة يجب ان تمتلك جهد ذروة عكسياً عالياً .

ان الحاجة الى محول ذي نقطة وسطية ، سوف تختفي عند استعمال قنطرة التقويم -  
الشكل ( ٤ ) . يلاحظ في هذه الدائرة استخدام اربعة ثنائيات بلورية هي  $D_1$  و  $D_2$  و  
 $D_3$  و  $D_4$  وقد تم ربطها على هيئة قنطرة bridge . ومن هنا جاءت التسمية قنطرة  
التقويم . مما يجدر ملاحظته ان  $D_1$  وقد تم ربطه عبر المقاومة  $R_L$  على التوالي مع  $D_3$   
وكذلك هي الحالة بالنسبة لـ  $D_2$  و  $D_4$  .

وبهذا فان جهد الذروة العكسي سوف يتوزع على كلا الثنائين ويكون لذلك  
نصف ما هو عليه في دائرة مقوم موجة كاملة لنفس جهد الاخراج المطلوب . اما الميزة  
الثانية لقنطرة التقويم فهو امكانية الحصول على نفس جهد الاخراج ولكن باستعمال  
نصف عدد لفات الملف الثانوي للمحول المطلوب استعماله في دائرة مقوم الموجة الكاملة .



(أ) قنطرة التقويم

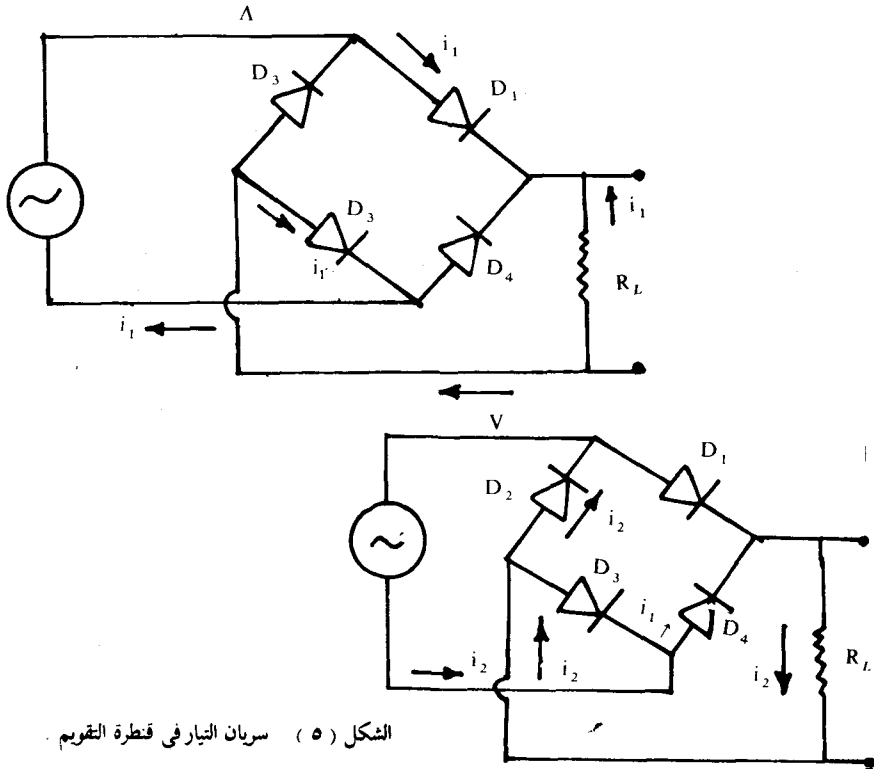


(ب) موجة كاملة التقويم

الشكل ( ٤ )

على أية حال ، يمكن تلخيص عمل قنطرة التقويم على النحو الاتي : - من ملاحظة الثنائيات الاربعة الميئة في الشكل (٤) يمكن بسهولة ادراك عمل القنطرة في تقويم الموجة الجيبية . فالثنائيات  $D_1$  و  $D$  يقومان بتوصيل التيار في الدائرة خلال النصف الاول الموجب من الموجة الداخلة وبذلك يسلك التيار الاتجاهات المؤشرة في الدائرة (أ) . اما في النصف السالب من موجة الادخال فان الثنائين  $D_2$  و  $D_4$  يقومان بتوصيل التيار في الدائرة حسب الاتجاهات الميئة في الشكل (ب) . ومما يجدر ملاحظته ان التيار يسري في المقاومة  $R_L$  في اتجاه واحد خلال نصفي موجة الادخال ( الموجب والسالب ) وبالتالي فان جهد الاخراج سيكون ذا تقويم موجي كامل .

بقي ان نذكر اخيرا انه على الرغم من كثرة استخدام قنطرة التقويم الا ان عيبها الرئيسي يكمن في انها تستخدم اربعة ثنائيات وهذا يخلق مشكلة عندما تكون الموجة الداخلة صغيرة حيث انه يلزم 1.4 فولت هبوط على الثنائين ، لكي يبدأ بتوصيل التيار ، وبالتالي فانه يفضل استخدام مقوم الموجات الكاملة في التطبيقات التي تحتاج الى جهود واطئة .



الشكل (٥) سريان التيار في قنطرة التقويم

### 3-6 عامل التموج Ripple Factor

رأينا فيما سبق ، انه كان بالإمكان تحويل جزء كبير من الجهد المتناوب الداخلى قد يصل الى حد 80% من قيمته ، الى جهد مستمر ومع ذلك ظهرت الموجة المقومة كما في الشكل (٦) ، مما يشير الى انها لازالت تحتوي على مركبة متناوبة للجهد ( حيث يلاحظ انها تبدأ من الصفر وتزداد لتصل الى اعلى قيمة لها ثم تعود الى الصفر) . وفي الحقيقة لا توجد دائرة تقويم مهما كانت معقدة ، الا واحتوت الموجة الخارجة منها على مركبة متناوبة .

على اية حال ، تقاس مدى فعالية اي دائرة تقويم ومدى قدرتها على تقويم الموجات بوساطة كمية يطلق عليها عامل التموج ripple factor او اختصاراً (r.f) الذي يعرف : بانه النسبة بين القيمة الفعالة للمركبة المتناوبة من الموجة الخارجة الى معدل القيمة المستمرة لتلك الموجة الخارجة او بصيغة رياضية فان .

$$r.f = \frac{V_{a.c}}{V_{d.c}} = \frac{I_{a.c}}{I_{d.c}} \quad \dots (20)$$

معروف ان  $I_{r.m.s}$  هو مقياس للقدرة المبذودة في مقاومة الحمل  $R_L$  من دائرة المقوم . اي ان

$$P = I_{r.m.s}^2 R \quad \dots (21)$$

وحيث ان هذه القدرة الكلية هي مجموع القدرة المبذودة الناتجة عن مرور مركبتي التيار المتناوب والمستمر التي تحتويهما الموجة . اي ان

$$P = I_{d.c}^2 R_L + I_{a.c}^2 R_L \quad \dots (22)$$

وعند المقارنة بين (٢١) و (٢٢) نحصل على

$$\sqrt{I_{r.m.s}^2} = I_{d.c}^2 + I_{a.c}^2 \quad \dots (23)$$

او ان

$$I_{a.c} = \sqrt{I_{r.m.s}^2 - I_{d.c}^2} \quad \dots (24)$$

وبهذا فان عامل التموج ، بعد التعويض ، يكون مساوياً لـ



$$r.f = \frac{\sqrt{I_{r.m.s}^2 - I_{d.c}^2}}{I_{d.c}} \quad \dots (25)$$

او ان

$$r.f = \sqrt{\frac{I_{r.m.s}^2}{I_{d.c}^2} - 1} \quad \dots (26)$$

بالنسبة لدائرة مقوم نصف موجه لدينا ان  $\frac{V_m}{\pi} = I_{d.c}$  وان  $\frac{V_m}{2} = I_{r.m.s}$  وعليه فان r.f لهذه الدائرة تكون مساوية لـ

$$r.f = \sqrt{\frac{\pi^2}{4} - 1} = 1.21 \quad \dots (27)$$

وهذا يعني ان مركبة الـ a.c. في الموجة الخارجة من الدائرة المقوم النصفى للموجات ، هي اكبر بـ 1.21 مرة من المركبة المستمرة لنفس الموجة مما يشير الى وجود تموج عال في هذه الموجة الخارجة من دائرة المقوم النصفى ولهذا السبب فان مقوم نصف موجه لا يعد فعالا في تقويم الموجات

من جهة اخرى يكون عامل التموج لدائرة مقوم موجة كاملة مساويا لـ

$$r.f = \sqrt{\frac{\pi^2}{8} - 1} = 0.48 \quad \dots (28)$$

وعليه فان المركبة المستمرة في الموجة الخارجة والناجمة من دائرة مقوم موجة كاملة تكون اكبر من المركبة المتناوبة في نفس الموجة وبالتالي فان التموج في هذه الموجة يكون اقل مما هو عليه في الموجة الناتجة من مقوم نصف موجة ومن الجدير بالملاحظة انه كلما قل (r.f) كلما كانت فعالية الدائرة في التقويم اكبر .

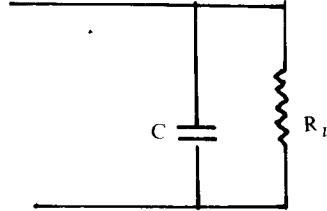
#### 6-4 دوائر الترشيح Filter circuits

وجدنا توأ ان عامل التموج قد انخفض في دائرة مقوم موجة كاملة ، من 1.21 من دائرة مقوم نصف موجه الى 0.48 في دائرة مقوم موجة كاملة مما يدل على ان مركبة الجهد المستمر ، في الموجة الخارجة من دائرة مقوم موجة كاملة ، تكون اكبر

أو مساوية لضعف مركبة الجهد المتناوب في هذه الموجة وكذا هو الحال بالنسبة للموجة الخارجة من قنطرة التقويم .

على أية حال ، في كثير من التطبيقات يستوجب جعل المركبة المتموجة ( المتناوبة ) هذه اصغرها ما يمكن وعليه فإنه لا يمكن الاعتماد على دوائر التقويم وحدها ، كمصادر للجهد المستمر ما لم يضاف إليها دوائر أخرى تعمل على إزالة ( ترشيح ) الأجزاء المتناوبة من جهد الإخراج وتسمح للمركبة المستمرة منهما بالمرور وتسمى بدوائر الترشيح filter circuits وأحياناً بدوائر التسوية ( التنعيم ) Smoothing circuits

تستخدم دوائر الترشيح عادة ، المتسعات والملفات وتوظف قدرة هذه العناصر الكهربائية على تخزين الطاقة في إجراء عملية تنعيم الجهد الخارج ومن ثم الحصول على جهد مستقر steady ( ثابت القيمة ) مع الزمن وبين الشكل ( ٣ ) أبسط أنواع المرشحات ويدعى بمرشح متسعة capacitor filter



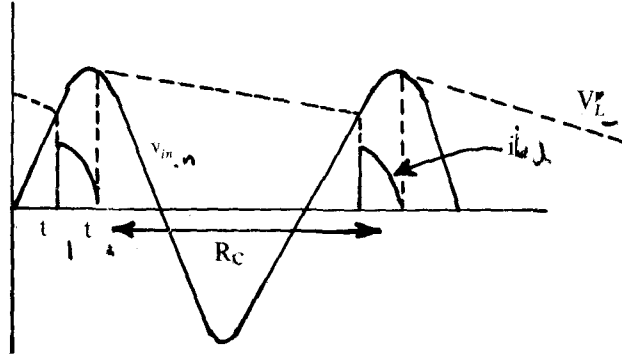
الشكل ( ٦ ) مرشح متسعة .

تم في هذه الدائرة ربط المتسعة C حول المقاومة  $R_L$  التابعة لدائرة المقوم ، فإذا

كانت ممانعة المتسعة  $\left( x_c = \frac{1}{2\pi fc} \right)$  صغيرة بالمقارنة مع  $R_L$  فإن

هذه المتسعة سوف تعمل كدائرة قصر بالنسبة لمركبة الجهد المتناوب بالتالي يصبح الجهد عبر  $R_L$  جهداً مستمراً .

من جهة اخرى ، يمكن النظر الى المتسعة كمخزن ( tank ) يعمل على تخزين الشحنات خلال فترة توصيل الثنائي وتفريغها الى  $R_L$  خلال فترة الانقطاع وبين الشكل (V) موجة الادخال والموجة المرشحة  $V_L$  وكذلك التيار المار خلال الثنائي .



الشكل ( V ) موجة الادخال الاخراج الى ومن مرشح متسعة .

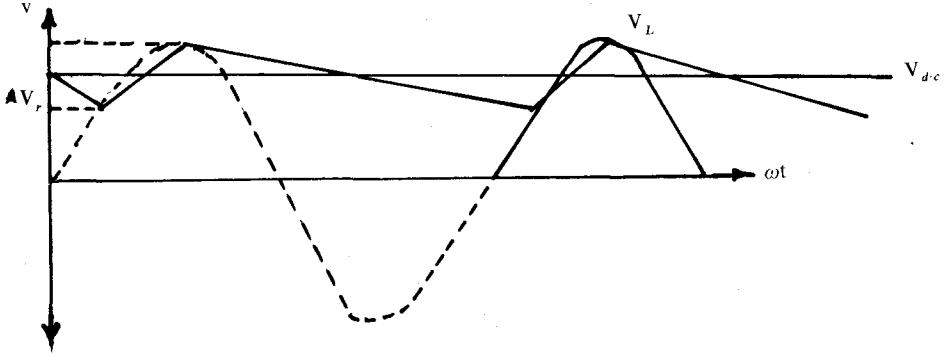
يلاحظ في هذا الشكل (V) ان المتسعة تبدأ بالشحن حالما يبدأ التيار بالسريان في الثنائي ، عند اللحظة  $t_1$  ، اي عندما يصل جهد الربع الاول من موجة الادخال ( اي جهد المصعد ) الى جهد اكبر من الجهد الذي تصل اليه المتسعة C بعد التفريغ خلال  $R_L$  ( جهد المهبط ) .

على اية حال ، عندما تصبح  $V_c$  مساوية لـ  $V_m$  ، اي عند اللحظة  $t_2$  انظر الشكل (V) ، يتوقف سريان التيار . وذلك لان الموجة الداخلة تبدأ بعدها بالهبوط بينما تحتفظ المتسعة بجهدها ، لفترة تطول أو تقصر تبعاً لقيمة ثابت الزمن RC - انظر الشكل (V) . وهكذا ساعدت المتسعة على تقليل المركبة المتناوبة من جهد الاخراج .

#### 6-4-1 تحليل دائرة المرشح السعوي :-

ذكرنا توأ ، انه على الرغم من ان موجة الادخال تبدأ بالهبوط الى ان المتسعة سوف تحتفظ بجهدها لفترة تتناسب مع RC ومن ثم تظهر كما في الشكل (V) والمعاد رسمه في الشكل (A) حيث يمثل  $\Delta V_c$  مقدار التموج في جهد الاخراج  $V_L$  .

هذا الشرح ينطبق على حالة الاستقرار التي تصلها المتسعة بعد زمن من تسليط الموجة الداخلة



الشكل ( ٨ ) تغير  $V$  مع فترة التوصيل .

يلاحظ في هذا الشكل (٨) أيضا ، ان  $V_r$  يقل كلما قلت فترة التوصيل ( $\Delta t = t_2 - t_1$ ) التي يمكن تقليلها بزيادة ثابت الزمن ( $R_L C$ ) حيث يقل هبوط الجهد اثناء تفريغ المتسعة .

من جهة اخرى ، يجب ان يكون معلوما انه في اللحظة التي يتم فيها تسليط الموجة الداخلة فان المتسعة حينئذ تنصرف كدائرة قصر ومن ثم فان التيار الابتدائي الذي يمر في دائرة المقوم بسبب من وجود المتسعة ، سوف يكون كبيرا جدا ويدعى بالتيار المفاجي Surge current وعلى العموم فان التيار الذي يمر خلال الثنائي  $I_D$  لا يكون مساويا لـ  $\left( \frac{V}{r_a + R_L} \right)$  بل يزيد عن ذلك كثيرا فالشحنات التي تفرغ من المتسعة خلال الفترة التي يكون فيها الثنائي في حالة قطع ، يجب ان تسترجع خلال فترة التوصيل القصيرة  $\Delta t$  . اي ان

$$I_D = I_L \frac{T}{\Delta t} \quad \dots (29)$$

هذا وقد تزيد النسبة  $\left( \frac{T}{\Delta t} \right)$  عن 100 وتزداد كلما زادت قيمة  $C$  . لذا يجب اختيار الثنائي الذي يتحمل تيارا عاليا مثل  $I_D$  ولفترة قصيرة جداً .

الان اذا فرضنا ان  $V_r$  تمثل موجة مثلثية - لاحظ الشكل (٨) - فان قيمة  $V_{r.m.s}$  لهذه الموجة سوف تكون مساوية لـ

$$V_{r.m.s} = \frac{V_r}{2\sqrt{3}} \quad \dots (30)$$

لدينا الآن ان

$$r.f = \frac{V_{a.c}}{V_{d.c}} \approx \frac{V_r}{2\sqrt{3} V_{d.c}} \quad \dots (31)$$

وكتقريب اولي ، هو اعتبار فترة التوصيل  $\Delta t$  اقل بكثير من فترة تردد موجة

الادخال  $\left( T = \frac{2\pi}{\omega} \right)$  لذا يمكن اعتبار فترة هبوط الجهد عبر المتسعة من  $V_m$  بالمقدار  $V_r$  تستغرق  $T$  من الزمن . عليه فان

$$V_r = V_m (1 - e^{-T/RC}) \quad \dots (32)$$

وبما ان ثابت الزمن  $(R_L C)$  يختار بحيث يزيد كثيرا عن  $T$  ، لذا فلن

$$V_r = V_m \frac{T}{R_{LC}} \quad \dots (33)$$

كذلك من النظر الى الشكل (٨) ولغرض اجراء نفس التقريب ايضا ، نستطيع القول ان :

$$V_{d.c} \approx V_{d.c} + \frac{V_r}{2} = V_m \quad \dots (34)$$

وعند التعويض عن قيمة كل من  $V_{d.c}$  و  $V_r$  المذكورين اعلاه في المعادلة (٣١) نحصل على

$$r.f = \frac{T}{2\sqrt{3} R_L C} = \frac{1}{2\sqrt{3} R_L f C} \quad \dots (35)$$

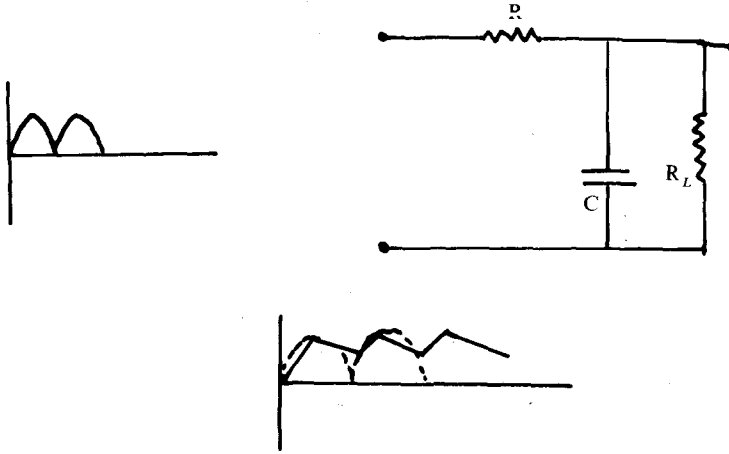
هذه المعادلة (٣٥) تصلح للتعبير عن سلوك المرشح السعوي المربوط الى دائرة المقوم النصفية للموجات ويمكن الوصول تقريبا الى نفس العلاقة بالنسبة لمقوم كامل مع فارق ان العامل  $f$  يستبدل بـ  $2f$  .

وعليه فانه كلما زادت  $c$  او  $f$  او  $R_L$  كلما قلت  $r_f$  ومن ثم تم الوصول الى جهد مستقر بصورة اكبر .

#### 6-4-2 مرشحات اخرى :-

على الرغم من ان مرشح متسعة يمتاز بالبساطة وصغر الحجم ورخص الثمن وسهولة الربط الا ان استخدامه يقتصر فقط على التيارات الصغيرة اقل من 50 ملي امبير

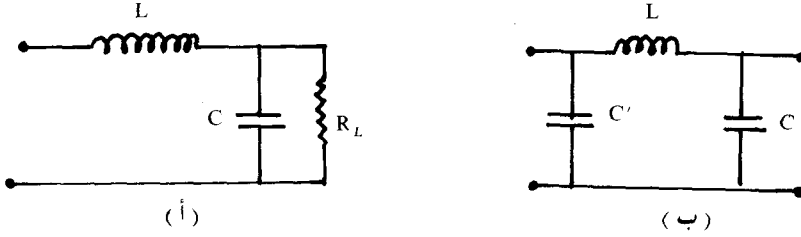
على اية حال ، ان اضافة مقاومة على التوالي مع المتسعة - انظر الشكل (٩) - سوف يحد من قيمة التيار المفاجيء وبالتالي يمكن التغلب على عيب المرشح السعوي البسيط ، ويدعى هذا النوع من المرشحات بمرشح مقاومة - متسعة RC filter



الشكل (٩) مرشح مقاومة - متسعة .

ان ربط المقاومة  $R$  على التوالي مع المتسعة سوف يؤدي الى احداث هبوط في الجهد عبر هذه المقاومة عند مرور تيار الحمل فيها ومن ثم الى النقص جهد الحمل . ومع ان التغلب على هذه المشكلة يمكن ان يتم بجعل  $R_L$  اكبر بكثير من  $R$  ، حيث ان معظم الجهد سوف يظهر حول المقاومة الكبرى  $R_L$  وكذلك فان استعمال  $R_L$  كبيرة سوف يقلل من عامل التموج  $r_f$  - انظر المعادلة (٣٥) - الا انه يجب التذكير ان اطفاء دائرة المقوم بعد التشغيل ، سوف يشكل خطرا ناتجا عن احتمال التعرض الى خطر الصدمة الكهربائية عند لمس المتسعة وذلك لان  $R_L C$  سوف تكون كبيرة ومن ثم

فان زمن تفرغ المتسعة سيكون كبيرا هو الاخر ، وبالتالي فانه لاينصح ان تكون  $R_L$  كبيرة للسبب المذكورة اعلاه ويطلق على هذه المقاومة احيانا بمقاومة الترف  $R_L$  bleeder resistor على اية حال يمكن الوصول الى مستوى افضل للترشيح باستخدام مرشح ملف inductance filter انظر الشكل (١٠) .



الشكل (١٠) مرشحات ملف - متسعة .

من المعروف ان ممانعة الملف تساوي  $x_L = 2\pi fL$  وبالتالي فان الملف يبدي ممانعة عالية بالنسبة للتيار المتناوب وممانعة تساوي صفرا بالنسبة للتيار المستمر (حيث  $f$  صفري هذه الحالة) .

من جهة اخرى وكما اسلفنا ، تعد المتسعة مخزناً للطاقة الكهربائية ومن ثم فانها تربط على التوازي كي تمنع التغير في الجهد . كذلك يعد الملف مخزناً للطاقة المغناطيسية وبذلك يربط على التوالي مع الحمل كي يمانع التغير في تيار الحمل حيث يقوم بعق تلك الطاقة كلما اراد تيار الحمل ان يقل عن المعدل وهكذا تتم عملية تقليل التموج . وقد وجد عمليا ان القيمة المناسبة للملف المستخدم تكون مساوية لـ

$$L = \frac{R_L}{6\pi f} = \frac{R_L}{1000} \quad \dots (36)$$

حيث ان التردد  $f = 60$  هرتز .

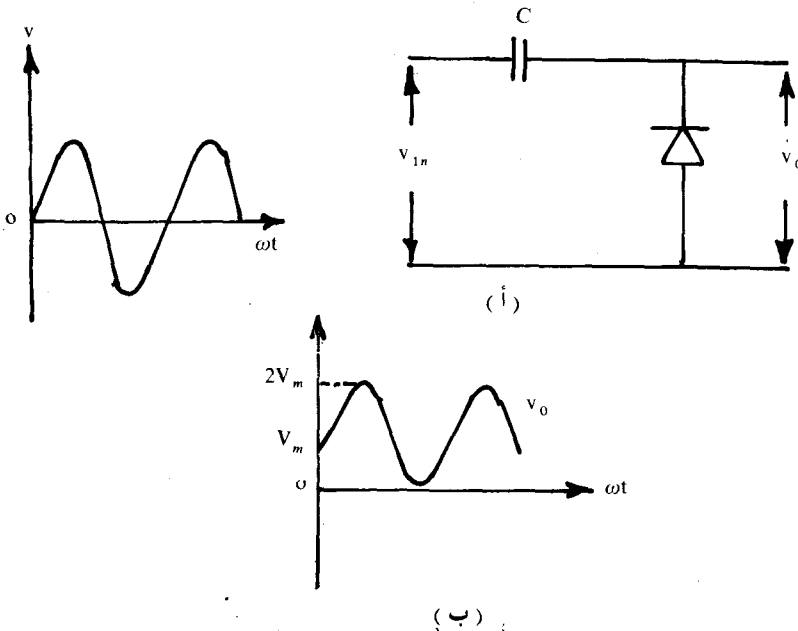
على الرغم من ان جهد الاخراج مع مرشح المحث ، اقل مما هو مع مرشح المتسعة الا ان عامل التموج فيه احسن بكثير . كذلك يمنع المحث حدوث التباينات العالية التي تحدث لفترة قصيرة وبذلك يقوم بحماية الثنائيات ولهذا يفضل عندما يكون

تيار الحمل عاليا حيث ان عامل التموج يكون احسن كلما زاد تيار الحمل ( على العكس مما عليه مرشح المتسعة ) ولنفس السبب يستعمل مع مقوم موجه كاملة فقط .

لمعالجة الانخفاض في جهد الاخراج تضاف متسعة ثانية - الشكل ( ١٠ ب ) الا انه يجب التذكر ان هذه المتسعة الاخيرة ستجلب معها التيارات العالية وعليه فانه يجب اختيار الثنائي المناسب . كذلك هناك امكانية استخدام المقاومات بدلا من الملفات الكبيرة الحجم والغالية - استبدال الملف في الشكل ( ١٠ ب ) بمقاومة - ولكن مع التذكر ان مقاومة الاخراج للمرشح اوجب ان تكون كبيرة القيمة ومن ثم فان هذا النوع من المرشحات يستعمل فقط مع تيارات حمل ثابتة وصغيرة .

### 5-6 دائرة الالزام Clamping circuit :-

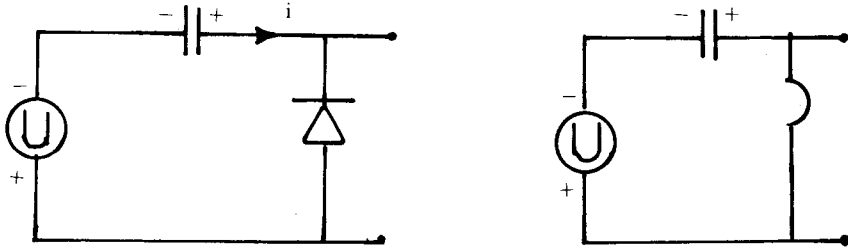
وتسمى ايضا في بعض الاحيان ، بدائرة استرجاع المركبة المستمرة في الموجات ويتم ذلك عن طريق لزم الموجة الداخلة عند مستوى معين غالبا ما يكون مستوى الصفر. ومن هنا جاءت التسمية دائرة الالزام clamping circuit - انظر الشكل ( ١١ أ )



الشكل ( ١١ ) دائرة الالزام مع الموجتين : الداخلة والخارجة .

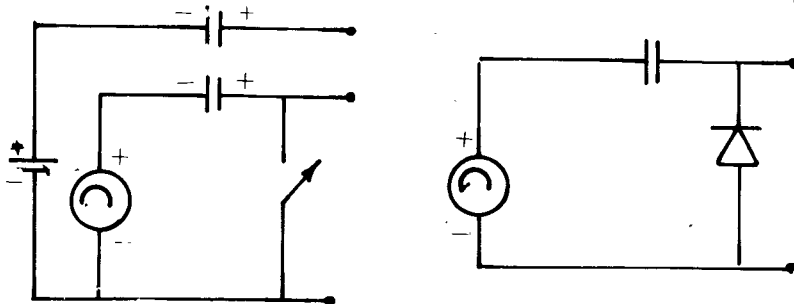


في دائرة الازلام هذه وعلى فرض ان جهد الادخال المسلط هو موجة جيبيه ، سيكون جهد الاخراج كما في الشكل (١١ ب) وفيما يأتي شرح للكيفية التي تعمل معها دائرة الازلام : - لتوضيح عمل هذه الدائرة سنفرض ان النصف المسلط من الموجة الداخلة هو النصف السالب - انظر الشكل (١٢ أ) . خلال هذا النصف السالب يكون الثنائي البلوري منحازا اماميا مما يسمح للتيار بالسريان في الدائرة ليشحن المتسعة الى اقصى قيمة تصلها هذه الموجة وبهذا يكون الجهد على هذه المتسعة مساويا لـ  $V_m$



الشكل ( ١٢ ) الدائرة المكافئة للثنائي في حالة التوصيل .

ان هذا الجهد ( $V_m$ ) سوف تحتفظ به المتسعة وذلك لان الثنائي البلوري سوف ينحاز عكسيا لحظة اجتياز النصف السالب القيمة ( $-V_m$ ) لان الجهد على المهبط ( جهد المتسعة ) سيكون اكبر من جهد المصعد ومن ثم فان هذا الجهد ( $V_m$ ) سوف يبقى على المتسعة لان هذه المتسعة لاتستطيع ان تلحق بالتغير الحاصل في الموجة الداخلة نظرا لان انجياز الثنائي عكسياً يجعل من ثابت الزمن لهذه الدائرة طويلا جدا . ما حدث خلال الربع الثاني من النصف السالب من الموجة الداخلة يحدث خلال النصف الموجب من هذه الموجة ، حيث يبقى الثنائي البلورة منحازا عكسياً - انظر الشكل (١٣) . ومن ثم فان جهد الموجة الخارجة سيكون مساويا لـ



الشكل ( ١٣ ) دائرة الازلام الموجبة

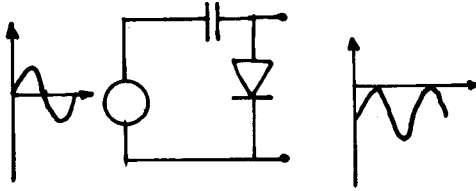
$$v_0 = V_m + V_m \sin \omega t \quad \dots (36)$$

يبين الشكل (١٣ ب) هذه الموجة الخارجة حيث يظهر ان الذروة السالبة قد ألزمت عند الصفر ومن ثم فان معدل المساحة الواقعة تحت الاشارة اصبحت لا تساوي صفرا وبالتالي فان هذا الموجة الخارجة اصبحت تمتلك قيمة مستمرة . فمن المعروف ان معدل القيمة المستمرة يكون مساويا لـ

$$V_{av} = \frac{1}{2\pi} \int_0^{2\pi} (V_m + V_m \sin \omega t) d(\omega t) . \quad \dots (37)$$

حيث يمثل التكامل في المعادلة اعلاه ، المساحة الواقعة تحت الاشارة

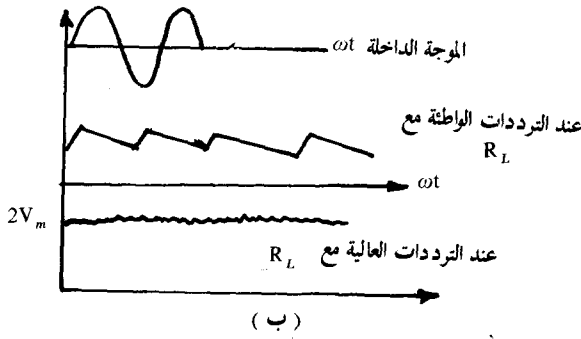
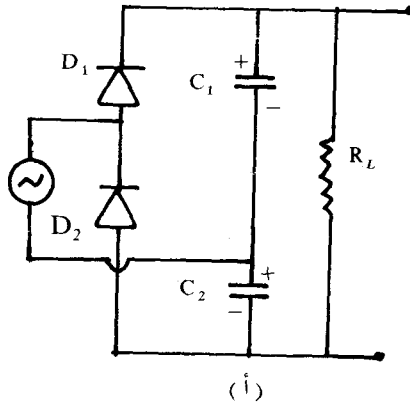
ومن الجدير بالذكر انه بالامكان تغيير مستوى الالزام باضافة بطارية على التوالي مع الثنائي وحينئذ يحدد قيمة واتجاه البطارية ومستوى الالزام كذلك اذا ما عكست اقطاب الثنائي في دائرة الالزام - انظر الشكل (١٤) فان الذروة الموجبة هي التي سيتم الزامها عندئذ .



الشكل ( ١٤ ) دائرة الالزام السالبة

### دائرة مضاعف الجهد :- Voltage Doubler

عند تحويل التيار المتناوب الى تيار مستمر غالباً ما نلجأ الى استخدام محولة رفع (او خفض) مع مقوم موجة كاملة ولكن اذا كان المطلوب هو مضاعفة الجهد فقط دون الاهتمام بقيمة التيار - الذي يكون صغيراً في هذه الحالة - فان انسب الطرق لتحقيق ذلك هو استخدام دائرة مضاعفة الجهد الشكل (١٥) .



الشكل ( ١٥ ) دائرة مضاعف فولتية مع الموجة الخارجة .

لفهم عمل الدائرة في الشكل ( ١٥ ) أ ، نفرض ان الجزء المسلط من الموجة الداخلة ، هو النصف الموجب . عندئذ سيقوم الثنائي  $D_1$  فقط ، بامرار التيار ليشحن المتسعة  $C_1$  بالشحنة المبينة عليها في الشكل ( ١٥ ) أ . اما عند تسليط النصف السالب من موجة الادخال فان الثنائي  $D_2$  ، فقط سوف يسمح بمرور التيار ليشحن المتسعة  $C_2$  بالشحنة المبينة عليها . وبهذا فان مجموع الجهد الذي يظهر على كل من  $C_1$  و  $C_2$  سيكون مساويا  $2V_m$  انظر الشكل ( ١٥ ) ب .

تشير التجارب الى ان الجملة الاخيرة من الفقرة اعلاه ، هي صحيحة في حالة كون دائرة مضاعف الجهد غير محملة ( عدم وجود مقاومة حمل  $R_L$  حول  $C_2$  ) في هذه الحالة يكون الجهد الخارج خاليا من التمرج اي مستمرا ، وتكون قيمته مساوية

لضعف ذروة الموجة الداخلة السبب في ذلك انه لا يمكن للمتسعة  $C_2$  ان تتفرغ خلال  $D_2$  بسبب انجياز هذا الاخير عكسياً .

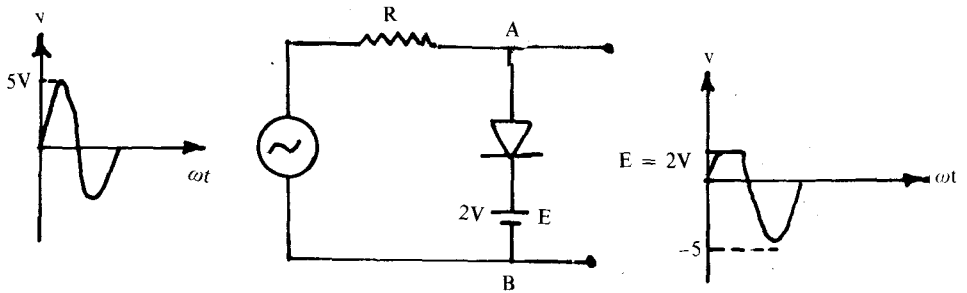
من جهة اخرى . اذا ما ربطت المقاومة  $R_L$  حول  $C_2$  فحينئذ يصبح بإمكان المتسعة  $C_2$  ان تتفرغ خلال هذه المقاومة وبالتالي يظهر تموج في الجهد الخارج . هذا ويمكن التقليل من هذا التموج عند زيادة تردد الموجة الداخلة . وقد وجد انه اذا كان  $(2\pi f R_L C_2 > 200)$  فان  $V_{d.c} = 2V_m$

### 6-7 دائرة القطع ( التقليل ) Clipping circuits :-

وتسمى احيانا بالدوائر المحددة limiters وينتشر استعمالها في دوائر تشكيل الموجات wave-shapping ويمثل الشكل (١٦) دائرة كهربائية استخدم فيها الثنائي لتحديد جهد الموجة الداخلة عند قيمة معينة E او بعبارة اخرى ان هذه الدائرة قد صممت لتمنع الجزء الموجب من الموجة الخارجة من اجتياز قيمة الجهد المستمر E . ويمكن تلخيص عمل هذه الدائرة ( على فرض ان الثنائي المستعمل مثاليا ) كما يأتي : عند تسليط النصف الموجب من الموجة الداخلة على مصعد الثنائي فان هذا الاخير سوف يسمح للتيار بالمرور في اللحظة التي يصبح فيها جهد الموجة الداخلة اكبر بقليل من E . ذلك لان جهد المصعد يصبح حينئذ موجبا بالنسبة الى جهد المهبط ( لان الموجة الداخلة تأخذ القيم من صفرا الى  $V_m$  فولت ) . وحيث ان مقاومة الثنائي في حالة مرور التيار تكون صغيرة جدا ( اوصفرا في حالة كونه مثاليا ) لذا فان الجهد المتولد حول هذا الثنائي سيكون صفرا الى درجة انها لا تظهر مع الموجة الخارجة ومن ثم حدوث قطع في هذه

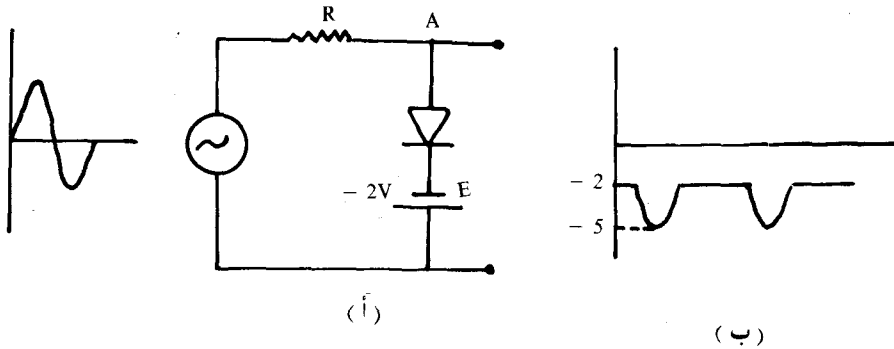
الموجة - انظر الشكل (١٦) . هذا من جهة . اما من جهة اخرى وفي حالة كون جهد الموجة الداخلة اصغر من E فان مقاومة الثنائي سوف تكون كبيرة جدا ( ما لانهاية في حالة كونه مثاليا ) وبهذا يمكن اعتبار الدائرة مفتوحة عند النقطتين A و B وان الموجة الخارجة تتبع الموجة الداخلة من غير تغير .

الان لو عكست قطبية المصدر E فقط لتنتج الدائرة المبينة في الشكل (١٧) (ج) في هذه الحالة فان اتجاه الجهد E يجعل الثنائي منحازا اماميا حتى لو كان جهد الموجة الداخلة مساويا للصفرا او سالبا لغاية القيمة E . لذا ولكون الثنائي منحازا اماميا خلال تلك الحدود . لا تظهر موجة الادخال في جهة الاخراج وكل ما يظهر هو ذلك الجهد



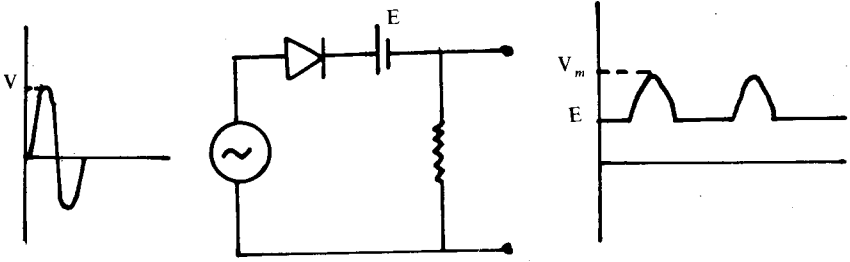
الشكل ( ١٦ ) دائرة القطع مع الموجة الخارجة

السالب من الموجة الداخلة الذي يجعل من الثنائي البلوري منحازا عكسياً ( اي ذلك الجزء من الموجة الداخلة الاكتر سالبية من E ) انظر الشكل ( ١٧ )

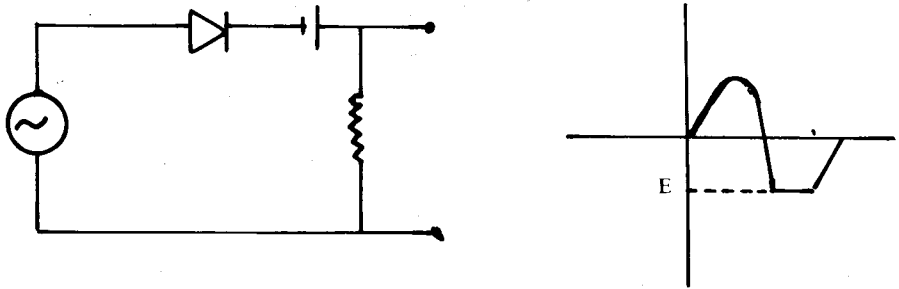


الشكل ( ١٧ ) دائرة القطع مع الموجة الخارجة .

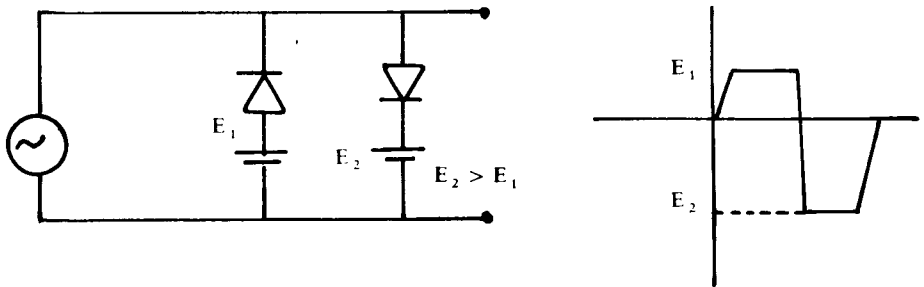
وتوجد دوائر اخرى تعمل على نفس الاساس ، للحصول على اشكال اخرى للموجات - انظر الشكلين (١٨-١٩) - كما ويمكن استعمال ثنائيات اضافية اخرى لاكثر عدد المستويات التي تتم عندها عملية التقليم وحسب شكل الموجة المرغوب فيها وتبين الدائرة في الشكل (٢٠) دائرة تتم فيها التقليم عند مستويين مختلفين هما  $E_1$  و  $E_2$



شكل ( ١٨ ) دائرة قطع



الشكل ( ١٩ ) دائرة قطع



الشكل ( ٢٠ ) دائرة القطع المضاعف

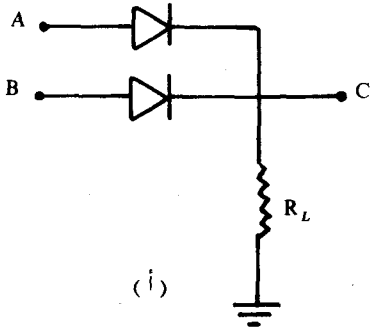
## 8-6 الثنائيات البلورية كعناصر لدوائر المنطق Logic circuits

عندما ظهرت الحاسبات الالكترونية عام 1940 كانت الصمامات الثنائية المفرغة تشكل العمود الفقري لهذه الاجهزة . الا ان تطور العلوم الالكترونية بشكل كبير وسريع وما رافق ذلك من ظهور الثنائيات البلورية والترانزستورات ادى الى استبدال الالاف من هذه الصمامات المفرغة بالثنائيات نصف الموصلة . واليوم تستخدم الحاسبات الالكترونية الحديثة الالاف من هذه الثنائيات ذات الحجم الكبير والاستهلاك العالي للقدرة . للقيام بالعمليات المنطقية وبسرع عالية جدا ذلك لان هذه الثنائيات تستطيع ان تغير حالتها من الاشباع ( في حالة كون التيار المار فيها أعلى ما يمكن ) الى حالة القطع ( التيار المار فيها يكون مساويا للصفر) في ظرف عدد من المايكروثانية (  $1\mu s = 10^{-6} \text{ sec}$  ) .

مما تقدم اعلاه يتبين لنا انه بالامكان استخدام هذه الثنائيات النصف موصلة لتصميم دوائر تمتاز بان الجهد عند طرف الاخراج اما ان يكون غالبا ( حالة قطع ) ويساوي 5 فولت مثلا او واطي ء ( حالة اشباع ) ويساوي صفرا . وبهذا يصبح بالامكان نظرا لهذه الخاصية الثنائية للجهد الخارج من هذه الدوائر ان تستخدم للقيام بالعمليات المنطقية او الحسابية : كالجمع والطرح وغيرهما . وعندما تدخل هذه الدوائر ضمن تركيب الحاسبات الالكترونية تعرف عندئذ بالبوابات المنطقية logic circuits . ان السبب في تسميتها بالبوابات يرجع الى ان هذه الدوائر قد تسمح لتيار الاشارات المسلطة عند مداخلها . بالسريان عند شروط معينة ولا تسمح له عند شروط اخرى وسنقوم هنا بدراسة بعض من هذه البوابات . املي ان نعود اليها في فصل لاحق . وهي :

أ- بوابة مع AND gate : - البوابة . وكما ذكرنا . هي دائرة كهربائية تمتلك مدخلين او اكثر وطرف اخراج واحد فقط ويكون جهد الخرج للبوابة اما عاليا او واطنا تبعا لنوع البوابة المستخدمة وكذلك تبعا لنوع جهد الدخل لهذه البوابة . وبوابة مع هذه الدائرة التي يكون جهد خرجها هي عاليا فقط عندما تكون جميع جهود الدخل لهذه البوابة عالية . او بعبارة اخرى ان جهد الاخراج سيكون واطنا اذا كان اي من جهود الادخال واطنا - لاحظ جدول الحقائق رقم (1) لهذه البوابة .

يشير الشكل (٢١أ) الى دائرة استخدم فيها الثنائي البلوري لتمثيل البوابة مع . اما الشكل (٢١ب) يشير الى الرمز الخاص لهذه البوابة .



(أ)

الدائرة الكهربائية لبوابة AND (أ)

A	B	C
0	0	0
1	0	0
1	0	0
1	1	1

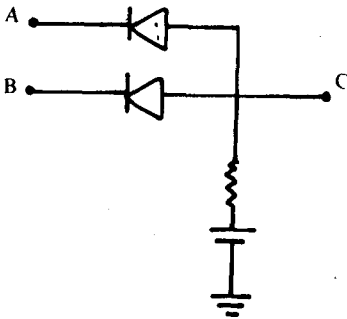


(ب)

الرمز المتداول لبوابة AND المنطقية .

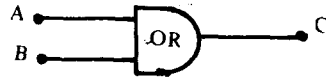
الشكل ( ٢١ ) دائرة AND .

ب- البوابة أو OR Gate : - يكون جهد الاخراج لهذه البوابة عاليا اذا كان جهد اي واحد من المداخل لهذه البوابة عاليا . او بعبارة اخرى يكون جهد الاخراج لهذه البوابة واطناً فقط في حالة كون جهود المداخل . لهذه البوابة . كلها واطناً - انظر جدول الحقائق (٢) لهذه البوابة ويمثل الشكل (٢٢ أ) دائرة البوابة او اما الشكل (٢٢ ب) فيشير الى الرمز الخاص لهذه البوابة .



(أ) الدائرة الكهربائية لبوابة OR

A	B	C
0	0	0
1	0	1
0	1	1
1	1	1



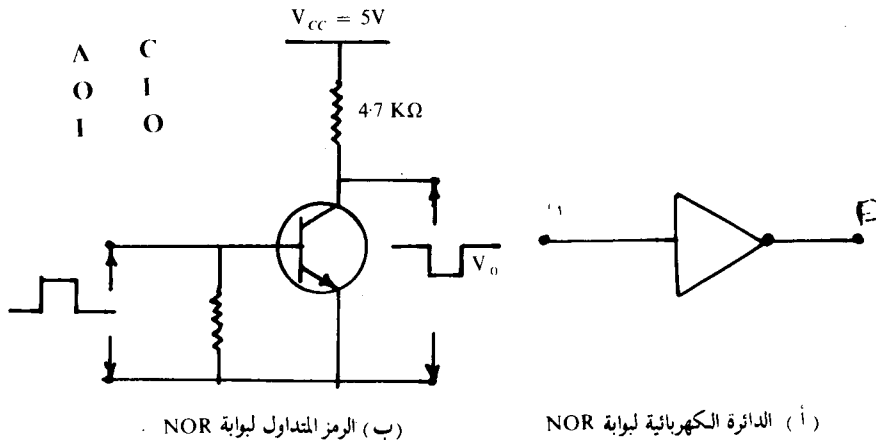
$$C = A + B$$

(ب) الرمز المتداول لبوابة OR

الشكل ( ٢٢ ) دائرة OR



ج- البوابة لا NOT gate : - يمكن فهم عمل هذه البوابة من النظر الى جدول الحقائق (٣) حيث نلاحظ ان عمل هذه البوابة يتلخص في عكس الجهد الداخل - اوعبارة اخرى اذا كان الجهد الداخل عالياً ( 5 فولت ) فان الجهد الخارج يكون واطناً ( صفراً ) والعكس صحيح . يشير الشكل (٢٢) الى دائرة البوابة لا اما رمزها فيمثله الشكل (٢٣ ب)



(ب) الرمز المتداول لبوابة NOR

(أ) الدائرة الكهربائية لبوابة NOR

الشكل (٢٣)

## 6 9 تنظيم الجهد Voltage Regulation

رأينا فيما سبق . ان ربط دائرة المقوم الى المرشح المناسب يمكن ان يزودنا بمصدر جيد للجهد المستمر الخالي من التموج ومع هذا فان هذه المصادر تبقى تعاني من عيب رئيسي وهو تغير قيمة الجهد الخارج لها عند تغير اي من جهد الداخل او مقاومة الحمل او كليهما . وعلى هذا الاساس فان اي تغير في جهد الداخل سوف يتبعه تغير في جهد الخارج . كذلك هو الحال بالنسبة لمقاومة الحمل . حيث ان اي تغير في قيمة هذه المقاومة سوف يتبعه تغير في قيمة التيار المار ومن ثم تغير في قيمة الهبوط في الجهد على مختلف العناصر التابعة لدائرتي المقوم والمرشح .

على أية حال . في الكثير من التطبيقات الالكترونية . يكون من المرغوب فيه استخدام جهد اخراج ثابت القيمة على الرغم من التغير في الجهد الداخل او في قيمة مقاومة الحمل لكي يتم الحصول على هذا النوع من الجهود يستخدم نوع من الدوائر تدعى بدوائر استقرار الجهد : voltage stabilizer او دوائر تنظيم الجهد voltage regulator

وعلى الرغم من ان هناك انواعاً عديدة من هذه الدوائر الا اننا سنقتصر على تلك الدوائر التي تستخدم ثنائي زينر في تنظيم الجهد الخارج .

1-9-6، ثنائي زينر كنظم للجهد : - ذكرنا فيما مضى - انظر الفصل الخامس - ان وصول الجهد العكسي المسلط على ثنائي زينر الى القيمة  $V_z$  سوف يؤدي الى حدوث تغير فجائي وزيادة عمودية كبيرة في التيار العكسي على الرغم من عدم حدوث تغير ملحوظ في الجهد عبر الثنائي وبالتالي فانه يصبح بالامكان الاستفادة من هذه الخاصية في تنظيم الجهد الخارج اي ثبوته عند قيمة معينة على الرغم من تغير الجهد الداخل ، باستخدام ثنائي زينر على النحو الاتي : -

يبين الشكل (٢٤) دائرة لتنظيم الجهد ويلاحظ في هذه الدائرة ان ثنائي زينر قد تم ربطه بصورة عكسية ليعمل في منطقة الانهيار ، كذلك يلاحظ ربط المقاومة  $R_s$  على التوالي مع الثنائي والمقاومة  $R_L$  حول هذا الثنائي في هذه الدائرة لدينا ان

$$V_L = V_{1n} - I_s R_s \quad \dots (38)$$

بحيث ان

$$I_s = I_z + I_L \quad \dots (39)$$

الان اذا فرضنا ان الجهد الداخل قد تغير من  $V_{1n}$  الى  $V'_{1n}$  فان هذا التغير في  $V_{1n}$  سوف يؤدي الى تغير في كل من  $I_z$  و  $I_L$  وحيث ان هذا التيار الجهد  $(I'_s = I'_L + I'_z)$  سوف يمر في المقاومة  $R_s$  لذا فانه سوف يحدث عليها هبوط قدرة

$$V'_s = I'_s R_s = (I'_L + I'_z) R_s \quad \dots (40)$$

مرة اخرى يكون الجهد الخارج  $V'_L$  مساوياً لـ

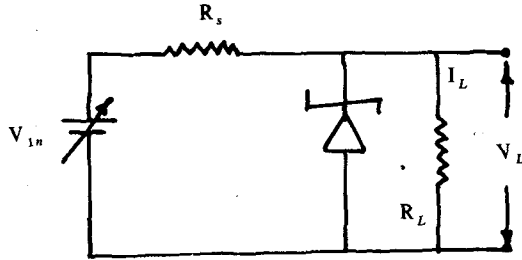
$$V'_L = V'_{1n} - I'_s R_L \quad \dots (41)$$

وهكذا يكون الفرق بين الجهد الداخل والهبوط على  $R_s$  واحد في كل الاحوال يكون الجهد الخارج لذلك واحداً ايضاً

ومن الجدير بالذكر ان  $R_s$  يتم حسابها عادة ، من المعادلة :

$$R_s = \frac{V_{in} - V_z}{I_L + 0.2 I_{z(max)}} \quad \dots (42)$$

حيث يمثل  $I_{z(max)}$  أقصى تيار يستطيع ثنائي زينر ان يتحمله .



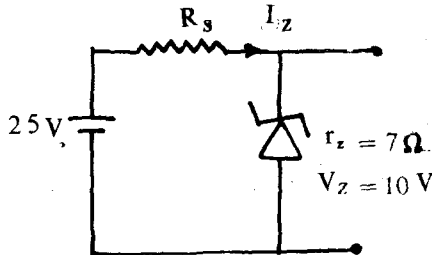
الشكل ( ٢٤ ) دائرة ثنائي زينر .

مثال : - في الدائرة ادناه اذا كانت  $R_s = 5$  كيلو اوم فاحسب التيار المنار ا

الحل : -

في هذه الدائرة نجد ان  $I_z = I_s$  وعليه ومن استخدام المعادلة (٣٨) نحصل على

$$25 = I_z \times 5 \times 10^3 + 10$$

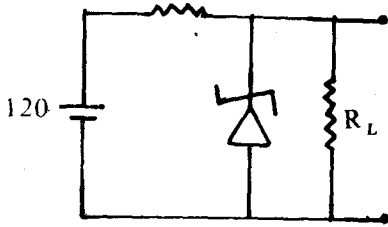


لذا فان

$$I_z = \frac{25 - 10}{5 \times 10^3} = 3 \text{ mA}$$

مثال : - في الدائرة ادناه اذا كانت  $R_L = 10$  كيلو أوم فاحسب تيار زينر  $I_z$ .

الحل : -



$$V_L = V_z = 50 \text{ V}$$

لدينا ان  
وعليه فان

$$I_L = \frac{50}{10 \times 10^3} = 5 \text{ mA}$$

كذلك لدينا ان

$$\begin{aligned} V_{in} &= I_s R_s + V_L \\ 120 &= I_s \times 5 \times 10^3 + 50 \end{aligned}$$

او ان

$$I_s = \frac{120 - 50}{5 \times 10^3} = \frac{70}{5 \times 10^3} = 14 \text{ mA}$$

من المعادلة (٣٩) نجد ان

$$I_z = I_s - I_L$$

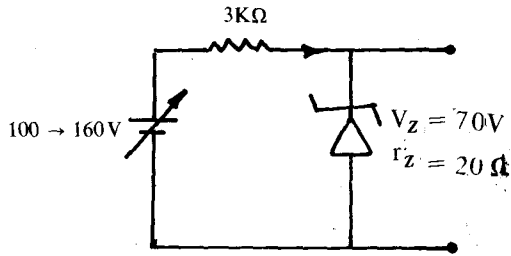
وعليه فان

$$I_z = 14 - 5 = 9 \text{ mA}$$

مثال : - في الدائرة ادناه اذا كان الجهد الداخل يتغير من 100 الى 160 فولت فاحسب مقدار التغير في الجهد الخارج.

الحل : -

تحسب اولاً الجهد الخارج عند ما يكون الجهد الداخل 100 فولت هو المسلط وذلك من معرفة ان



$$100 = I_z \times 3 \times 10^3 + 70$$

$$\therefore I_z = \frac{30}{3 \times 10^3} = 10 \text{ mA}$$

ومن معرفة ان

$$V_0 = V_z + I_z r_z$$

... (43)

نجد ان

$$V_0 = 70 + 10 \times 10^{-3} \times 20$$

$$= 70.2 \text{ V}$$

وباتباع نفس الطريقة نحصل على التيار المار  $I'_z$  في الدائرة عند تسليط الجهد 200 فولت : اي ان

$$I'_z = \frac{160 - 70}{3 \times 10^3} = \frac{90}{3 \times 10^3} = 30 \text{ mA}$$

وكذلك نجد الجهد الخارج

$$V'_0 = V_z + I'_z r_z$$

$$V'_0 = 70 + 30 \times 10^{-3} \times 20$$

$$= 70.6 \text{ V}$$

وعليه فان التغير في الجهد الخارج يكون مساويا لـ

$$\begin{aligned}\Delta V_0 &= V'_0 - v_0 \\ &= 70.6 - 70.2 = 0.4 \text{ V}\end{aligned}$$

يظهر لنا هذا المثال بشكل جيد طبيعة عمل ثنائي زينر حيث انه على الرغم من التغير الكبير الحاصل في الجهد الداخلى (60 فولت) الا ان القيمة في الجهد الخارج كان مساويا لـ 0.4 فولت فقط . ترى اين يكمن السبب ؟

## أسئلة ومساائل

(1) اذكر أهم خواص الثنائي البلوري ثم قارن بينه وبين الصمام الثنائي المفرغ من حيث المحاسن والمساويء

(2) وضح بالتفصيل لماذا لا تصلح الثنائيات البلورية للعمل عند الترددات العالية .

(3) يسوء بشدة عمل اجهزة اشباه الموصلات بتأثير الاشعاع المؤين . ناقش هذه العبارة بالتفصيل .

(4) ما المقصود بالتقويم وما سبب استخدام الثنائيات في عملية التقويم ؟

(5) استخدم منحني الخواص الثنائي لاثبات صلاحية استخدام هذا الثنائي في عملية التقويم

(6) ارسم دائرة تقويم نصف موجه . اشرح عملها ثم احسب كفاءتها .

(7) عرف معدل القيمة للتيار ثم ارسم الدائرة المناسبة للحصول على تيار معدل قيمته  $\frac{I_m}{\pi}$  علما بان الموجة الداخلة هي  $v = V_m \sin \omega t$

(8) ما أقصى كفاءة يمكن الحصول عليها من دائرة مقوم نصف موجه ؟ ولماذا ؟

(9) ما الاحتياطات الواجب مراعاتها عند تصميم دائرة نصف موجه ؟

(10) في الشكل (3) ما سبب استعمال المحولة ذات النقطة الوسطية ؟ اشرح بالتفصيل .

(11) عرف جهد الذروة العكسية ثم اشرح تأثيره في كل من دائرة مقوم نصفي وكامل للموجات .

(12) اشرح مع الرسم عمل دائرة قنطرة التقويم

(13) عدد اوجه التشابه والاختلاف بين المقوم الكامل وقنطرة التقويم

(14) عرف عامل التموج ثم احسبه في كل من الموجة الناتجة من دائرة مقوم نصف موجة ودائرة مقوم موجة كاملة . ماذا تعني النتيجة ؟ ناقش ذلك

(15) تكون فعالية الدائرة اكبر كلما كان عامل التموج التابع لها اصغر . وضح ذلك .

(16) ما المقصود بدوائر الترشيح ؟ ولماذا تستعمل ؟

(17) اشرح بالتفصيل عمل مرشح سعوي ؟

(18) ما التيار المفاجيء ؟ وما نوع الضرر الذي يمكن ان يسببه ؟ وكيف تتم معالجته ؟

(19) اشتق العلاقة (35) بالنسبة لمقوم موجة كاملة .

(20) ما المقصود بمقاومة النزف ؟ ولماي الاغراض تستخدم ؟ وضح ذلك .

- (21) ايهما افضل مرشح T من نوع متسعة - مقاومة ام من نوع متسعة - ملف ولماذا ؟  
 (22) اشرح بالتفصيل عمل كل من الدوائر الاتية : -

أ- دائرة الالزام ب- دائرة مضاعف الفولتية ج- دائرة التقليم  
 مع ضرب الامثلة التوضيحية .

- (23) ما المقصود بدوائر المنطق ؟ اشرح عمل دائرة المنطق AND  
 (24) ما ثنائي زينر؟ وكيف يختلف عن الثنائي البلوري ؟  
 (25) اشرح بالتفصيل كيف يعمل ثنائي زينر على تنظيم الفولتية الخارجة .  
 (26) ما مفهوم المقاومة الـ d.c والمقاومة الـ a.c للثنائي البلوري وكيف يتم حسابهما ؟  
 ارسم الدائرة المكافئة للثنائي البلوري  
 (27) فولتية متناوبة قدرها 230V سلطت على دائرة مقوم نصف موجه خلال محولة ذات نسبة 10 : 1 لفة . احسب (أ) الفولتية المستمرة الناتجة (ب) فولتية الدروة العكسية

(28) ثنائي بلوره بمقاومة 20 اوم اذا كانت الفولتية المسلطة هي  $R_T = 800\Omega$ ,

لماذا  $v = 50 \sin \omega t$  فاحسب (أ)  $I_{r.m.s}$ ,  $I_{d.c}$ ,  $I_m$  (ب) القدرة الـ a.c

والـ d.c الخارجة (ج) الفولتية الـ d.c (د) الكفاءة

(29) اعد السؤال اعلاه بالنسبة لدائرة مقوم كامل للموجات

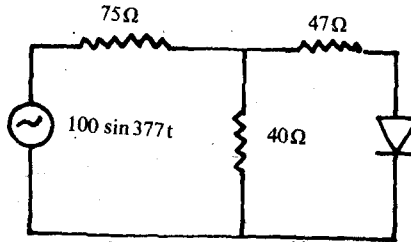
(30) الفولتية الثانوية العظمى لقنطرة تقويم تساوي (20 V) . ما مقدار عامل التموج فولتية في الاخراج ؟

(31) لمقوم قنطري فولتية اخراج مستمرة قدرها 80V وعامل تموج 5% . ما مقدار

فولتية تموج الاخراج .

(32) في الدائرة ادناه اذا كان اقصى تيار يتحمله الثنائي هو 0.5A . فهل يمكن

استعمال الثنائي في الدائرة ؟





# الفصل السابع

## الترانزستور

### The Transistor

#### 1 - 7 المقدمة

ادت معرفة خاصية التكبير التي تحصل في انصاف الموصلات . للتيار الى اختراع ترانزستور النقطة Point transistor عام 1947 حين تمكن كل من الباحثين باردن ومارتن من مختبرات شركة بيل Bell الاميركية للتلفونات من اختراعه .

ومنذ ذلك الحين اجريت محاولات عديدة وبذلت جهود مكثفة لاستخدام وتطوير العديد من الاجهزة شبه الموصلة حتى تم تصنيع اول ترانزستور وصله Junction Transistor في عام (1951) على اثر وضع شوتكي Schottky عام (1949) لنظرية عمل هذا الترانزستور .

ان اصل تسمية هذا الجهاز بالترانزستور نابع من طبيعة عمل هذا الجهاز عند ربطه في الدوائر الكهربائية . حيث ان الجزء الاول من هذه الكلمة ( trans ) تشير الى الخاصية التي يمتلكها هذا الجهاز في نقل الاشارة من دائرة الادخال - ذات المقاومة الصغيرة - الى دائرة الاخراج - ذات المقاومة العالية - من غير نقصان يذكر او بشكل مكبر . اما الجزء الثاني من هذه الكلمة ( istory ) فتصف الجهاز بانه عنصر صلب من عائلة المقاومة .

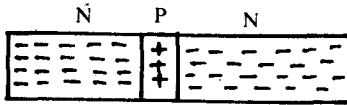
لقد ادى اكتشاف الترانزستور الى جميع انواع الاختراعات ذات الصلة المباشرة مثل

الدوائر المتكاملة والمكونات الالكترونية الضوئية والمعالجات الدقيقة microprocessor  
 ان هذا التطور السريع في علم الالكترونيات لم يكن ليحدث لولا اكتشاف الترانزستور،  
 مما يشير الى تفوق هذا الثلاثي الجديد ذي الحالة الصلبة على الصمامات المفرغة في  
 جملة امور، منها : -  
 أ - يعمل انيا ولا يحتاج الى وقت للتسخين مما يشير الى قلة استهلاكه للقدره التي  
 ينتج عنها العمل بكفاءة عالية .

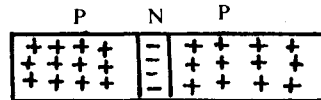
- ب - سهولة تصنيعه وصغر حجمه ورخص ثمنه  
 ج - يمكن تشغيله من جهد واطيء  
 د - يمتلك عمراً طويلاً مقارنة بالصمامات المفرغة ويقاوم التلف عند التعرض للصدمات  
 والاهتزازات .

## 2-7 الخصائص الأساسية للترانزستور

أ - المكونات : - يرتبط الترانزستور مع الثنائي البلوري بعلاقة وثيقة ويشابهه في  
 كثير من التطبيقات الا ان الفرق الرئيسي بين الثنائي والترانزستور هو ان هذا الاخير يتكون  
 من وصلتين PN متعاكستين بدلا من واحدة . وعليه فان الترانزستور يتكون من بلورة  
 واحدة من شبه موصل ( سيلكون او جرمانيوم ) بثلاث مناطق يكون ترتيبها اما على هيئة  
 NPN او PNP - انظر الشكل (1) .



PNP ( أ )



مجمع قاعدة باعث

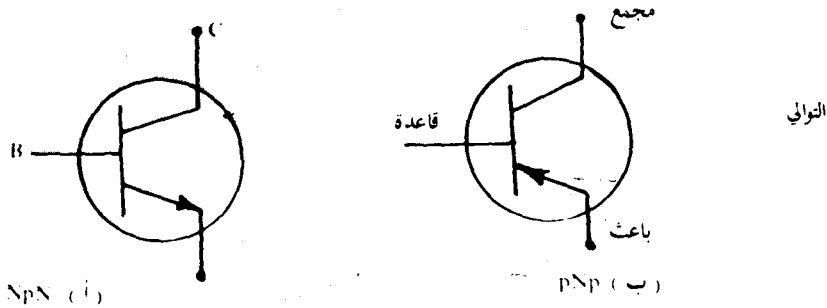
PNP ( ب )

الشكل ( 1 ) مكونات الترانزستور

لتجنب الارباك سنركز اولا على الترانزستور من نوع NPN اخذ بن منظور  
 الاعتبار ان الترانزستور PNP هو المتعكس للترانزستور NPN  
 وهذا يعني ان اتجاه التيارات وقطبية الجهود في الترانزستور PNP هي عكس  
 التيارات والجهود في الترانزستور NPN

في الشكل (أ) تسمى منطقة الترانزستور التي تأتي على اليسار بالباعث emitter ويكون منسوب تطعيمه بالشوائب عاليا ويقوم بحقن القاعدة - المنطقة الوسطى - بحاملات الاغلبية ( الالكترونات ) وعليه فانه يفترض والحالة، هذه . ان يكون جهد انحيازة اماميا . اما القاعدة base وهي موجبة هنا . فيجب ان تكون بسلك اقل ( عدة ميكرونيات ) ومنسوب تطعيم اخف وهذا شرط اساسي لعمل الترانزستور . تقوم القاعدة بتمرير معظم الالكترونات المحقونة الى منطقة المجمع collector ويتراوح تطعيم المجمع بين التطعيم الغزير للباعث وبين تطعيم القاعدة الخفيف وسمى بالمجمع لانه يلتقط او يجمع الالكترونات من القاعدة . يكون جهد المجمع - عند ربطه في الدائرة - عكسيا وعليه فان مقاومته تكون كبيرة ويكون المجمع هو الاكبر بين المناطق الثلاث لان عليه ان يبدد من الحرارة  $(I^2R)$  اكثر مما يبدده الباعث او المقاومة .

ب- رمز الترانزستور : - ذكرنا توا ان هناك نوعين من الترانزستور الثنائي القطبية هما ال NPN و PNP . ولغرض التفريق بينهما والتعرف على اتجاه التيارات المارة في الدوائر الخاصة بهما . يصبح من الضروري تمثيل كل منهما والرمز له برسم بسيط يعبر عن تركيبه واتجاه التيارات المارة فيه . هذا وقد اصطلح على ان يكون الشكل ( ٢ أوب ) الرمز الخاص بترانزستور من نوع PNP و NPN وعلى التوالي .



الشكل ( ٢ ) الرمز المتداول للترانزستور

يمتلك الباعث دون المجمع رأس سهم . ولاتجاه السهم هذا اهمية خاصة حيث انه يشير الى نفس اتجاه تيار الباعث المتعارف عليه وبالتالي فان الفرق بين الرمزين هو في اتجاه السهم . او بعبارة اخرى ان تيار الباعث في النوع NPN يخرج من الباعث

بينما يجري تيار القاعدة وتيار المجمع الى خارج الترانزستور اما في حالة الترانزستور من نوع pNp فان تيار الباعث يجري الى داخل الترانزستور في حين يخرج من الترانزستور كل من تيار القاعدة والمجمع - انظر الشكل (٢ ب).

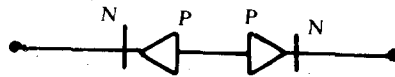
ج- مبدأ عمل الترانزستور : - تمت الاشارة اعلاه الى ان الترانزستور يتكون من وصلتين pN متعاكستين لذا فانه من المتوقع ان تكون خصائصه الكهربائية مشابهة لتلك التي لثنائين بلورين مربوطين ظهراً لظهور . - انظر الشكل (٣) - وتحت شروط معينة . فعلى سبيل المثال عندما يكون طرف المجمع مفتوحاً open-circuited اي ان تيار المجمع يساوي صفراً (  $I_c = 0$  ) . فان وصلة القاعدة - الباعث تسلك سلوك ثنائي بلوري ويكون التيار المار هو

$$I_B = I_E = I_s (\exp(A V_{bc}) - 1) \quad I_c = 0 \quad \dots (1)$$

حيث ان  $I_s$  يمثل تيار الاشباع لوصلة الباعث - قاعدة ويكون الثابت A مساوياً لـ  $40 = \frac{e}{kT}$  ملي فولت . كذلك عندما يكون طرف الباعث مفتوحاً ( $I_E = 0$ ) فان

$$I_B = I_c = I_s (\exp(A V_{cb}) - 1) \quad I_E = 0 \quad \dots (2)$$

حيث يمثل  $I_s$  تيار الاشباع لوصلة المجمع - قاعدة

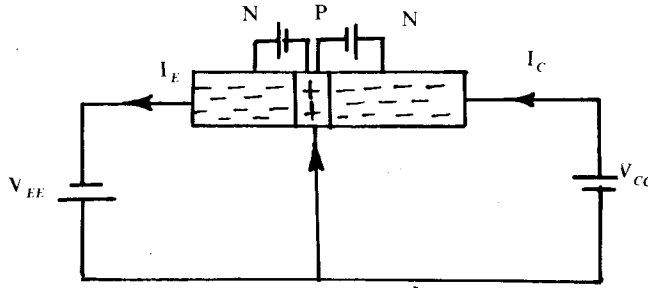


الشكل (٣) الثنائان المكافئان للترانزستور .

على اية حال فانه من الناحية العملية لا يكون اي من الباعث او المجمع مفتوحاً وانما يتم ربطهما في وقت واحد ومن هنا يكون لدينا اربع حالات لتحيز الترانزستور وهي :-

- 1 - انحياز امامي - امامي
- 2 - انحياز عكسي - عكسي
- 3 - انحياز امامي - عكسي
- 4 - انحياز عكسي - امامي

ومع هذا فان الذي يهمنا من بين هذه الحالات الاربعة ، الحالة رقم (٣) : اي عندما يكون الباعث منحازا اماميا ( اي سالبا بالنسبة للقاعدة ) والمجمع منحازا عكسياً ( اي موجبا بالنسبة للقاعدة ) - انظر الشكل (٤) .



الشكل (٤) دائرة الانحياز ( امامي - عكسي ) للترانزستور .

في هذا الشكل يجهز المصدر  $V_{EE}$  وصلة الباعث - قاعدة بالانحياز الامامي بينما يزود المصدر  $V_{CC}$  وصلة المجمع - قاعدة بالانحياز العكسي .

في لحظة تسليط الانحياز الامامي على ثنائي الباعث لا تكون الكترولونات الباعث قد دخلت منطقة القاعدة الا بعد ان تصبح  $V_{EE}$  - او بالأحرى  $V_{EB}$  - اكبر من الجهد الحاجز . عندها يبدأ الباعث بحقن القاعدة بالكترولونات - الحاملات الاغلبية - مؤديا بذلك الى احداث تيار في دائرة الباعث يدعى بتيار الباعث  $I_E$  . من جهة أخرى تتحرك الفجوات في القاعدة نحو الباعث . وحيث أن نسبة تطعيم القاعدة تكون واطئة جداً فان معظم تيار الانتشار هذا يكون بسبب من حركة الكترولونات .

من جهة أخرى . تكون وصلة المجمع - قاعدة منحازة عكسياً وبذلك فان الحاملات التي تعبّر هذه الوصلة هي الحاملات الاقلية المتولدة حرارياً مكونة بذلك تياراً يدعى بتيار التسرب ويرمز له بـ  $I_{CBO}$  .

الى هنا والأمر لا يختلف عن سلوك ثنائي بلوري يقع مرة تحت جهد انحياز امامي ومرة تحت انحياز جهد انحياز عكسي وعلى التوالي . مع هذا فانه يبقى هناك تساؤل عن مصير الكترولونات المحقونة من الباعث الى القاعدة : اي طريق ستسلك ؟ ذلك لان هذه الكترولونات تستطيع المرور في اتجاهين : أ) الى أسفل القاعدة الرقيقة ومن ثم الى سلك توصيلها الخارجي اوب) عبر وصلة القاعدة - مجمع الى منطقة المجمع .

من أجل أن تسري الإلكترونات الى أسفل خلال منطقة القاعدة عليها ان تسقط في فجوات ، اي تعيد التحامها بفجوات القاعدة وبعد ذلك تستطيع ان تسير الى اسفل خلال فجوات القاعدة المتجاور الى سلك القاعدة الخارجي كالالكترونات تكافؤية . ان هذه المركبة ذات الاتجاه السفلي من تيار القاعدة تسمى بتيار اعادة الالتحام recombination وتكون صغيرة لخفة تطعيم القاعدة .

هناك شيء حاسم يحدد طبيعة عمل الترانزستور هو كون القاعدة رقيقة جداً وبالتالي فانها تتيح زمن بقاء كافيا لمعظم الالكترونات الباعث بالانتشار الى طبقة الاستنزاف المجمع او بعبارة أخرى ان كون القاعدة رقيقة وتركيز الثقوب فيها غير كبير ، فان غالبية الالكترونات ستمر خلال القاعدة دون ان تتحد مع الثقوب وتصل الى وصلة المجمع .

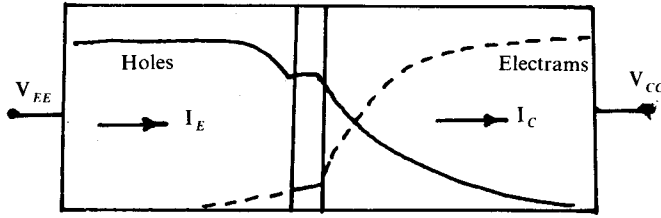
بعد ذلك يقوم مجال طبقة الاستنزاف\* بدفع تيار ثابت من الالكترونات الى منطقة المجمع ومن ثم الى سلك توصيل المجمع الخارجي . أكثر من 95% من الالكترونات الباعث المحقونة تعبر الى المجمع واقل من 5% تسقط في فجوات القاعدة .

من هنا يتضح لنا مبدأ عمل الترانزستور في ان جهد وصلة الباعث - قاعدة يؤثر على تيار المجمع كثيراً ، فكلما ازداد هذا الجهد ( $V_{EB}$ ) ازداد تيار الباعث وتيار المجمع تبعاً لذلك علماً بأن التغيير في تيار المجمع لا يقل عن التغيير في تيار الباعث الا قليلاً وهكذا يتحكم  $V_{EB}$  - اي جهد الدخل - في تيار المجمع . وعلى اساس من هذه العملية بالذات يقوم الترانزستور كما سنرى لاحقاً - بتكبير الاشارات الكهربائية .

لا بد لنا ان نذكر انه عند المسافات ، بعيداً عن ملتقى الباعث - قاعده والمجمع - قاعده ، فان التيار المار في وصلة الترانزستور ، يتكون من حركة الفجوات ( حركة الالكترونات التكافؤية ) في الباعث من النوع السالب ومن الالكترونات في المجمع السالب - انظر الشكل (5) .

---

\* يصاحب تغير الجهد على وصلي ملتقى المجمع وملتقى الباعث بتغير في سمكي طبقة الاستنزاف لكلا الوصلتين ولذلك بتغير سمك القاعدة وعندها تصبح رقيقة جداً وقد تحدث لها عملية التصاق او انسداد ( وتسمى احياناً بقبب القاعدة puncture ) اذ تتصل وصلة المجمع بوصلة الباعث وعند ذلك تختفي منطقة القاعدة ويتوقف الترانزستور عن العمل السليم .



الشكل ( ٥ ) مركبات التيار في الترانزستور .

اما بالنسبة للتيارات المارة في سلكي التوصيل للباعث والمجمع فتتكون من الالكترونات التي يجهزها المصدر السالب - للتعويض عن تلك الالكترونات التي تم حقنها الى المجمع - وكذلك من الالكترونات المزالة من المجمع بواسطة المصدر الموجب وبهذا فان التوصيل في الترانزستور يتم بواسطة كل من الالكترونات والفجوات وبذلك يطلق على هذا النوع من الترانزستورات بترانزستور الوصلة الثنائي القطبية ( Bipolar Junction Transistor ( BJT )

مما جاء اعلاه نستطيع ان نخرج بالنقاط الاتية :-

- أ- ان الانحياز الامامي على ثنائي الباعث يسيطر على عدد الالكترونات المحقونة الى القاعدة وكلما كبرت  $V_{EB}$  ازداد عدد الالكترونات المحقونة اي ازداد تيار الباعث  $I_E$  .
- ب- بما ان وصلة الباعث منحازة اماميا ووصلة المجمع عكسياً لذا فان عرض منطقة الاستنزاف عند وصلة المجمع تكون اكبر بكثير مما هي عليه عند وصلة الباعث وبهذا فان امتداد منطقة هنا استنزاف المجمع في منطقة القاعدة يزداد كلما ازداد الانحياز العكسي  $V_{CB}$  ، الا ان تأثير هذا يكون ضعيفا على عدد الالكترونات التي تصل المجمع ، اي ان زيادة  $V_{CB}$  تزيد من انحدارات المجمع ولكنها لا تغير من عدد الالكترونات الواصلة الى طبقة استنزاف المجمع تغيرا ملحوظاً . ان وجود هذا الانحياز العكسي سوف يعمل على تسليط قوة جذب على هذه الالكترونات مؤديا بذلك الى سريان تيار المجمع .
- ج- يكون ثنائي الباعث - قاعدة منحازاً امامياً بصورة دائمة ويكون ثنائي المجمع - قاعده منحازاً عكسياً بصورة دائمة .

د - تكون مقاومة ثنائي الباعث - قاعدة صغيرة جداً مقارنة مع مقاومة ثنائي المجمع -  
قاعده وعليه فان جهد الانحياز على الباعث اصغر بكثير من الانحياز العكسي  
على المجمع .

### 7-3 طرق ربط الترانزستور

هناك وكما هو معلوم ، ثلاثة اطراف في الترانزستور ، وهي : الباعث والقاعدة ،  
والمجمع ، ومع هذا فان الطريقة العملية المتبعة في ربط الترانزستور تفترض وجود مدخل  
واحد ومخرج واحد ، اي وجود اربعة اطراف : اثنين منها للدخول والاثنين الاخرين  
للخروج .

للتغلب على هذه المشكلة يعتمد الى جعل احد الاطراف الثلاثة مشتركاً بين طرفي  
الادخال والاخراج وبهذا فان طرفي الادخال يتم تشكيلهما من احد الاطراف والطرف  
المشترك بينما يكون الطرف الاخر والطرف المشترك طرفي الاخراج وعليه فانه يصبح  
بالامكان ربط الترانزستور في الدوائر بالطرق الاتية :

1 - ربط القاعدة المشتركة ( CB ) Common Base

2 - ربط الباعث المشترك ( CE ) Common Emitter

3 - ربط المجمع المشترك ( CC ) Common Collector

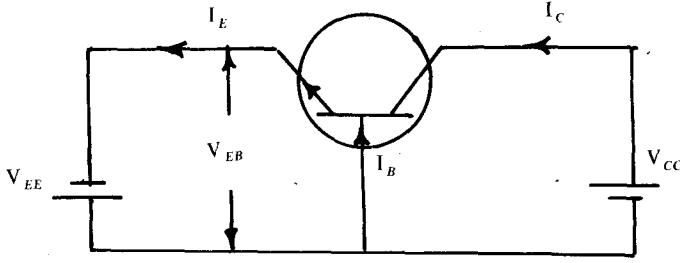
لكل من هذه الانواع الثلاثة محاسنه ومساوئه التي ستعرض لها تباعاً الا انه يجب  
ملاحظة - بغض النظر عن طريقة الربط - ان الباعث يتم تحيزه امامياً وبشكل دائم  
بينما يتم تحيز المجمع بصورة عكسية .

#### 1 3 7 ربط القاعدة المشتركة : -

يشير الشكل (٦) الى ترانزستور من نوع NpN ثم ربطه في الدائرة على هيئة  
القاعدة المشتركة common base configuration . يلاحظ في هذا الشكل ان  
الباعث يمثل طرف الادخال بينما يمثل المجمع طرف الاخراج بينما تم ربط القاعدة  
الى الارضية بحيث اصبحت مشتركة بين طرفي الادخال والاخراج .

كذلك يلاحظ انه تم تحيز وصلة الباعث - قاعدة امامياً . مؤدياً بذلك الى سريان  
التياران  $I_1$  و  $I_2$  بالاتجاهين الموضحين ادناه . في حين تم تحيز وصلة المجمع -





الشكل ( ٦ ) دائرة الترانزستور NPN .

قاعدة عكسيا مما نتج عنه توليد التيار  $I_C$  في الاتجاه الموضح ، وبذلك يمثل  $I_E$  تيار الادخال في ربط القاعدة المشتركة بينما يمثل  $I_C$  تيار الاخراج .

على اية حال ، ان تسليط انحياز عكسي على وصلة المجمع يؤدي كما رأينا ، الى احداث طبقة استنزاف عريضة يمتد الجزء الاكبر منها في القاعدة وذلك لخفة منسوب تطعيم هذه القاعدة مما يعمل على جعل القاعدة رقيقة جداً وبذلك فان معظم الالكترونات المحقونة من الباعث تعبر الى منطقة المجمع محدثة تيار المجمع  $I_C$  .

وكما يحدث في الثنائي البلوري فان لجهد الانحياز هذا تأثيرا على ازواج الالكترونات - الفجوات المتولدة بفعل الحرارة في هذه المنطقة ، مما يعمل على جذب الالكترونات المتولدة - مضيفا بذلك تياراً الى التيار الرئيسي  $I_C$  - ودفع الفجوات المتولدة الى الباعث عبر القاعدة تماما كما يحدث لفجوات القاعدة الموجودة اصلا . ان هذا التيار المتولد من حركة كل من الفجوات والالكترونات المتولدة حراريا ، يدعى بتيسار التسرب « leakage current » ويرمز له بـ  $I_{CBO}$  ويكون موجوداً بغض النظر عن وجود تيار الباعث او عدم وجوده .

يتضح لنا مما تقدم ، ان تيار المجمع يتكون من جزئين : الاول يمثلته الجزء الاكبر من تيار الباعث الذي يصل منطقة المجمع والثاني تيار التسرب  $I_{CBO}$  . لذا فان

$$I_C = \alpha I_E + I_{CBO} \quad \dots (3)$$

يلاحظ من المعادلة اعلاه ما يأتي :

أ- ان وضع ( $I_E = \text{صفر}$ ) يجعل من  $I_C$  مساويا لتيار التسرب  $I_{CBO}$  .  
 او بعبارة أخرى ان تيار التسرب يكون موجوداً بغض النظر عن وجود  $I_E$  .

ب- في حالة كون  $I_{CBO}$  صغيراً بحيث يمكن اهماله ( غالباً ما يكون هذا الافتراض صحيحاً الا في درجات الحرارة العالية ) تكون

$$\alpha = \frac{I_C}{I_E} \quad \dots (4)$$

وتعطي  $\alpha$  هنا النسبة بين تيار المجمع المستمر وتيار الباعث المستمر في الترانزستور وتسمى  $\alpha$  بمعامل كسب التيار للإشارات الكبيرة Large-signal current gain عند ربط الترانزستور بهيئة القاعدة المشتركة وتتراوح قيمة  $\alpha$  للترانزستور الجيد . بين 0.9 الى 0.99 مشيرة بذلك الى ان تيار المجمع لا يختلف كثيراً عن تيار الباعث .

فضلاً عن ما ذكر اعلاه ومن خلال تطبيق قانون كيرشوف على الدائرة - الشكل ( ٦ ) - وكذلك من ملاحظة اتجاه التيارات في هذه الدائرة نحصل على :

$$I_E = I_C + I_B \quad \dots (5)$$

ان ماتقوله المعادلة (5) هو بالضبط ماقلناه سابقاً من ان تيار الباعث ينقسم الى قسمين هما : تيار المجمع وتيار القاعدة . اي ان

$$I_E = I_C + I_B \quad \dots (6)$$

وعند التعويض عن  $I_C$  بـ  $\alpha I_E$  في المعادلة اعلاه . واعتبار  $I_{CBO}$  مساويا للصفر نحصل على

$$I_B = (1 - \alpha) I_E \quad \dots (7)$$

أوان

$$I_B = \left( \frac{1 - \alpha}{\alpha} \right) I_C$$

وعادة ما يستخدم الرمز  $\beta$  ليمثل النسبة  $\left( \frac{\alpha}{1 - \alpha} \right)$  وعليه فان

$$I_c = \beta I_B \quad \dots (8)$$

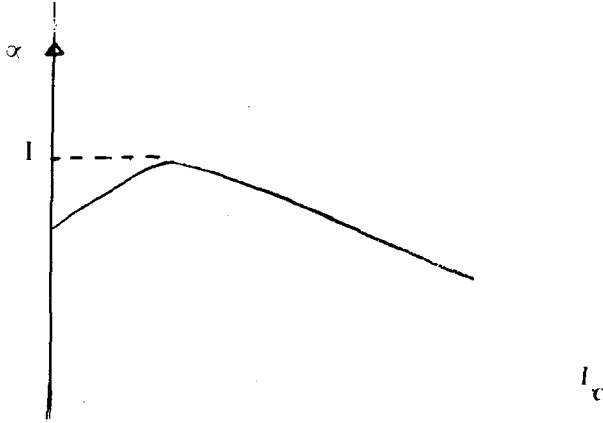
بمعنى ان اي تغير في  $I_B$  سوف يصاحبه تغير في  $I_c$  على افتراض ان  $\beta$  كمية ثابتة لا تعتمد على تغير  $I_B$  او ان

$$\beta = \frac{I_c}{I_B} \quad \dots (9)$$

هذه النسبة غالبا ماتدعى بعامل تكبير الاشارة الصغيرة وتكتب في بعض الاحيان بـ  $h_{FE}$  كما سنرى لاحقا .

### 2-3-7 منحنيات الخواص لدائرة القاعدة - المشتركة :

لاستطيع المعادلات السابقة ، المعادلة رقم (3) الى المعادلة (9) ، اعطاء فكرة كاملة عن السلوك الكهربائي للترانزستور في الدوائر الكهربائية لان  $\alpha$  للترانزستور الواحد - على شيبيل المثال - غير ثابتة القيمة وانما تتغير مع كل من  $I_c$  و  $V_{CB}$  - انظر الشكل (7) - حيث يلاحظ في الشكل (7 أ) ان  $\alpha$  تزداد مع زيادة  $I_c$  ثم تبدأ بالتقصان عند زيادة  $I_c$  عن حد معين كذلك يلاحظ ان  $\alpha$  تزداد مع زيادة  $V_{CB}$  - الشكل (7 ب) .



الشكل (7)

من جهة اخرى تفترض هذه المعادلات ان  $I_E$  معروفة الا ان معرفة  $I_E$  تقتضي معرفة تغير  $I_E$  مع  $V_{BE}$  . ومن هنا فان التعرف بصورة كاملة على سلوك الترانزستور في الدوائر لا يتم الا من خلال التعرف على مختلف العلاقات بين مختلف التيارات والجهود ذات العلاقة .

التيارات والجهود المتناظرة . وفي الترانزستور يوجد ترابط متبادل دائما بين اربعة مقادير :  
تياري وجهدي الادخال والايخراج  $i_{1n}$  و  $i_0$  و  $v_{1n}$  و  $v_0$  ولا يمكن توضيح هذه  
العلاقة بمجموعة مميزات واحدة ولا بد من استخدام مجموعتين من المميزات . وفضل  
طريقة لذلك هي ان نتناول دراسة مجموعة مميزات الدخول  $i_{1n} = f(v_{1n})$  مع  
مجموعة مميزات الخروج  $i_0 = f(v_0)$

أ- مميزات الادخال :- تشير مميزات الادخال الى المنحنيات او المنحنى الذي يمثل  
العلاقة بين تيار الادخال  $I_E$  ، في ربط القاعدة المشتركة . وجهد الادخال اي جهد  
الباعث - قاعدة  $V_{BE}$  عند قيمة ثابتة لجهد المجمع - قاعدة  $V_{CB}$

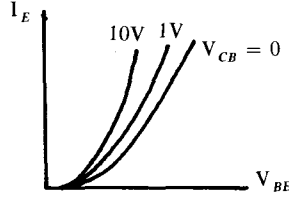
يؤخذ تيار الباعث عادة على المحور الصادي بينما يمثل المحور السيني جهد الباعث -  
قاعدة ويشير الشكل ( ٨ ) الى منحنى نموذجي لمميزات الادخال لربط القاعدة المشتركة .  
ومن معاينة الشكل تستطيع ملاحظة النقاط الآتية :

1- يزداد تيار الباعث زيادة كبيرة مع زيادة صغيرة في الجهد  $V_{EB}$  ، مما يشير الى  
صغر مقاومة الادخال . تعرف مقاومة الادخال بأنها النسبة بين التغير الحاصل في جهد  
الباعث - قاعدة  $\Delta V_{BE}$  الى التغير الحاصل في تيار الباعث  $V_{CB}$  عند ثبوت  $V_{CB}$

$$r_i = \frac{\Delta V_{EB}}{\Delta I_E} \quad V_{CB} = \text{constant}$$

في الحقيقة تمثل  $r_i$  مقدار المقاومة التي تبديها دائرة الدخل بالنسبة الى اشارة التيار .  
وحيث ان تغيرا صغيرا في  $V_{EB}$  يؤدي الى احداث تغير كبير في تيار الباعث لذا فانه  
من المتوقع ان تكون  $r_i$  صغيرة وفي حدود بضع أومات .

2- على الرغم من أن تأثير زيادة  $V_{CB}$  على  $I_E$  ليس كبيراً الا أنه من  
الواضح ان  $I_E$  عند قيمة معينة ل  $V_{EB}$  . يزداد مع زيادة  $V_{CB}$  . ان تأثير  
 $V_{CB}$  يتأتى من زيادة عرض منطقة الاستنزاف عند وصلة المجمع قاعدة ( ظاهرة  
التقب ) .



الشكل ( ٨ ) تأثير زيادة  $V_{CB}$  على منحنى  $(I - V)$  للترانزستور .

ب- مميزات الاخراج : - تمثل مميزات الاخراج المنحنيات التي تربط بين تيار الاخراج  $I_c$  وجهد المجمع - قاعدة  $V_{CB}$  لقيم مختلفة ولكنها ثابتة لتيار الادخال  $I_F$  . عادة ما يمثل المحور الصاري تيار المجمع  $I_c$  بينما يؤخذ جهد المجمع - قاعدة على المحور السيني ، انظر الشكل (٩) الذي يبين مجموعة منحنيات الخرج لترانزستور نموذجي بهيئة القاعدة - المشتركة  $CB$  .

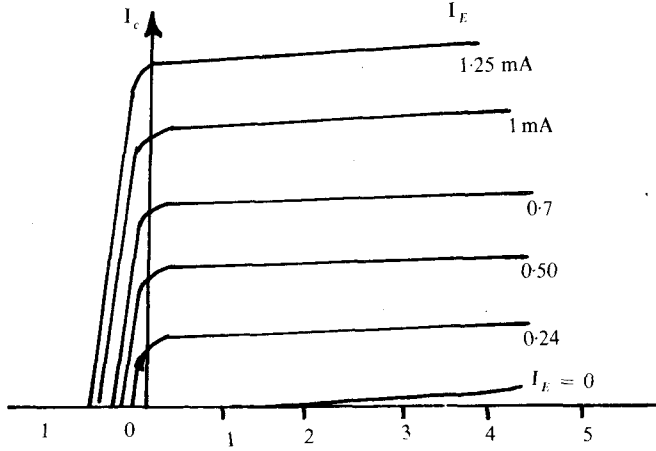
ان دراسة المنحنيات تؤدي بنا الى ملاحظة النقاط الآتية :

1- ان تيار المجمع  $I_c$  يتغير مع  $V_{CB}$  فقط عند القيم الواطئة لهذا الأخير  
(  $V_{CB} < 1$  )

2- ان تيار المجمع  $I_c$  يصبح مساوياً تقريباً الى تيار الباعث  $I_c$  عندما تكون  
 $V_{CB} > 1$

3- على الرغم من ان تيار المجمع يبدو ثابتاً نوعاً ما عند القيم (  $V_{CB} > 1$  )  
لاحظ الجزء الافقي المستقيم من المنحنى الذي يعني ان قيمة  $I_c$  لا تعتمد على  $V_{CB}$   
وانما تعتمد على  $I_E$  ، الا ان الزيادة الكبيرة في  $V_{CB}$  سوف تؤدي الى زيادة طفيفة في  $I_c$  مما يدل على ان مقاومة الخرج لربط القاعدة المشتركة تكون كبيرة جداً

غالباً ما تدعى مميزات الخواص لدائرة القاعدة - المشتركة بمميزات المجمع collector characteristics او منحنيات عائلة المجمع وهي لا تختلف كثيراً من ترانزستور لآخر وذلك لان قيم  $\alpha$  تكون قريبة من بعضها بعضاً لمعظم الترانزستورات عند القيمة  $V_{CB} > 1$  . ان هذه الخاصية مهمة ويمكن الاستفادة منها في بعض التطبيقات



الشكل ( ٩ ) منحى الخواص لدائرة القاعدة المشتركة .

٣ ٣ ٧ الكسب في الجهد لدائرة الترانزستور :-

رأينا فيما مضى ان تيار المجمع ( التيار الخارج ) في دائرة الترانزستور يرتبط مع تيار الباعث ( التيار الداخلى ) بالعلاقة

$$I_c = \alpha I_E$$

وان قيمة  $\alpha$  تتراوح ما بين 0.9 الى 0.99 بالنسبة للترانزستور الجيد . وبالتالي فانه يمكن اعتبار ان  $I_c \approx I_E$  او بعبارة أخرى ان التيار الداخلى الى الدائرة ادخال الترانزستور يساوي التيار الخارج من دائرة الترانزستور .

كذلك ذكرنا انه يفترض عند تحيز الترانزستور ان تكون وصلة الباعث - قاعدة منحازة اماميا بينما تكون وصلة المجمع - قاعدة منحازة عكسيا وبالتالي فان مقاومة الادخال لدائرة الترانزستور ( مقاومة وصلة الباعث - قاعدة المنحازة امامية ) تكون صغيرة بينما تكون مقاومة دائرة الاخراج للترانزستور ( مقاومة وصلة المجمع - القاعدة المنحازة عكسيا ) كبيرة جداً .

الان في الدائرة المبينة في الشكل ( ١٠ ) لو تغير فرق الجهد بين الباعث والقاعدة بمقدار  $\Delta V_b$  فانه سيؤدي الى تغير كبير ( نسبيا ) في تيار الباعث قدرة  $\Delta I_b$  وهذا

الاخير يؤدي بدوره الى تغير في تيار المجمع قدرة  $\Delta I_c$  بحيث أن

$$\Delta I_c = \alpha' \Delta I_E \quad \dots (10)$$

حيث ان  $\alpha$  تدعى بعامل كسب التيار للاشارة الصغيرة وهي تساوي  $\alpha$  اذا لم تتغير هذه الاخيرة مع  $I_E$ . ان التغير في تيار المجمع ( $\Delta I_c$ ) سوف يؤدي الى تغير في فرق جهد الاخراج ( $\Delta V_o$ ) بحيث أن

$$\Delta V_o = \Delta I_c r_c = \alpha \Delta I_E r_c \quad \dots (11)$$

حيث تمثل  $r_c$  مقاومة المجمع .

كذلك يمكن التعبير عن  $\Delta V_i$  بدلالة  $\Delta I_E$  ومقاومة الادخال لدائرة الترانزستور  $r_c$  بحيث

$$\Delta V_i = \Delta I_E r_c \quad \dots (12)$$

حيث تمثل  $r_c$  المقاومة الحركية التي مر ذكرها في الفصل السابق (26)  $r_c = I_E (\text{mA})$  وبهذا فان النسبة بين فولتية الاخراج الى فولتية الادخال التي تمثل الكسب في الفولتية ( $\Lambda_r$ ) تكون مساوية لـ

$$\Lambda_r = \frac{\alpha \Delta I_E r_c}{\Delta I_E r_c} = \alpha \frac{r_c}{r_c} \quad \dots (13)$$

معلوم ان قيمة  $r_c$  تكون صغيرة عادة بينما تكون قيمة  $r_c$  كبيرة جدا وبالتالي فان كسبا في الفولتية سوف يظهر وان قيمة هذا الكسب ( $\Lambda_r$ ) ستكون كبيرة ومن هنا فان الترانزستور يقوم بعملية التكبير من خلال نقله تيارا يمر في مقاومة صغيرة وجعله يمر في مقاومة اكبر .

لابد لنا ان نذكر انه عادة ما تربط في دائرة الاخراج للترانزستور مقاومة حمل  $R_L$  - انظر الشكل ( ١٠ ) - وتكون هذه المقاومة من حيث التأثير مربوطة عنى التوازي مع  $r_c$ .

( سنرى ذلك لاحقا عند رسم الدائرة المكافئة المتناوية لدائرة الترانزستور ) بحيث تصبح المقاومة الفعلية المربوطة في دائرة الترانزستور مساوية لـ

$$R_{eq} = R_L \parallel r_c \approx R_L$$

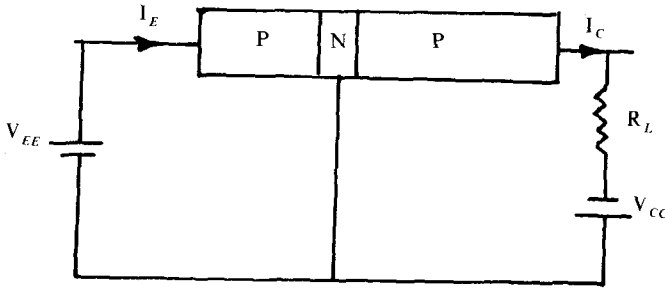
وذلك لكبر  $r_c$  مقارنة مع  $R_L$  . وبهذا فان الكسب في الفولتية يصبح مساويا لـ

$$A_v = \alpha \frac{R_L}{r_e} \quad \dots (14)$$

$$\text{بدلا من } \alpha \frac{r_c}{r_e}$$

على الرغم من ان ربط المقاومة  $R_L$  في دائرة الاخراج سيؤدي الى خفض الكسب في الفولتية الا ان ربطها يكون للاسباب الآتية :

- 1- التحكم بمقدار الكسب في الفولتية من خلال اختيار قيمة  $R_L$  المناسبة .
- 2- لا يمكن زيادة الكسب الى ما لانهاية عن طريق زيادة  $R_L$  . ذلك لأن الكسب في الفولتية سوف يثبت عند قيمة معينة مهما زادت قيمة  $R_L$  وعليه فانه يفترض ان تكون  $R_L$  ذات قيمة محددة وبالتالي فان المعادلة (13) لانعبر فعلا عن الكسب في دائرة الترانزستور .

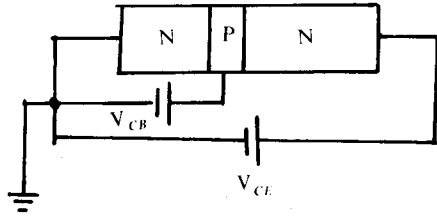


الشكل ( ١٠ ) دائرة مكبر القاعدة المشتركة

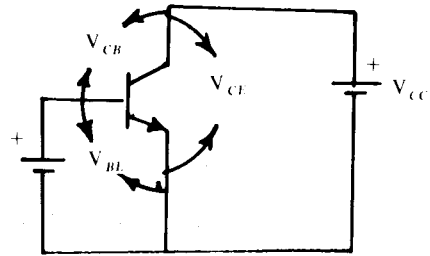


7-3-4 ربط الباعث المشترك :- يشير الشكل ( ١١ ) الى ترانزستور من نوع NPN تم ربطه بهيئة الباعث المشترك common emitter configuration . يلاحظ في هذه الدائرة ان طرفي الادخال هما القاعدة والباعث بينما يمثل المجمع والباعث طرفي الاخراج . عليه فان ربط الترانزستور على هذه الصورة يسمى بربط الباعث المشترك ( CE ) common emitter وذلك لكون الباعث - ثم ربطه الى الارض - بين دائرتي الادخال والاخراج .

يلاحظ في هذا النوع من الربط انه تم تسليط جهد انحياز امامي على وصلة القاعدة - الباعث  $V_{BE}$  بينما تم تحيز وصلة المجمع - باعث عكسيا بواسطة الجهد  $V_{CE}$  - انظر الشكل ( ١١ ) .



الشكل ( ١١ ) دائرة انحياز الباعث المشترك .



الشكل ( ١٢ ) دائرة الباعث المشترك .

لتحقيق مثل هذا التحييز يفترض ان يكون  $V_{CE}$  اكبر من  $V_{BE}$  وحيث - انظر الشكل ( ١٢ ) أن

$$V_{CB} = V_{CE} - V_{BE}$$

لذا فان  $V_{CE}$  يجب ان يكون موجبا . ان وضع  $V_{BE}$  اكبر من  $V_{CE}$  سوف يجعل من  $V_{CB}$  سالبا وبذلك فان وصلة الـ CB سوف تنحاز اماميا .

بعد هذا النوع من ربط الترانزستور اكثر انواع الربط استعمالا لذا فانه يصبح من الضروري التعرف على الكثير من خصائصه ومنها :

أ- عامل التكبير في التيار  $\beta$  : - في ربط الباعث المشترك يمثل تيار القاعدة  $I_B$  تيار الادخال بينما يمثل  $I_C$  تيار الاخراج . وتعرف النسبة بين تيار المجمع  $I_C$  الى تيار القاعدة  $I_B$  بعامل التكبير في تيار القاعدة ( $\beta$ ) .

$$\beta = \frac{I_C}{I_B} \quad \dots (15)$$

في معظم الترانزستورات - ماعدا ترانزستورات القدرة - يكون تيار القاعدة  $5\%$  من تيار الباعث وعليه فان قيمة  $\beta$  تكون اكبر من 20 وتتراوح عادة ما بين 20 الى 500 وبهذا فان ربط الباعث - المشترك يستخدم حيثما اقتضت الحاجة الى تكبير التيار من معرفة أن

$$\alpha = \frac{I_C}{I_E} \quad \text{وكذلك}$$

$$\begin{aligned} I_E + I_C + I_B \\ I_B = I_E - I_C \end{aligned} \quad \dots (16) \quad \text{أو ان}$$

وعليه فان المعادلة (15) تصبح عند التعويض عن قيمة  $I_B$  في المعادلة (16) :

$$\beta = \frac{I_C}{I_E - I_C} \quad \dots (17)$$

أو ان - بعد قسمة كل من البسط والمقام على  $I_E$

$$\beta = \frac{I_C/I_E}{I_E/I_E - I_C/I_E} \quad \dots (18)$$

أي ان

$$\beta = \frac{\alpha}{1 - \alpha} \quad \dots (19)$$

واضح ان اقتراب  $\alpha$  من الواحد يعني ان  $\beta$  تصل الى مالانهاية بمعنى ان التكبير في التيار بصيغة ربط الباعث - المشترك يكون كبيراً جداً .

ب- تيار التسرب في ربط الباعث - المشترك ( $I_{CEO}$ ) :- في دائرة الباعث - المشترك تعمل فولتية الانحياز العكسية عند تسليطها بين الباعث والمجمع على احداث تيار تسرب صغير ، حتى في حالة كون دائرة القاعدة مفتوحة : أي في حالة كون تيار القاعدة يساوي صفرأ ( $I_B = 0$ ) ، يدعى بتيار تسرب المجمع - باعث ويرمز له بـ  $I_{CBO}$  اشارة الى كون دائرة القاعدة مفتوحة وعليه فان تيار المجمع  $I_c$  في ربط الباعث المشترك يتكون من مركبتين أي أن

$$\begin{aligned} I_c &= \beta I_B + I_{CEO} && \text{لدينا أن} \\ I_E &= I_c + I_B && \text{وكذلك} \\ I_c &= \alpha I_E + I_{CBO} && \text{لذا فان} \\ I_c &= \alpha (I_c + I_B) + I_{CBO} && \dots (21) \end{aligned}$$

او أن

$$I_c (1 - \alpha) = \alpha I_B + I_{CBO}$$

وعند القسمة على  $(1 - \alpha)$  نحصل على

$$I_c = \frac{\alpha}{1 - \alpha} I_B + \frac{1}{1 - \alpha} I_{CBO} \quad \dots (22)$$

وعند التعويض عن  $\beta$  تصبح المعادلة اعلاه

$$I_c = \beta I_B + \frac{1}{1 - \alpha} I_{CBO} \quad \dots (23)$$

وعند المقارنة بين المعادلتين (18) و (21) نستطيع القول ان

$$I_{CEO} = \frac{1}{1 - \alpha} I_{CBO} \quad \dots (24)$$

مثال :-

جد قيمة  $\beta$  في حالة كون (1)  $\alpha = 0.9$  و (2)  $\alpha = 0.98$  و  $\alpha = 0.99$

الحل :-

(1) لدينا ان

$$\beta = \frac{\alpha}{1 - \alpha}$$

وعند التعويض عن قيمة  $\alpha$  نحصل على

$$\beta = \frac{0.9}{1 - 0.9} = 9$$

(2)

$$\beta = \frac{0.98}{1 - 0.98} = 49$$

(3)

$$\beta = \frac{0.99}{1 - 0.99} = 99$$

مثال :-

احسب  $I_E$  في دائرة الترانزستور حيث  $\beta = 50$  و  $I_B = 20 \mu A$

$$I_E = I_C + I_B = \beta I_B + I_B$$

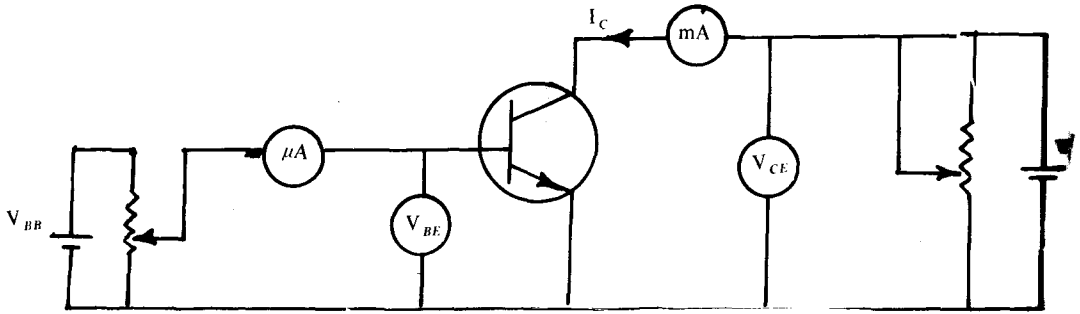
$$I_E = (1 + \beta) I_B$$

أي ان

$$I_E = (1 + 50) \times 10 \times 10^{-6} \\ = 510 \times 10^{-6} = 0.51 \text{ mA}$$

على فرض ان  $I_{CEO} =$  صفراً .

7-3-5 منحنيات الخواص لربط الباعث المشترك :- يبين الشكل ( ١٣ ) دائرة نموذجية لتحديد منحنيات الخواص لدائرة ترانزستور نوع NPN تم ربطه بهيئة الباعث المشترك common emitter configuration



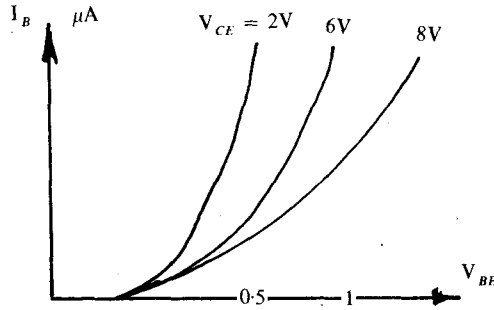
الشكل ( ١٣ ) الدائرة العملية لدراسة خواص الباعث المشترك .

كما هو الحال بالنسبة لربط القاعدة المشتركة تكون هذه المميزات على نوعين .

أ- مميزات الادخال :- وتمثل مجموعة المنحنيات او المنحنى الذي يربط بين تيار الادخال  $I_B$  وفولتية القاعدة - باعث  $V_{BE}$  عند قيمة معينة وثابتة لفولتية المجمع - باعث  $V_{CE}$  وبين الشكل ( ١٤ ) منحنى نموذجيا لمميزات الادخال للباعث المشترك .

عند النظر الى منحنى الادخال هذا والتدقيق فيه يمكن ملاحظة النقاط الآتية :

1- يشابه هذا المنحنى منحنى الخواص  $(I - V)$  لثنائي بلوري منحاز اماميا . ان هذا مايجب ان نتوقعه تماما ذلك لأن جزء القاعدة - الباعث عبارة عن ثنائي بلوري منحاز اماميا .



الشكل ( ١٤ ) تأثير زيادة  $V_{CE}$  على منحنى الخواص ( $I - V$ ) للباعث المشترك .

2- بالمقارنة مع ربط القاعدة المشتركة نلاحظ ان ازدياد  $I_B$  مع زيادة  $V_{BE}$  يكون اقل من ازدياد  $I_E$  مع  $V_{EB}$  وبهذا فان مقاومة الادخال لدائرة CE اكبر مما هي عليه في دائرة CB وتساوي

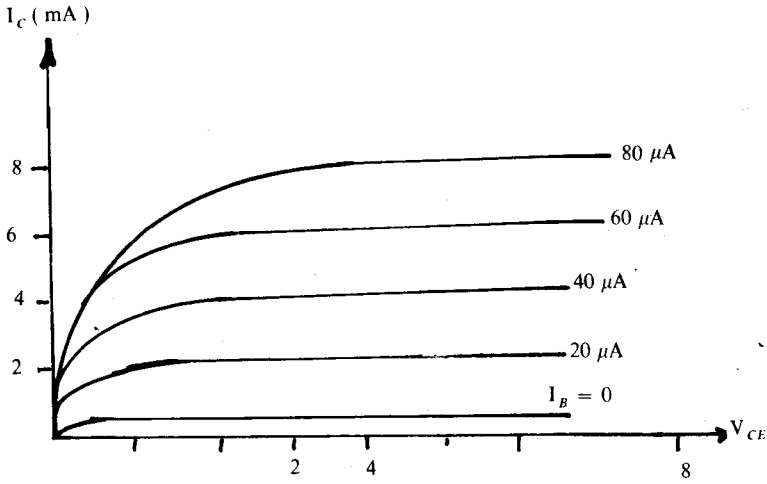
$$r_i = \frac{\Delta V_{BE}}{\Delta I_B} \quad V_{CE} = \text{ثابت} \quad \dots (25)$$

هذا وتبلغ قيمة مقاومة الادخال لدائرة الباعث المشترك حوالي عدد من مئات الاومات .

3- ان زيادة  $V_{CE}$  يقلل من تيار القاعدة لنفس القيمة من  $V_{BE}$  بسبب من ازدياد طبقة استنزاف المجمع وبذلك يصبح عدد الالكترونات الساقطة في الفجوات اقل ونتيجة لذلك فان تيار اعادة الالتحام ( تيار القاعدة ) يقل

4 تكون قيمة  $I_B$  صغيرة جداً او تقترب من الصفر عند القيم الصغيرة لـ  $V_{BE}$  ( $V_{BE} < 0.5$ ) او السالبة منها وهذا هو شرط القطع ( cut off ) .

ب- مميزات الاخراج :- لنفس الترانزستور NPN بهيئة الباعث المشترك وباستخدام الدائرة في الشكل ( ١٣ ) نستطيع رسم منحنيات الاخراج وذلك باعطاء  $I_B$  قيمة معينة وابقاؤها ثابتة اثناء قياس  $I_C$  لكل تغير في  $V_{CE}$  . وهكذا يتم رسم جميع المنحنيات بنفس الطريقة اعلاه ولكن مع قيم أخرى لـ  $I_B$  - انظر الشكل ( ١٥ ) .



الشكل ( ١٥ ) منحنيات الخواص للباعث المشترك .

عند دراسة منحنيات الخواص هذه يمكن ملاحظة ما يأتي :-

3- يتغير تيار المجمع  $I_c$  عند تغير  $V_{CE}$  بين الصفر وحدود الواحد فولت فقط ثم يصبح ثابتا تقريبا وهذا مرتبط بفكرة الانحياز العكسي لثنائي المجمع حيث يلزم حوالي (0.7) فولت لجعل ثنائي المجمع منحازا عكسيا وحال الوصول الى هذا المستوى يقوم المجمع بجمع كل الالكترونات التي تصل الى طبقة الاستنزافية .

2- كما ذكرنا انفا . يصبح  $I_c$  ثابتا تقريبا بعد الوصول الى فولتية الركبة (knee voltage) . على أية حال فان زيادة  $V_{CE}$  يؤدي الى زيادة تيار المجمع بسبب من زيادة عرض طبقة استنزاف المجمع واعتقال اعداد قليلة أخرى من الكترونات القاعدة قبل سقوطها . وعليه فان مقاومة الاخراج لدائرة الباعث المشترك تكون كبيرة نوعا ما . تعرف مقاومة الاخراج ( $r_{out}$ ) بأنها النسبة بين التغير في فولتية  $\Delta V_{CE}$  الى التغير الحادث في تيار المجمع  $\Delta I_c$  عند قيمة معينة لـ  $I_B$  . أي ان

$$r_{out} = \frac{\Delta V_{CE}}{\Delta I_c} \quad I_B = \text{ثابت} \quad \dots (26)$$

تصل قيمة  $r_o$  الى حوالي 50 كيلو اوم وبهذا تكون اقل مما هي عليه في دائرة القاعدة المشتركة .

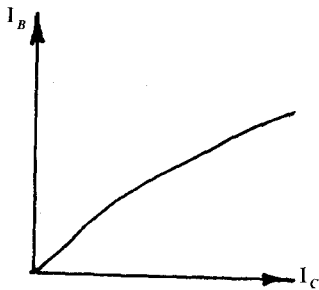
3- تكون وحدات  $I_c$  بالملي أمبير بينما تكون وحدات  $I_B$  بالمايكرو أمبير وبهذا فان  $I_c$  يكون اكبر بكثير من  $I_B$  وتكون قيمته ، بعد فولتية الركبة ، مساوية تقريبا لـ  $\beta I_B$

4- عندما تكون  $I_B = 0$  صفراً لا يكون  $I_c$  مساوياً للصفر وانما يساوي تيار التسرب لدائرة المجمع - الباعث ويرمز له بـ  $I_{CBO}$  . حيث يشير الحرف O الى كون دائرة القاعدة مفتوحة .

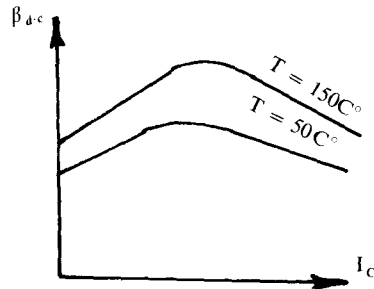
5- عند رفع  $V_{CE}$  عن حد معين  $V_{CE(sat)} < V_{CE} < BV_{CEO}$

فان التيار  $I_{CBO}$  ينمو شديداً بسبب من بدء الانهيار الكهربائي electric breakdown ، وفي حالة فتح دائرة القاعدة يمكن أن يحدث في الترانزستور أحياناً انهيار تضاعفي avalanche breakdown سريع للتيار يؤدي الى تسخين زائد للترانزستور وبالتالي الى عطبه ( ذلك اذا لم يكن في دائرة المجمع مقاومة تحد من نمو التيار ) .

6- تكون المسافة بين المنحنيات عند مختلف القيم لـ  $I_B$  ، غير متساوية ويلاحظ أنها متقاربة عند القيم الصغيرة لـ  $I_B$  ومتباعدة عند القيم الكبيرة لـ  $I_B$  ، مما يشير الى عدم خطية العلاقة بين  $I_B$  و  $I_c$  - انظر الشكل ( 16 ) والذي يكافئ تغير  $\beta$  مع  $I_c$  - الشكل ( 17 ) .



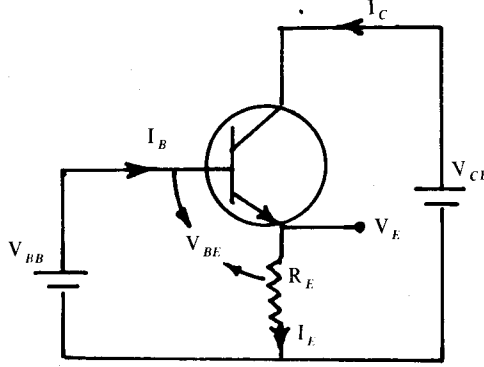
الشكل ( 16 ) تغير  $I_c$  مع  $I_B$



الشكل ( 17 ) تأثير درجة الحرارة على قيمة  $\beta$



7-3-6 ربط المجمع المشترك :- لا يختلف ربط الترانزستور بهيئة المجمع - المشترك common collector configuration عما هو عليه في هيئة الباعث - المشترك وبين الشكل ( 18 ) دائرة نموذجية لترانزستور من نوع NPN تم ربطه بهيئة المجمع - المشترك .



الشكل ( 18 ) دائرة المجمع - المشترك .

يلاحظ من هذه الدائرة ان جهد الادخال تم تسليطه بين القاعدة والباعث كما هو الحال في ربط الباعث - المشترك الا أن جهد الاخراج يؤخذ عادة من طرف الباعث ( بعد ادخال المقاومة  $R_E$  بين الباعث والارضية ) بدلا من المجمع . وعليه فان الدائرتين متشابهتان ويمكن استعمال منحنيات خواص الباعث المشترك في دراسة دوائر المجمع - المشترك .

ألاحظ من الشكل ( 18 ) وكذلك من استخدام قانون كيرشوف للفولتية . بان الجهد الداخل  $V_{BB}$  يساوي مجموع جهد القاعدة - باعث  $V_{BE}$  زائدا جهد الاخراج  $V_E$  . وحيث ان الفولتية اللازمة لتحيز وصلة القاعدة - باعث اماميا تكون صغيرة ( في حدود 0.7V للسيلكون و 0.3V للجermanيوم ) لذا فان جهد الاخراج يكون اقل بقليل من جهد الادخال وهذا يعني انه لا يوجد كسب في الفولتية او ان دائرة المجمع - المشترك لا تستخدم في تكبير اشارات الجهد .

من جهة اخرى نلاحظ وجود كسب في التيار . حيث ان عامل الكسب في تكبير

التيار لدائرة المجمع - المشترك ( $\gamma$ ) الذي يعرف بأنه النسبة بين التيار الخارج  $I_E$  والتيار الداخِل  $I_B$  ويكون أكبر من واحد بكثير. أي أن

$$\gamma = \frac{I_E}{I_B} = \frac{I_C + I_B}{I_B} \quad \dots (27)$$

لدينا أن

$$\beta = \frac{I_C}{I_B}$$

لذا فإن

$$\gamma = \beta + 1 \quad \dots (28)$$

لدينا كذلك أن

$$\beta = \frac{\alpha}{1 + \alpha}$$

وعند التعويض عن قيمة  $\beta$  هذه في المعادلة (28) نحصل على

$$\gamma = \frac{1}{1 - \alpha} \quad \dots (29)$$

وأبنا أن تيار الإخراج هو  $I_E$  وحيث أن

$$I_E = I_B + I_C$$

أو ( بعد التعويض عن قيمة  $I_C$  من المعادلة (21) نحصل على

$$I_E = I_B + (\alpha I_E + I_{CBO}) \quad (30)$$

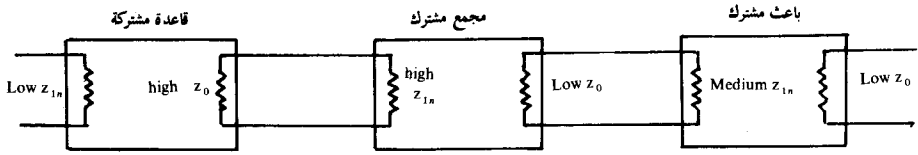
أو أن

$$(1 - \alpha) I_E = I_B + I_{CBO} \quad \dots (31)$$

وبهذا فإن  $I_E$  يصبح مساويا لـ

$$I_E = \gamma (I_B + I_{CBO}) \quad \dots (32)$$

بقي ان نذكر أخيرا انه على الرغم من عدم وجود كسب في الجهد في دائرة المجمع - المشترك إلا أن هذه الدائرة تمتاز بامتلاكها ممانعة ادخال عالية جدا وممانعة اخراج واطئة جدا (كما سنرى لاحقا) وبهذا فانها تستخدم في الحالات التي يلزم فيها توافق الممانعات Impedance matching. حيث تقوم بسوق دائرة ذات ممانعة ادخال واطئة من دائرة ذات ممانعة اخراج عالية - الشكل ( ١٩ ) .



الشكل ( ١٩ ) استخدام دائرة المجمع - المشترك في الدوائر العملية .

7-3-7 مقارنة بين الانواع الثلاثة لربط الترانزستور :- بقصد التوضيح ولغرض الاختصار تمت مقارنة الخصائص المميزة للانواع الثلاثة لربط الترانزستور من خلال الجدول المبين أدناه .

التسلسل	المميزات	القاعدة المشتركة	الباعث المشترك	المجمع المشترك
1-	ممانعة الادخال	واطئة ( 100 أوم )	واطئة ( 1 كيلو اوم )	عالية جداً ( 750 كيلو اوم )
2-	ممانعة الاخراج	عالية جداً ( 450 K <sub>2</sub> )	عالية ( 50 كيلو اوم )	واطئة ( 50 اوم )
3-	الكسب في الجهد	حوالي 150	حوالي 300	اقل من 1
4-	الكسب في التيار	اقل من 1	حوالي 100	حوالي 100
5-	الاستعمال	للترددات العالية	للترددات المسموعة	لوائمة الممانعات

هذا وتعد دائرة الترانزستور ذو الباعث - المشترك أكثر الانواع الثلاثة استخداما حيث انها تشكل أكثر من 90% من كل استخدامات الترانزستور في المجالات التطبيقية . ان الاسباب الرئيسية وراء هذا الاستخدام الكبير لهذا النوع من الربط يكمن في ما يأتي :-

1- كسب عال في التيار :- في دائرة الباعث المشترك يكون  $I_C$  هو تيار الاخراج بينما يمثل  $I_B$  تيار الادخال وحيث ان  $(I_C = \beta I_B + I_{CEO})$  لذا فان تيار الاخراج يكون اكبر بكثير من تيار الادخال اذ تتراوح قيمة  $\beta$  ما بين 20 الى 500 .

2- كسب عال في الجهد والقدرة :- بسبب من الكسب العالي في التيار فان دائرة الباعث المشترك تمتلك كسباً في الجهد وكذلك في القدرة ويكون الكسب في القدرة في هذا النوع اكبر من الانواع الاخرى . لذا - وكما سنرى لاحقا - تكون مكبرات القدرة هي دائما مكبرات من نوع الباعث المشترك .

3 تناسب جيد بين ممانعة الاخراج والادخال :- في دائرة الباعث المشترك تكون النسبة بين ممانعة الاخراج الى ممانعة الادخال صغيرة حوالي (50) - انظر الجدول اعلاه - مما يجعلها دائرة مثالية للاستخدام في ربط او اقتران coupling مراحل الترانزستور المتشابهة مع بعضها الاخر . على اية حال تكون النسبة في الانواع الاخرى كبيرة بحيث يصبح استخدام هذه الدوائر في المكبرات ذات المراحل المتعددة . غير عملي نظرا لحصول انخفاض كبير في كفاءة مراحل هذه المكبرات بسبب من الفرق الكبير بين ممانعة الاخراج للمرحلة السابقة وممانعة الادخال للمرحلة اللاحقة .

#### 4 7 مناطق عمل الترانزستور :-

بالاشارة الى الشكلين ( 9 و 10 ) - المعاد رسمها هنا - يمكن ملاحظة وجود ثلاث مناطق عمل للترانزستور هي :

أ- المنطقة الفعالة ( I ) active region :- في هذه المنطقة تكون وصلة الباعث - قاعدة متحازة اماميا بينما تكون وصلة المجمع - قاعدة متحازة عكسيا وتقع هذه المنطقة الى يمين محور الصادات اي بعد  $V_{CB} \geq 0V$  او  $V_{CE} > 1V$  وفوق  $I_C = I_B$  صفرا او صفرا اي في المنطقة التي يكون فيها  $I_C$  ثابتا على الرغم من تغير جهد الخرج (  $V_{CB}$  او  $V_{CE}$  ) - انظر الشكلين ( 9 و 10 ) المعاد رسمها ادناه .

يلاحظ في هذه المنطقة ان المسافات بين منحنيات  $I_C$  تكون متساوية الى حد

خاصة عند القيم الكبيرة لـ  $I_B$  في منحنيات الاخراج لربط الباعث المشترك

كبير وخطية بشكل كاف او بعبارة أخرى ان حساسية الاستجابة لتيار الاخراج لأي تغير في تيار الادخال . تكون كبيرة وبالتالي فإن هذه المنطقة تستعمل في التكبير واذا ماتسبت اشارة الدخل في اجتياز هذه المنطقة الى منطقة القطع II او منطقة الاشباع III أو كليهما فان تشويها سوف يظهر في اشارة الاخراج .

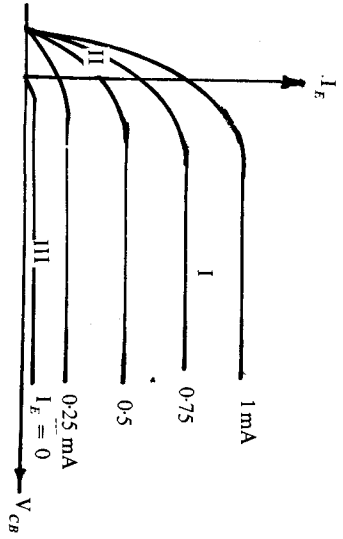
ب- منطقة الاشباع (Saturation region (II) :- تقع هذه المنطقة على يسار المحور الصادي في مميزات الاخراج لربط القاعدة المشتركة . اي عند  $0.25 < V_{CB} < 0$  - او على يمين هذا المحور مباشرة في مميزات الاخراج لربط الباعث المشترك  $0 < V_{CE} < 1$  . كذلك تقع هذه المنطقة فوق  $I_E = I_B$  صفرا او  $I_B =$  صفرا وتكون وصلتي الباعث والمجمع منحازتين اماميا مع القاعدة . في هذه المنطقة . كذلك نجد في هذه المنطقة . ان  $V_{CE} \approx$  صفرا وان تيار المجمع لا يعتمد على تيار القاعدة ذلك لان الاول يكون قد وصل الى حده الاقصى ( قيمة الاشباع ) او بصيغة رياضية يكون

$$I_{C(max)} = \frac{V_{CC}}{R} \quad \dots (33)$$

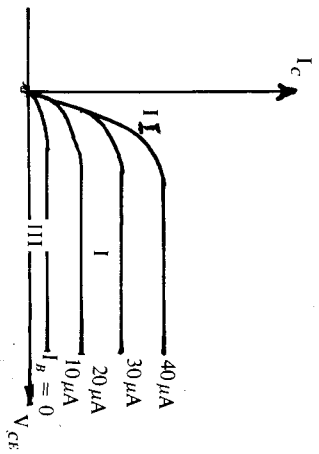
حيث تمثل R مجموع مقاومتي الحمل  $R_L$  ومقاومة الباعث  $R_E$  - كما سنرى لاحقا . كذلك نجد ان  $I_C$  تصبح اصغر من  $\beta I_B$  وذلك لان  $I_B$  تكون كبيرة بسبب من كون  $V_{BE} -$  في دائرة الباعث المشترك - كبيرة هي الاخرى .

وعند التشبع تقل مقاومة الخرج التي يبديها الترانزستور بين المجمع والباعث وتسمى هذه المقاومة بمقاومة التشبع في حالة الباعث المشترك ويرمز لها بـ  $R_{CIS}$  وتصل قيمتها الى 5 اوم وتعد مثل هذه القيمة عالية في بعض التطبيقات ( وخاصة عند استعمال الترانزستور كمفتاح Switch في الدوائر الرقمية ) .

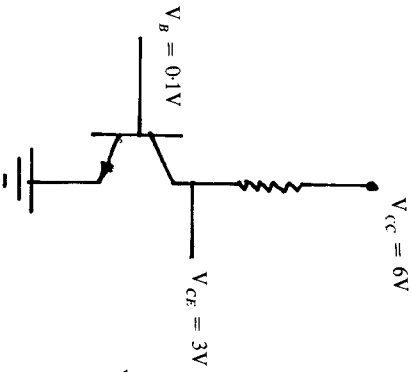
ج- منطقة القطع (Cut-off region III) :- تقع هذه المنطقة تحت المنحى  $I_E =$  صفرا او  $I_B =$  صفرا ويكون كلا التنايين ( ثاني الباعث - قاعدة والمجمع - قاعدة ) منحازين عكسيا ويكون تيار المجمع مساويا لتيار التسرب  $I_{CBO}$  . يتصرف الترانزستور في حالة القطع . كدائرة مفتوحة . وتكون  $V_{CE}$  في دائرة الباعث - المشترك - مساوية لـ  $V_{CC}$  .



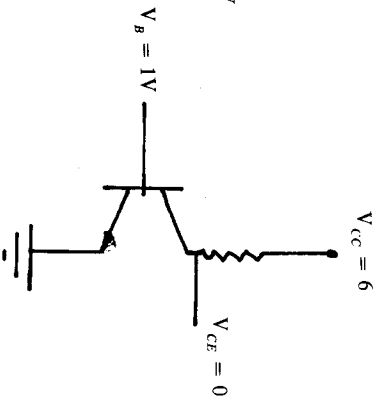
الشكل ( ٩ ) منحنيات الخواص للقاعدة المشتركة.



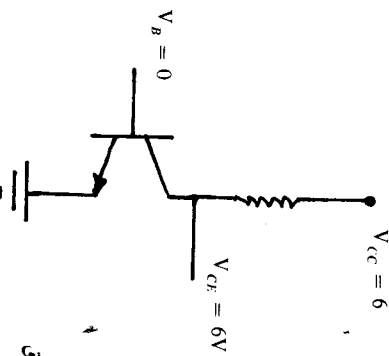
الشكل ( ١٥ ) منحنيات الخواص للباعث المشترك.



حالة القطع



حالة الإشباع

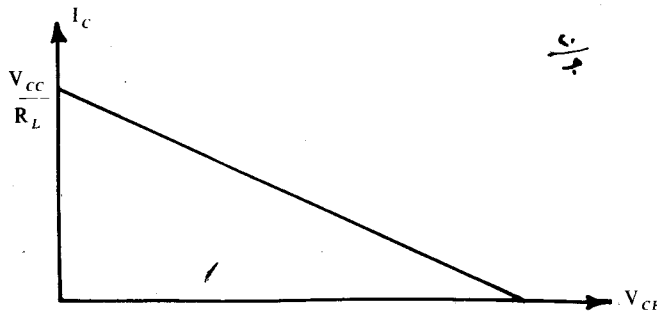
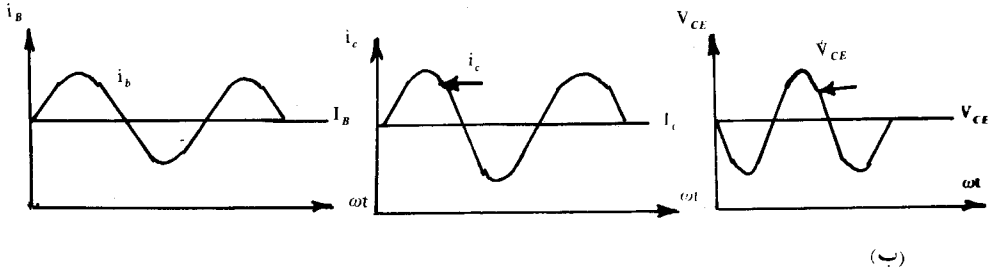
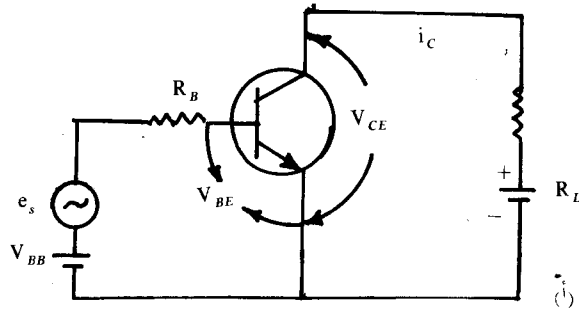


حالة القطع

مناطق عمل الترانزستور

## 5-7 دائرة ترانزستور بسيطة

7-5-1 خط الحمل المستمر d.c load line - سنقوم هنا وبوساطة الاستعانة بالدائرة البسيطة المبينة في الشكل (١٢٠) ، بدراسة سلوك الترانزستور مع وجود التيارات والجهود المستمرة والمتناوبة . في هذه الدائرة تعمل المقاومة  $R_B$  على تحديد التيار  $i_B$  أ - انظر الشكل (٢٠ ب) - المار في دائرة ثنائي القاعدة - الباعث والناتج من تسليط الجهد المستمر  $V_{BB}$  والاشارة المتناوبة  $e_s$



الشكل (21) : - دائرة مكبر ترانزستور

يلاحظ في الشكل ( ٢٠ ب ) ان تيار القاعدة يتكون من مركبتين الاول المستمر ( $I_B$ ) الناتج عن تسليط  $V_{BB}$  والتاني المتناوب  $i_b$  الناتج عن تسليط  $e_s$  وعليه فان التيار الناتج  $i_c$  وكذلك الجهد الخارج  $V_{CE}$  سوف يتكون كل منهما من مركبتين ايضا - انظر الشكل ( ٢١ ب ) .

كذلك يلاحظ في الشكل ( ٢١ ب ) ان المجموع الجبري للقيمة المستمرة لـ  $I_B$  مع اقل قيمة لـ  $i_b$  او  $-I_m$  ، هو اكبر من صفر او بكلمة اخرى يكون المجموع الجبري للقيمة المستمرة لـ  $V_{BB}$  مع اقل قيمة لـ  $e_s$  أي  $-V_m$  ، هو اكبر من صفر وبهذا فان ثنائي القاعدة - باعث يبقى في حالة انحياز امامي خلال  $360^\circ$  - أي خلال مدة الذبذبة الكاملة - ويعمل الترانزستور في المنطقة الفعالة .

ان التغير في التيار والجهد الخارجين في دائرة الباعث المشترك يمكن ان يعزى الى الطبيعة وشكل خواص الاخراج للترانزستور عند ربطه بهيئة الباعث المشترك . ذلك لأن فحص هذه المنحنيات ( $I_c - V_{CE}$ ) يشير الى أن أي تغير في تيار القاعدة سوف يؤدي الى احداث تغير آني في تيار المجمع . وحيث أن هذا الأخير يمر في مقاومة الحمل  $R_L$  لذا فانه سوف يحدث تغيراً في جهد المجمع مقداره  $i_c R_L$  .

على أية حال . عندما يكون تيار المجمع مساويا للصفر ( اي عندما يكون الترانزستور في حالة قطع تام ) فان المبوط على  $R_L$  سوف يكون مساويا لـ  $V_{cc}$  . أما في حالة سريان التيار في دائرة المجمع فان تطبيق قانون الجهد لكيرشوف في هذه الدائرة سوف يؤدي الى المعادلة الآتية :

$$V_{cc} - V_{CE} - I_c R_L = 0 \quad \dots (34)$$

وعند ترتيب هذه المعادلة بالصورة

$$I_c = - \left( \frac{1}{R_L} \right) V_{CE} + \frac{V_{cc}}{R_L} \quad \dots (35)$$

فأنها نستبدو ومشابهة الى معادلة الخط المستقيم . على فرض ان  $V_{cc}$  و  $R_L$  كميتان ثابتتان . :



$$y = mx + b$$

... (36)

وعليه فان المعادلة (35) تدعى بمعادلة خط الحمل الـ D.c لدائرة المجمع وعند رسم هذه المعادلة على منحنيات الخواص - كما في الشكل ( ٢١ ج ) - فان الخط المستقيم الناتج يدعى بخط الحمل المستمر لهذه الدائرة . dc load line . يلاحظ ان هذا الخط

قد تم رسمه بين النقطتين  $(I_c = 0, V_{CE} = V_{CC})$  و  $(V_{CE} = 0, I_c = \frac{V_{CC}}{R_L})$

وهو بهذا يمثل كل التغيرات المحتملة التي يمكن ان تحدث لكل من تيار وجهد المجمع . هذا ويتم عادة تحديد موقع خط الحمل عن طريق مقاومة الحمل  $R_L$  ومجهز القدرة  $V_{CC}$  حيث أن انحداره يكون مساويا لـ  $(-\frac{1}{R_L})$  . ومما يجب

ذكره هنا ان لكل دائرة خط الحمل الخاص بها .

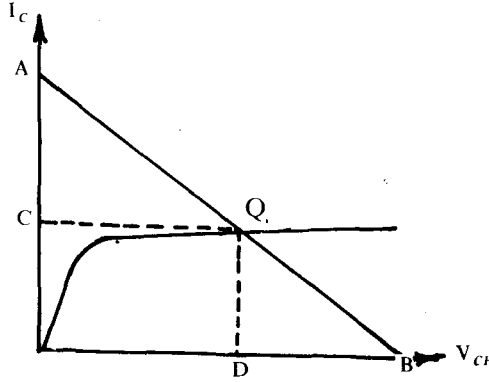
مما جاء اعلاه يمكن تلخيص الطريقة المتبعة في تعيين خط الحمل بالخطوتين الاتيتين :

أ- في منطقة القطع يكون  $I_c$  أقل ما يمكن - أي مساويا للصفر و  $V_{CE}$  أعلى ما يمكن - أي مساويا لـ  $V_{CC}$  وبهذا تتحدد النقطة الاولى بـ  $(V_{CC}, 0)$  .

ب- في منطقة الاشباع يكون  $I_c$  أعلى ما يمكن - أي مساويا لـ  $\frac{V_{CC}}{R_L}$  ويكون  $V_{CE}$  أقل ما يمكن - أي مساويا للصفر - وبهذا تتحدد النقطة الثانية لـ  $(0, \frac{V_{CC}}{R_L})$  .

هذا وتكمن أهمية خط الحمل من خلال كونه طريقة مناسبة - أكثر من استخدام منحنيات الاخراج نفسها - لتحديد قيمة تيار المجمع عند القيم المختلفة لفولتية المجمع وكذلك تيار القاعدة .

7-5-2 نقطة التشغيل operating point - وتدعى ايضا بنقطة الهمود point quisent اوباختصار Q-point . وهي نقطة تقع على خط الحمل المستمر وتنتج من تقاطع منحنى الخواص عند قيمة معينة لتيار القاعدة المستمر مع خط الحمل - انظر الشكل ( ٢١ ) .



الشكل ( ٢١ ) خط الحمل لدائرة مكبر الترانزستور .

وعليه فانه يمكن القول بأن لكل دائرة نقطة التشغيل الخاص بها ويتم تحديدها اما عن طريق :

أ- حساب قيمة  $I_B$  المستمرة - أي في حالة تسليط الفولتية  $V_{BB}$  فقط وغياب فولتية الادخال المتناوبة ثم ايجاد نقطة التشغيل -  $Q$  من تقاطع هذه القيمة لـ  $I_B$  مع خط الحمل المستمرة أو عن طريق .

ب- نظرا لأن  $I_C$  ترتبط مع  $I_B$  بالعلاقة  $\beta I_B$  وكذلك ترتبط  $I_C$  مع  $V_{CE}$  لذا فانه يصبح بالإمكان تعيين نقطة التشغيل  $Q$  على خط الحمل مباشرة من حساب قيمة كل من  $I_C$  و  $V_{CE}$  المستمرتين . حيث تمثل هاتان القيمتان احدائي النقطة (  $I_C$  و  $V_{CE}$  )  $Q$  . ففي الشكل ( ٢١ ) لدينا أن  $V_{CE} = QC$  و  $I_C = QD$  .

ان أهمية نقطة التشغيل  $Q$  تكمن في أنها تقابل تيار وجهد المجمع المستمرين او القيمة الصفر لجهد القاعدة المتناوب ومن هذين المقدارين يمكن تعيين القدرة  $P$  المبددة في الترانزستور التي يجب ألا تزيد عن أقصى كمية مسموح بها لهذه القدرة  $P_{max}$  . من جهة أخرى تحدد نقطة التشغيل -  $Q$  مقدار الجهد المستمر للقاعدة  $V_{BE}$  باعتبار أن المركبة المستمرة لتيار القاعدة هو  $I_B$  لذا فانه يصبح من السهولة حساب الجهد  $V_{BB}$  . اما اذا كانت دائرة القاعدة تغذى من المصدر  $V_{CC}$  فيمكن عندئذ حساب  $R_B$  .

على الرغم مما جاء عن أهمية نقطة التشغيل الا ان القيمة الحقيقية لنقطة التشغيل تبقى في امكانية استخدامها في معرفة شكل الموجة الخارجة في دائرة مكبر الترانزستور عند تحليل عمل هذا الاخير بيانيا وكما سنرى لاحقا .

## اسئلة ومساائل

- (1) ما المقصود بخاصية التكبير للتيار في انصاف الموصلات ؟
- (2) ما ترانزستور النقطية ؟ وما السبب في تسمية الجهاز الجديد بالترانزستور ؟
- (3) ما المقصود بالدوائر المتكاملة والمعالجات الدقيقة ؟ وضع باختصار
- (4) ما المميزات التي يمتاز بها الترانزستور على الصمام الثلاثي المفرغ ؟
- (5) عدد انواع الترانزستور الثنائي القطبية من حيث التركيب ثم بين وظيفة كل جزء فيه .
- (6) لماذا يجب ان تكون القاعدة بسمك أقل من الباعث والمجمع ؟ اشرح بالتفصيل
- (7) لماذا يكون المجمع اكبر حجما من الباعث واقل تطعيما ؟ وضع ذلك
- (8) ارسم الرمز الخاص بكل نوع من الترانزستور الثنائي القطبية موضحا أوجه الاختلاف بينهما .
- (9) وضع بالتفصيل كيف يحدث كل من أ - تيار القاعدة ب - تيار المجمع ج - تيار الباعث ؟
- (10) ما المقصود بتيار الاشباع ؟
- (11) ما المقصود بالانحياز امامي - عكسي ؟ ولماذا هو الأهم ؟ وضع ذلك
- (12) ما المقصود أ - بتيار التسرب ب - تيار اعادة الالتحام
- (13) لماذا يكون  $I_{CEO}$  اكبر من  $I_{CBO}$
- (14) اشرح بالتفصيل كيف يتحكم  $V_{EB}$  في عمل الترانزستور
- (15) اشرح بالتفصيل معنى الشكل ( 5 )
- (16) ما تأثير  $V_{CB}$  على طبقة الاستنزاف وكذلك على قيمة تيار المجمع ؟ وضع ذلك
- (17) لماذا يكون ثنائي الباعث - قاعدة منحازا اماميا بصورة دائمة ؟ ويكون ثنائي المجمع - قاعدة منحازا عكسيا بصورة دائمة ايضا ؟
- (18) اذكر مع الرسم . الطرق المتبعة في ربط الترانزستور
- (19) اذكر مركبات تيار المجمع ثم وضع كيفية تولد كل منهما .
- (20) ما المقصود بمعامل كسب التيار للاشارات الكبيرة (  $\alpha$  ) ؟ وضع بالتفصيل
- (21) اشتق المعادلة (9) ثم بين معناها
- (22) ما معنى الشكل ( 7 ) ؟ وضع ذلك
- (23) ما المقصود بميزات الترانزستور الساكنة ؟
- (24) ما تأثير زيادة  $V_{CB}$  على مميزات الادخال للقاعدة - المشتركة ؟ اشرح بالتفصيل
- (25) ما الذي تفهمه من الشكل ( 9 ) ؟ وضع بالتفصيل

(26) اشتق المعادلة (13) ثم وضع معناها . تحت أي الشروط تؤدي هذه المعادلة الى المعادلة 14 ؟

(27) ما تأثير ربط المقاومة  $R_L$  على قيمة الكسب وعمل دائرة التكبير؟

(28) يعد ربط الباعث - المشترك اكثر انواع الربط انتشاراً . ناقش ذلك بالتفصيل .

(29) اشتق المعادلة (17) ثم بين معناها .

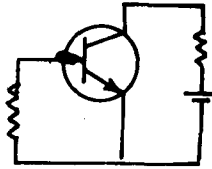
(30) اشتق المعادلة (22) ثم بين معناها .

(31) ارسم منحنيات الادخال لربط الباعث - المشترك ثم بين أثر زيادة  $V_{CE}$  على هذه المنحنيات .

(32) ما المقصود بحالة القطع ؟ وما شروطها

(33) ما المقصود بحالة الاشباع ؟ وما شروطها

(34) في الدائرة ادناه هل الترانزستور هو في حالة قطع ام اشباع ام في الحالة الفعالة ؟



(35) الترانزستور يكون في الحالة الفعالة عندما يكون أ  $I_C = I_B$

ب  $I_C = \beta I_B$  ( اوج )  $I_E = I_C$  ( اود )  $I_B = \beta I_C$

(36) الترانزستور يكون في حالة اشباع عندما يكون أ  $I_C \approx I_E$  ويكون اقل

ما يمكن ب  $V_{CE} = 0$  ج اي زيادة في  $I_B$  تؤدي الى زيادة في  $I_C$  .

(37) ارسم منحنيات الاخراج لدائرة الباعث - المشترك ثم بين اهم المميزات لهذه المنحنيات .

(38) ما المقصود بالانهيار الكهربائي ؟ ما الفرق بينه وبين الانهيار التضاعفي ؟

(39) اشتق العلاقة التي تربط بين كل من  $\alpha$  و  $\beta$  و  $\gamma$  .

(40) عدد مناطق عمل الترانزستور ثم عينها على منحنيات الخواص . اكتب المعادلات

الخاصة بكل حالة . ثم بين السبب الكامن وراء كل منها .

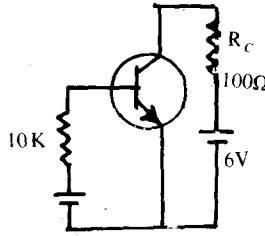
(41) ما المقصود بخط الحمل الـ D.c ؟ وما فائدته ؟ بين كيف يتم رسمه .

(42) ما المقصود بنقطة التشغيل ؟ كيف يتم تعيينها ؟ وما فائدتها ؟

(43) ترانزستور مع  $\alpha = 0.98$  و  $I_E = 1\text{mA}$  . احسب  $I_C$  و  $I_B$  اذا علمت

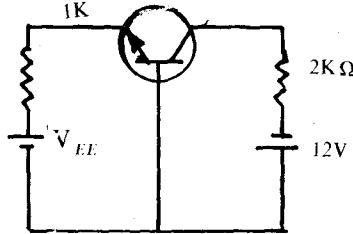
ان تيار التسرب  $I_{\mu A}$  .

- (44) في الدائرة ادناه اذا كانت  $\beta = 50$
- أ- ارسم خط الحمل الـ D.C
- ب- عين نقطة التشغيل - Q
- ج- احسب قيمة  $V_{BB}$  التي تسبب الاشباع
- د- اذا كانت  $V_{BB} = 5V$  فما قيمة  $R_C$  التي تسبب الاشباع



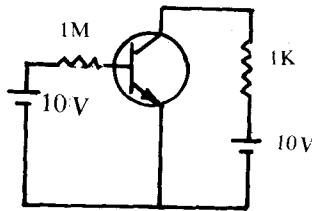
$$V_{BB} = 2V$$

- (45) في الدائرة ادناه احسب قيمة  $V_{EE}$  التي تعمل على اشباع الترانزستور

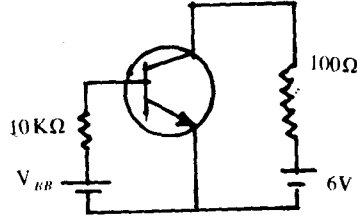


- (46) اذا كانت  $\alpha = 0.992$  للترانزستور فاحسب  $\beta$  d.c. اعد نفس الحسابات مع  $\alpha = 0.995$

- (47) في الدائرة ادناه اذا كان الترانزستور من السيلكون وكانت  $V_{BB} = 10V$  فاحسب  $I_B$ . اعد نفس الحسابات لترانزستور من الجرمانيوم



48) في الدائرة ادناه احسب  $V_{BB}$  التي تسبب الاشباع .



49) في الدائرة - السؤال (48) - اذا كانت  $V_{BB} = 5V$  فما قيمة  $R_C$  التي تسبب الاشباع .

50) في الدائرة ادناه احسب  $I_B$  و  $V_{CE}$  و  $I_E$

